

การศึกษาสมรรถนะทางความร้อนของเครื่องทำน้ำร้อนพลังงานแสงอาทิตย์
แบบท่อแก้วสูญญากาศที่ใช้ท่อความร้อนแบบสั่นวงรอบ

Study of Thermal Performance of Evacuated Tube Solar Water
Heater with Closed – Loop Oscillating Heat Pipes

นายทวีชัย	เจนจบ	รหัส 52360973
นายมานพ	วงศ์จันทร์	รหัส 52361239
นายนัฐวัฒน์	พุกจินดา	รหัส 52365237

ที่ลงนามวันที่.....	๒๘.๑.๒๕๕๖
ผู้ที่ลงนาม.....	๑๖๔๓๐๕๓๓
เลขประจำตัวประชาชน.....	๙๔๕.
หน่วยทดลอง.....	๗๑๑๓

2555
บริญญา尼พนธ์นี้เป็นส่วนหนึ่งของการศึกษาหลักสูตรวิศวกรรมศาสตรบัณฑิต
สาขาวิชาวิศวกรรมเครื่องกล ภาควิชาวิศวกรรมเครื่องกล
คณะวิศวกรรมศาสตร์ มหาวิทยาลัยนเรศวร
ปีการศึกษา 2555



ใบรับรองปริญญาบัณฑิต

ชื่อหัวข้อโครงการ

การศึกษาสมรรถนะทางความร้อนของเครื่องทำน้ำร้อนพลังงานแสงอาทิตย์แบบห่อแก้วสูญญากาศที่ใช้ท่อความร้อนแบบสันวงรอบ
Study of Thermal Performance of Evacuated Tube Solar Water Heater with Closed – Loop Oscillating Heat Pipes

ผู้ดำเนินโครงการ

นายทวีชัย เจนจบ	รหัส 5236097
นายมานพ วงศ์จันทร์	รหัส 52361239
นายนัฐวัฒน์ พุกจินดา	รหัส 52365237

ที่ปรึกษาโครงการ

ผู้ช่วยศาสตราจารย์ ดร.ปิยะนันท์ เจริญสوارค์
วิศวกรรมเครื่องกล
วิศวกรรมเครื่องกล
2555

สาขาวิชา

ภาควิชา

ปีการศึกษา

คณะวิศวกรรมศาสตร์ มหาวิทยาลัยนเรศวร อนุมัติให้ปริญญาบัณฑิตบันนี้เป็นส่วนหนึ่งของการศึกษาตามหลักสูตรวิศวกรรมศาสตรบัณฑิต สาขาวิศวกรรมเครื่องกล

คณะกรรมการสอบโครงการ

ที่ปรึกษาโครงการ

(ผู้ช่วยศาสตราจารย์ ดร.ปิยะนันท์ เจริญสوارค์)

กรรมการ

(ดร.นันนาท ราชประดิษฐ์)

กรรมการ

(ดร.อนันต์ชัย อุณุ่นแก้ว)

ชื่อหัวข้อโครงการ	การศึกษาสมรรถนะทางความร้อนของเครื่องทำน้ำร้อนพลังงานแสงอาทิตย์แบบท่อแก้วสุญญากาศที่ใช้ห้องความร้อนแบบสั่นง่วงรอบ		
ผู้ดำเนินโครงการ	นายทวีชัย เจนจบ	รหัส	52360973
	นายมานพ วงศ์จันทร์	รหัส	52361239
	นายนัฐวัฒน์ พุกจินดา	รหัส	52365237
ที่ปรึกษาโครงการ	ผู้ช่วยศาสตราจารย์ ดร.ปิยะนันท์ เจริญสารคุณ		
สาขาวิชา	วิศวกรรมเครื่องกล		
ภาควิชา	วิศวกรรมเครื่องกล		
ปีการศึกษา	2555		

บทคัดย่อ

โครงการนี้เป็นการศึกษาสมรรถนะทางความร้อนของเครื่องทำน้ำร้อนพลังงานแสงอาทิตย์แบบท่อแก้วสุญญากาศที่ใช้ห้องความร้อนแบบสั่นง่วงรอบ เพื่อหาตัวแปรที่ส่งผลกระทบต่อการทำงานของเครื่องทำน้ำร้อนพลังงานแสงอาทิตย์ จึงได้ทำการทดลองโดยการสร้างเครื่องทำน้ำร้อนพลังงานแสงอาทิตย์แบบท่อแก้วสุญญากาศที่ภายในบรรจุห้องความร้อนแบบสั่นง่วงรอบที่ใช้สารทำงานเป็น R-134a โดยมีอัตราส่วนการเติมสารทำงาน 50% ของปริมาตรภายในห้องหมดของห้องความร้อนแบบสั่นง่วงรอบ ซึ่งการทดลองมีทั้งหมด 2 ชุด โดยชุดที่ 1 เป็นการสร้างเครื่องทำน้ำร้อนพลังงานแสงอาทิตย์แบบท่อแก้วสุญญากาศที่ใช้ห้องความร้อนแบบสั่นง่วงรอบที่มีจำนวนโถงเลี้ยวต่างกัน ซึ่งแบ่งออกเป็น 5, 10 และ 15 โถงเลี้ยว และห้อง 3 ห้อง มีความยาวส่วนทำระเหย 1.5 m ความยาวส่วนควบแน่น 0.25 m และความยาวส่วนที่ไม่มีการสูญเสียความร้อน 0.05 m และในชุดที่ 2 เป็นการสร้างเครื่องทำน้ำร้อนพลังงานแสงอาทิตย์แบบท่อแก้วสุญญากาศที่ใช้ห้องความร้อนแบบสั่นง่วงรอบ โดยให้ความยาวของส่วนควบแน่นแตกต่างกัน โดยใช้ความยาวที่ 0.25 m, 0.15 m และ 0.05 m โดยท่อห้อง 3 จะมีความยาวของส่วนทำระเหยเท่ากันคือ 1.5 m และความยาวส่วนที่ไม่มีการสูญเสียความร้อนเท่ากันคือ 0.05 m โดยเครื่องทำน้ำร้อนพลังงานแสงอาทิตย์แบบท่อแก้วสุญญากาศห้อง 2 ชุด ได้ทำการทดลองในช่วงเวลา 9.00 น. – 16.00 น. และทำการวัดอุณหภูมิในแต่ละจุดด้วยสายเทอร์โมค็อปเปิล ชนิด K วัดค่าความเข้มแสงอาทิตย์ วัดอัตราการไหล โดยให้การไหลคงที่ๆ 0.1 L/min ทุกๆ 30 นาที โดยผลการทดลองชุดที่ 1 พบว่า เครื่องทำน้ำร้อนพลังงานแสงอาทิตย์แบบท่อแก้วสุญญากาศที่ภายในบรรจุห้องความร้อนแบบสั่นง่วงรอบ 15 โถงเลี้ยว มีประสิทธิภาพโดยเฉลี่ยสูงที่สุด คือ 43.76% และมีอัตราการถ่ายเทขายความร้อนสูงสุด 51.31 W โดยที่ห้องความร้อนแบบสั่นง่วงรอบ 5 และ 10 โถงเลี้ยว มีประสิทธิภาพเพียง 28.43% และ 32.36% ตามลำดับ และมีอัตราการถ่ายเทขายความร้อน 31.76 W และ 38.04 W ตามลำดับ และผลการทดลองในชุดที่ 2 พบว่าเครื่องทำน้ำร้อนแบบท่อแก้วสุญญากาศที่ภายในบรรจุห้องความร้อนแบบสั่นง่วงรอบ 15 โถงเลี้ยว ที่มีความยาวส่วนควบแน่น 0.05 m มีอัตราการถ่ายเทขายความร้อนสูงสุด 115.2 W และมีประสิทธิภาพโดยเฉลี่ย 73.34% ซึ่งสูงที่สุด โดยสูงกว่าห้องความร้อนแบบสั่นง่วงรอบ 15 โถงเลี้ยว ที่มีความยาวส่วนควบแน่น 0.15 m และ 0.25 m ที่มีอัตราการถ่ายเทขายความร้อน 99.12 W และ 93.89 W ตามลำดับ และมีประสิทธิภาพโดยเฉลี่ย 63.14% และ 60.12% ตามลำดับ

Project title	Study of Thermal Performance of Evacuated Tube Solar Water Heater with Closed – Loop Oscillating Heat Pipes		
Name	Mr. Taweechai Chenjob	ID	52360973
	Mr. Manop Wongjan	ID	52361239
	Mr. Nattawat Pugjinda	ID	52365237
Project advisor	Asst. Prof. Dr. Piyanun Charoensawan		
Major	Mechanical Engineering		
Department	Mechanical Engineering		
Academic year	2555		

Abstract

This project aims to study the thermal performance of evacuated tube solar water heater with closed-loop oscillating heat pipe (CLOHP). In order to investigate the effects of parameters on the operation of solar water heater, the experiments were conducted by establishing the evacuated tube solar water heaters contained with CLOHP. R-134a was used as the working fluid at the filling ratio of 50% of total internal volume of CLOHP. The experiments can be divided into two parts. First, three evacuated tube solar water heaters with the different numbers of turns of CLOHP of 5, 10 and 15 were constructed. The evaporator, adiabatic and condenser lengths for all of them were the same at 1.5 m, 0.25 m and 0.05 m respectively. Second, three evacuated tube solar water heaters with the different CLOHP condenser lengths of 0.25 m, 0.15 m and 0.05 m were constructed. The evaporator and adiabatic lengths for all of them were the same at 1.5 m and 0.05 m respectively. All experiments were conducted from 9:00 am to 4:00 pm. Each temperature point was measured by the K type thermocouple and the solar intensity was also detected by the Pyranometer. The water flow rate was measured and kept at 0.1 L/min. All data were recorded at every 30 minutes. It was found from the first experiment that the best performance was revealed when the evacuated tube solar water heater contained the CLOHP with 15 numbers of turns. Its average efficiency and heat rate transfer were 43.76% and 51.31 W respectively. The efficiencies were 28.43% and 32.36% for 5 and 10 turns, respectively. The rates of heat transfer were 31.76 W and 38.04 W for 5 and 10 turns, respectively. For the second experiment, the evacuated tube solar water heater with CLOHP at 15 numbers of turns and 0.05 m condenser length had the maximum heat transfer rate of 115.2 W. Its average efficiency was 73.34% which was highest and higher than those for 0.15 m and 0.25 m condenser lengths. The rates of heat transfer

were 99.12 W and 93.89 W for 0.15 m and 0.25 m condenser lengths, respectively. The efficiencies were 63.14% and 60.12% for 0.15 m and 0.25 m condenser lengths, respectively.



กิตติกรรมประกาศ

โครงการฉบับนี้สำเร็จได้ด้วยดีเนื่องจากได้รับความช่วยเหลือในด้านการให้คำแนะนำและคำปรึกษาจาก ผู้ช่วยศาสตราจารย์ ดร. ปิยะนันท์ เจริญสุวรรณ ซึ่งเป็นอาจารย์ที่ปรึกษาโครงการ คณะผู้จัดทำจึงขอขอบพระคุณเป็นอย่างสูง

ขอขอบพระคุณอาจารย์วราฤทธิ์ ภานุ ที่เคยให้ความช่วยเหลือในด้านการใช้เครื่องมือสำหรับการสร้างเครื่องทำน้ำร้อนพลังงานแสงอาทิตย์แบบท่อแก้วสุญญากาศที่ใช้ห้องร้อนแบบสั่นวงรอบ

และขอขอบคุณ นายศุภชัย ชุมนุมวัฒน์ นิสิตปริญญาโท ที่ให้ความช่วยในด้านข้อมูลต่างๆ ใน การจัดทำโครงการนี้ และสุดท้ายนี้ คณะผู้จัดทำขอขอบคุณเพื่อนๆ ทุกคนที่ให้ความร่วมมือและมีส่วนช่วยให้โครงการฉบับนี้สำเร็จได้ด้วยดี

คณะผู้จัดทำโครงการ



สารบัญ

	หน้า
ใบรับรองโครงการวิศวกรรมเครื่องกล.....	ก
บทคัดย่อ.....	ข
Abstract.....	ค
กิตติกรรมประกาศ.....	จ
สารบัญ.....	ช
สารบัญตาราง.....	ด
สารบัญรูป.....	ญ
สารบัญกราฟ.....	ภ
สารบัญสัญลักษณ์และอักษรย่อ.....	ภ
 บทที่ 1 บทนำ.....	 1
1.1 ความเป็นมาและความสำคัญของโครงการ.....	1
1.2 วัตถุประสงค์ของโครงการ.....	3
1.3 ประโยชน์ที่คาดว่าจะได้รับ.....	3
1.4 ขอบเขตการทำงาน.....	4
1.5 ขั้นตอนการดำเนินงาน.....	4
1.6 แผนการดำเนินงาน.....	5
1.7 รายละเอียดงบประมาณตลอดโครงการ.....	5
 บทที่ 2 หลักการและทฤษฎี.....	 6
2.1 ค่าคงตัวรังสีอาทิตย์.....	6
2.2 ส่วนประกอบเครื่องทำน้ำร้อนพลังงานแสงอาทิตย์.....	8
2.3 ลักษณะของท่อความร้อนและท่อความร้อนแบบสันนิษฐาน.....	9
2.4 ทฤษฎีการถ่ายเทความร้อน.....	12
2.5 สมรรถนะทางความร้อนของเครื่องทำน้ำร้อนพลังงานแสงอาทิตย์.....	13
2.6 ทฤษฎีแรงรับรังสีความร้อน.....	14
2.7 การวิเคราะห์ค่าความผิดพลาดจากการทดลอง.....	15
2.8 งานวิจัยที่เกี่ยวข้อง.....	15

สารบัญ(ต่อ)

	หน้า
บทที่ 3 วิธีดำเนินการทดลอง.....	17
3.1 ลักษณะและการทำงานของเครื่องทำน้ำร้อนพลังงานแสงอาทิตย์.....	17
3.2 ตัวแปรที่มีผลต่อการศึกษา.....	18
3.3 การตั้งสมมติฐาน.....	19
3.4 การออกแบบ.....	19
3.5 การสร้างเครื่องทำน้ำร้อนพลังงานแสงอาทิตย์.....	21
3.6 การดำเนินการทดลอง.....	23
บทที่ 4 ผลการทดลองและวิเคราะห์ผลการทดลอง.....	29
4.1 การทดลองชุดที่ 1.....	29
4.1 การทดลองชุดที่ 2.....	37
บทที่ 5 ผลการทดลองและวิเคราะห์ผลการทดลอง.....	38
5.1 ผลการทดลอง และผลการวิเคราะห์	38
5.2 ข้อเสนอแนะ.....	39
บรรณานุกรม.....	40
ภาคผนวก.....	41
ภาคผนวก ก ตารางข้อมูลการทดลอง.....	42
ภาคผนวก ข กราฟข้อมูลการทดลอง.....	47
ภาคผนวก ค ตารางคุณสมบัติ.....	51
ภาคผนวก ง ตัวอย่างการคำนวณ.....	55
ประวัติผู้ดำเนินโครงการ.....	42

สารบัญตาราง

ตารางที่	หน้า
1.1 ตารางการดำเนินงาน.....	5
1.2 รายละเอียดงบประมาณ.....	5
3.1 ตัวแปรควบคุม.....	18
3.2 ตัวแปรที่ต้องการศึกษา.....	18
ก.1 ข้อมูลการทดลองวันที่ 9 กุมภาพันธ์ 2556.....	43
ก.2 ข้อมูลการทดลองวันที่ 10 กุมภาพันธ์ 2556.....	44
ก.3 ข้อมูลการทดลองวันที่ 24 กุมภาพันธ์ 2556.....	45
ก.4 ข้อมูลการทดลองวันที่ 25 กุมภาพันธ์ 2556.....	46
ค.1 แสดงสมบัติของ R-134a ที่สถานะของเหลวอีมตัวและไออีมตัว.....	52
๔.1 การคำนวณของการทดลองท่อความร้อนแบบสั่นงรอบที่มีจำนวนโถ้งเลี้ยว 5, 10 และ 15 วันที่ 9 กุมภาพันธ์ 2556.....	59
๔.2 การคำนวณของการทดลองท่อความร้อนแบบสั่นงรอบที่มีจำนวนโถ้งเลี้ยว 5, 10 และ 15 วันที่ 10 กุมภาพันธ์ 2556.....	60
๔.3 การคำนวณของการทดลองท่อความร้อนแบบสั่นงรอบ 15 โถ้งเลี้ยว โดยมีความยาวส่วน ควบแน่น 0.05, 0.15 และ 0.25 cm วันที่ 10 กุมภาพันธ์ 2556.....	61
๔.4 การคำนวณของการทดลองท่อความร้อนแบบสั่นงรอบ 15 โถ้งเลี้ยว โดยมีความยาวส่วน ควบแน่น 0.05, 0.15 และ 0.25 cm วันที่ 10 กุมภาพันธ์ 2556.....	62

สารบัญรูป

รูปที่	หน้า
1.1 เครื่องทำน้ำร้อนพลังงานแสงอาทิตย์แบบห่อแก้วสุญญาการศ.	1
1.2 เครื่องทำน้ำร้อนพลังงานแสงอาทิตย์แบบรวมแสง	1
1.3 เครื่องทำน้ำร้อนพลังงานแสงอาทิตย์แบบแผ่นเรียบ.	2
2.1 ไฟรานอมิเตอร์วัดรังสีร่วน.	7
2.2 ไฟรานอมิเตอร์วัดรังสีกระจาย	7
2.3 ไฟร์เซลโลมิเตอร์.	7
2.4 ตำแหน่งการจัดของโลกรอบดวงอาทิตย์ในรอบ 1 ปี	8
2.5 เครื่องทำน้ำร้อนพลังงานแสงอาทิตย์	9
2.6 ลักษณะของห่อความร้อนธรรมชาติ	10
2.7 ประเภทของห่อความร้อนแบบสัน្តิ	11
2.8 แสดงความสัมพันธ์ระหว่างห่อดูดกลืนแสงกับความคงของแผ่นรวมแสง	14
3.1 เครื่องทำน้ำร้อนพลังงานแสงอาทิตย์แบบห่อแก้วสุญญาการศ ชนิดห่อความร้อนแบบสัน្តิวงรอบ.	17
3.2 ห่อความร้อนแบบสัน្តิวงรอบ.	19
3.3 ภาพถ่ายของโครงสร้างของแผงรับรังสีแสงอาทิตย์.	20
3.4 แผนผังการทดลองเครื่องทำน้ำร้อนพลังงานแสงอาทิตย์แบบห่อแก้วสุญญาการศ ที่ภายในบรรจุห่อความร้อนแบบสัน្តิวงรอบ.	23
3.5 ไฟรานอมิเตอร์.	24
3.6 เครื่องบันทึกอุณหภูมิ.	24
3.7 สายเทอร์โมคัปเปิล.	24
3.8 เครื่องทำน้ำร้อนพลังงานแสงอาทิตย์แบบห่อแก้วสุญญาการศ.	24
3.9 การวัดข้อมูลที่ตำแหน่งต่างๆ.	25

สารบัญกราฟ

กราฟที่	หน้า
4.1 แสดงความสัมพันธ์ระหว่างค่ารังสีแสงอาทิตย์กับเวลา.....	30
4.2 แสดงความสัมพันธ์ระหว่างอุณหภูมิน้ำชาออกเทียบกับเวลา.....	30
4.3 แสดงความสัมพันธ์ระหว่างอัตราการถ่ายเทความร้อนกับเวลาของกราฟลดลงท่อความร้อนที่มีจำนวนโถงเลี้ยวต่างกัน.....	31
4.4 แสดงความสัมพันธ์ระหว่างประสิทธิภาพกับเวลาของกราฟลดลงท่อความร้อนที่มีจำนวนโถงเลี้ยวต่างกัน.....	33
4.5 แสดงความสัมพันธ์ระหว่างค่ารังสีแสงอาทิตย์กับเวลาของกราฟลดลง ณ วันที่ 24 กุมภาพันธ์ 2556.....	34
4.6 แสดงความสัมพันธ์ระหว่างอุณหภูมน้ำชาออกเทียบกับเวลา ณ วันที่ 24 กุมภาพันธ์ 2556.....	35
4.7 แสดงความสัมพันธ์ระหว่างอัตราการถ่ายเทความร้อนกับเวลาของกราฟลดลงท่อความร้อนแบบสั่นงอน 15 โถงเลี้ยวโดยมีความยาวส่วนควบแน่นในระยะต่างๆ ณ วันที่ 24 กุมภาพันธ์ 2556	35
4.8 แสดงความสัมพันธ์ระหว่างประสิทธิภาพกับเวลา ของกราฟลดลงท่อความร้อนแบบสั่นงอน 15 โถงเลี้ยว โดยมีความยาวส่วนควบแน่นในระยะต่างๆ ณ วันที่ 24 กุมภาพันธ์ 2556..	36
ข.1 ความสัมพันธ์ระหว่างผลต่างอุณหภูมน้ำชาออกเทียบกับเวลา ณ วันที่ 9 กุมภาพันธ์ 2556.....	48
ข.2 ความสัมพันธ์ระหว่างอัตราการถ่ายเทความร้อนเทียบกับเวลา ณ วันที่ 9 กุมภาพันธ์ 2556.....	48
ข.3 ความสัมพันธ์ระหว่างประสิทธิภาพเทียบกับเวลา ณ วันที่ 9 กุมภาพันธ์ 2556.....	49
ข.4 ความสัมพันธ์ระหว่างผลต่างอุณหภูมน้ำชาเข้ากับชาออกเทียบกับเวลา ณ วันที่ 24 กุมภาพันธ์ 2556.....	49
ข.5 ความสัมพันธ์ระหว่างอัตราการถ่ายเทความร้อนเทียบกับเวลา ณ วันที่ 24 กุมภาพันธ์ 2556.....	50
ข.6 ความสัมพันธ์ระหว่างประสิทธิภาพเทียบกับเวลา ณ วันที่ 24 กุมภาพันธ์ 2556.....	50

สารบัญสัญลักษณ์และอักษรย่อ

	หน่วย
$D_{i,max}$	คือ ขนาดเส้นผ่านศูนย์กลางภายในสูงสุด
σ	คือ แรงตึงผิวของสารทำงาน
ρ_l	คือ ความหนาแน่นของสารทำงาน
g	คือ ความเร่งเนื่องจากแรงโน้มถ่วง
q_x	คือ พลังซึ่ความร้อน
k	คือ สัมประสิทธิ์การนำความร้อน
L	คือ ความยาว
ΔT	คือ ผลต่างของอุณหภูมิ
Q	คือ ปริมาณความร้อนที่เกิดการถ่ายโอนเนื่องจากการพานิช
h	คือ สัมประสิทธิ์การพาความร้อน
A	คือ พื้นที่แลกเปลี่ยนความร้อน
Q	คือ ปริมาณความร้อน
M_w	คือ อัตราการไหลของมวลของน้ำ
Cp_w	ค่าความร้อนจำเพาะของน้ำ
ΔT_w	คือ ผลต่างอุณหภูมิของน้ำ
I	ค่าความเข้มแสง
Π_c	คือ ประสิทธิภาพแผงรับรังสีแสงอาทิตย์
A_c	พื้นที่แผงรับรังสีแสงอาทิตย์
dQ_{in}	ค่าความผิดพลาดของค่าอัตราความร้อนที่แผงรับรังสีแสงอาทิตย์ได้รับ
dl_t	ค่าความผิดพลาดของเครื่องมือวัดค่าความเข้มแสงอาทิตย์
dQ	ค่าความผิดพลาดของค่าอัตราความร้อนที่ได้รับ
$d\dot{m}$	ค่าความผิดพลาดของเครื่องมือวัดอัตราการไหลของน้ำ
dT_{w0}	ค่าความผิดพลาดของเครื่องมือวัดอุณหภูมิของน้ำข้ออก

สารบัญสัญลักษณ์และอักษรย่อ (ต่อ)

หน่วย

dT_{wi}	คือ ค่าความผิดพลาดของเครื่องมือวัดอุณหภูมิของน้ำขาเข้า	°C
η_c	คือ ค่าประสิทธิภาพการทำงาน	%
T_{E-051}	คือ อุณหภูมิส่วนทำระเหยของท่อความร้อนแบบสั่นงรอบ 5 โถงเลี้ยว	°C
T_{E-052}	คือ อุณหภูมิส่วนทำระเหยของท่อความร้อนแบบสั่นงรอบ 5 โถงเลี้ยว	°C
T_{C-051}	คือ อุณหภูมิส่วนควบแน่นของท่อความร้อนแบบสั่นงรอบ 5 โถงเลี้ยว	°C
T_{WI-051}	คือ อุณหภูมน้ำขาเข้าส่วนควบแน่น 5 โถงเลี้ยว	°C
T_{WI-052}	คือ อุณหภูมน้ำขาเข้าส่วนควบแน่น 5 โถงเลี้ยว	°C
T_{WO-051}	คือ อุณหภูมน้ำขากอกส่วนควบแน่น 5 โถงเลี้ยว	°C
T_{WO-052}	คือ อุณหภูมน้ำขากอกส่วนควบแน่น 5 โถงเลี้ยว	°C
T_{GT-051}	คือ อุณหภูมิผิวท่อแก้วสุญญาการด้านนอก ด้านบน (ส่วนบน) 5 โถงเลี้ยว	°C
T_{GD-051}	คือ อุณหภูมิผิวท่อแก้วสุญญาการด้านนอก ด้านบน (ส่วนล่าง) 5 โถงเลี้ยว	°C
T_{GT-052}	คือ อุณหภูมิผิวท่อแก้วสุญญาการด้านนอก ด้านล่าง (ส่วนบน) 5 โถงเลี้ยว	°C
T_{GD-052}	คือ อุณหภูมิผิวท่อแก้วสุญญาการด้านนอก ด้านล่าง (ส่วนล่าง) 5 โถงเลี้ยว	°C
T_{E-101}	คือ อุณหภูมิส่วนทำระเหยของท่อความร้อนแบบสั่นงรอบ 10 โถงเลี้ยว	°C
T_{E-102}	คือ อุณหภูมิส่วนทำระเหยของท่อความร้อนแบบสั่นงรอบ 10 โถงเลี้ยว	°C
T_{C-101}	คือ อุณหภูมิส่วนควบแน่นของท่อความร้อนแบบสั่นงรอบ 10 โถงเลี้ยว	°C

สารบัญสัญลักษณ์และอักษรย่อ (ต่อ)

T_{WI-101}	คือ อุณหภูมน้ำขาเข้าส่วนควบแน่น 10 โถงเลี้ยว	°C
--------------	--	----

T _{WI-102}	คือ อุณหภูมิน้ำขาเข้าส่วนควบแน่น 10 ໂດັ່ງເລື້ອງ	°C
T _{WO-101}	คือ อุณหภูมิน้ำขาออกส่วนควบแน่น 10 ໂດັ່ງເລື້ອງ	°C
T _{WO-102}	คือ อุณหภูมิน้ำขาออกส่วนควบแน่น 10 ໂດັ່ງເລື້ອງ	°C
T _{GT-101}	คือ อุณหภูมิຜົວທ່ອແກ້ວສຸ່ລະບາກາສດ້ານນອກ ດ້ານບນ (ສ່ວນບນ) 10 ໂດັ່ງເລື້ອງ	°C
T _{GD-101}	คือ อุณหภຼມີຜົວທ່ອແກ້ວສຸ່ລະບາກາສດ້ານນອກ ດ້ານບນ (ສ່ວນລ່າງ) 10 ໂດັ່ງເລື້ອງ	°C
T _{GT-102}	คือ อุณหภຼມີຜົວທ່ອແກ້ວສຸ່ລະບາກາສດ້ານນອກ ດ້ານລ່າງ (ສ່ວນບນ) 10 ໂດັ່ງເລື້ອງ	°C
T _{GD-102}	คือ อุณหຼມີຜົວທ່ອແກ້ວສຸ່ລະບາກາສດ້ານນອກ ດ້ານລ່າງ (ສ່ວນລ່າງ) 10 ໂດັ່ງເລື້ອງ	°C
T _{E-151}	คือ อุณหຼມສ່ວນທໍາຮະເໝຂອງທ່ອຄວາມຮັນແບບສິ້ນວຽກ 15 ໂດັ່ງເລື້ອງ	°C
T _{E-152}	คือ อุณหຼມສ່ວນທໍາຮະເໝຂອງທ່ອຄວາມຮັນແບບສິ້ນວຽກ 15 ໂດັ່ງເລື້ອງ	°C
T _{C-151}	คือ อุณหຼມສ່ວນควบແນ່ນຂອງທ່ອຄວາມຮັນແບບສິ້ນວຽກ 15 ໂດັ່ງເລື້ອງ	°C
T _{WI-151}	คือ อุณหຼມນ้ำขาเข้าส່ວນควบແນ່ນ 15 ໂດັ່ງເລື້ອງ	°C
T _{WI-152}	คือ อุณหຼມນ้ำขาเข้าส່ວນควบແນ່ນ 15 ໂດັ່ງເລື້ອງ	°C
T _{WO-151}	คือ อุณหຼມນ้ำขาອກສ່ວນควบແນ່ນ 15 ໂດັ່ງເລື້ອງ	°C
T _{WO-152}	คือ อุณหຼມນ้ำขาອກສ່ວນควบແນ່ນ 15 ໂດັ່ງເລື້ອງ	°C
T _{GT-151}	คือ อุณหຼມີຜົວທ່ອແກ້ວສຸ່ລະບາກາສດ້ານນອກ ດ້ານບນ (ສ່ວນບນ) 15 ໂດັ່ງເລື້ອງ	°C
T _{GD-151}	คือ อุณหຼມີຜົວທ່ອແກ້ວສຸ່ລະບາກາສດ້ານນອກ ດ້ານບນ (ສ່ວນລ່າງ) 15 ໂດັ່ງເລື້ອງ	°C
T _{GT-152}	คือ อุณหຼມີຜົວທ່ອແກ້ວສຸ່ລະບາກາສດ້ານນອກ ດ້ານລ່າງ (ສ່ວນບນ) 15 ໂດັ່ງເລື້ອງ	°C

ສາຮບັນສັງລັກຈະນົມແລະອັກຈະຣຍ່ອ (ຕ່ອ)

ທ່ານວຍ

T _{GD-152}	คือ อุณหຼມີຜົວທ່ອແກ້ວສຸ່ລະບາກາສດ້ານລ່າງ (ສ່ວນລ່າງ) 15 ໂດັ່ງເລື້ອງ	°C
---------------------	--	----

T_a	คือ อุณหภูมิอากาศโดยรอบ	$^{\circ}\text{C}$
I_t	คือ ค่าความเข้มแสงอาทิตย์	W/m^2
\dot{m}	คือ อัตราการไหลของน้ำ	L/min
T_{E-051}	คือ อุณหภูมิส่วนที่ระเหยของท่อความร้อนแบบสันวงรอบ $L_c 0.05 \text{ m } 15$ โค้งเลี้ยว	$^{\circ}\text{C}$
T_{E-052}	คือ อุณหภูมิส่วนที่ระเหยของท่อความร้อนแบบสันวงรอบ $L_c 0.05 \text{ m } 15$ โค้งเลี้ยว	$^{\circ}\text{C}$
T_{C-051}	คือ อุณหภูมิส่วนควบแน่นของท่อความร้อนแบบสันวงรอบ $L_c 0.05 \text{ m } 15$ โค้งเลี้ยว	$^{\circ}\text{C}$
T_{WI-051}	คือ อุณหภูมิน้ำขาเข้าส่วนควบแน่น $L_c 0.05 \text{ m } 15$ โค้งเลี้ยว	$^{\circ}\text{C}$
T_{WI-052}	คือ อุณหภูมิน้ำขาเข้าส่วนควบแน่น $L_c 0.05 \text{ m } 15$ โค้งเลี้ยว	$^{\circ}\text{C}$
T_{WO-051}	คือ อุณหภูมิน้ำขาออกส่วนควบแน่น $L_c 0.05 \text{ m } 15$ โค้งเลี้ยว	$^{\circ}\text{C}$
T_{WO-052}	คือ อุณหภูมิน้ำขาออกส่วนควบแน่น $L_c 0.05 \text{ m } 15$ โค้งเลี้ยว	$^{\circ}\text{C}$
T_{GT-051}	คือ อุณหภูมิผิวท่อแก้วสุญญากาศด้านนอก ด้านบน (ส่วนบน) $L_c 0.05 \text{ m } 15$ โค้งเลี้ยว	$^{\circ}\text{C}$
T_{GD-051}	คือ อุณหภูมิผิวท่อแก้วสุญญากาศด้านนอก ด้านบน (ส่วนล่าง) $L_c 0.05 \text{ m } 15$ โค้งเลี้ยว	$^{\circ}\text{C}$
T_{GT-052}	คือ อุณหภูมิผิวท่อแก้วสุญญากาศด้านนอก ด้านล่าง (ส่วนบน) $L_c 0.05 \text{ m } 15$ โค้งเลี้ยว	$^{\circ}\text{C}$
T_{GD-052}	คือ อุณหภูมิผิวท่อแก้วสุญญากาศด้านนอก ด้านล่าง (ส่วนล่าง) $L_c 0.05 \text{ m } 15$ โค้งเลี้ยว	$^{\circ}\text{C}$
T_{E-151}	คือ อุณหภูมิส่วนที่ระเหยของท่อความร้อนแบบสันวงรอบ $L_c 0.15 \text{ m } 15$ โค้งเลี้ยว	$^{\circ}\text{C}$
T_{E-152}	คือ อุณหภูมิส่วนที่ระเหยของท่อความร้อนแบบสันวงรอบ $L_c 0.15 \text{ m } 15$ โค้งเลี้ยว	$^{\circ}\text{C}$

สารบัญสัญลักษณ์และอักษรย่อ (ต่อ)

		หน่วย
T_{C-151}	คือ อุณหภูมิส่วนควบแน่นของท่อความร้อนแบบสันวงรอบ $L_c 0.15 \text{ m } 15$ โค้งเลี้ยว	$^{\circ}\text{C}$
T_{WI-151}	คือ อุณหภูมิน้ำขาเข้าส่วนควบแน่น $L_c 0.15 \text{ m } 15$ โค้งเลี้ยว	$^{\circ}\text{C}$
T_{WI-152}	คือ อุณหภูมิน้ำขาเข้าส่วนควบแน่น $L_c 0.15 \text{ m } 15$ โค้งเลี้ยว	$^{\circ}\text{C}$

T_{WO-151}	คือ อุณหภูมิน้ำชาออกส่วนควบแน่น L_c 0.15 m 15 โถงเลี้ยว	°C
T_{WO-152}	คือ อุณหภูมิน้ำชาออกส่วนควบแน่น L_c 0.15 m 15 โถงเลี้ยว	°C
T_{GT-151}	คือ อุณหภูมิผิวท่อแก้วสูญญากาศด้านนอก ด้านบน (ส่วนบน) L_c 0.15 m 15 โถงเลี้ยว	°C
T_{GD-151}	คือ อุณหภูมิผิวท่อแก้วสูญญากาศด้านนอก ด้านบน (ส่วนล่าง) L_c 0.15 m 15 โถงเลี้ยว	°C
T_{GT-152}	คือ อุณหภูมิผิวท่อแก้วสูญญากาศด้านนอก ด้านล่าง (ส่วนบน) L_c 0.15 m 15 โถงเลี้ยว	°C
T_{GD-152}	คือ อุณหภูมิผิวท่อแก้วสูญญากาศด้านนอก ด้านล่าง (ส่วนล่าง) L_c 0.15 m 15 โถงเลี้ยว	°C
T_{E-251}	คือ อุณหภูมิส่วนที่ราระเหยของห้องห้องร้อนแบบสันนิวงศ์รอบ L_c 0.25 m 15 โถงเลี้ยว	°C
T_{E-252}	คือ อุณหภูมิส่วนที่ราระเหยของห้องห้องร้อนแบบสันนิวงศ์รอบ L_c 0.25 m 15 โถงเลี้ยว	°C
T_{C-251}	คือ อุณหภูมิส่วนควบแน่นของห้องห้องร้อนแบบสันนิวงศ์รอบ L_c 0.25 m 15 โถงเลี้ยว	°C
T_{WI-251}	คือ อุณหภูมิน้ำชาเข้าส่วนควบแน่น L_c 0.25 m 15 โถงเลี้ยว	°C
T_{WI-252}	คือ อุณหภูมิน้ำชาเข้าส่วนควบแน่น L_c 0.25 m 15 โถงเลี้ยว	°C
T_{WO-251}	คือ อุณหภูมิน้ำชาออกส่วนควบแน่น L_c 0.25 m 15 โถงเลี้ยว	°C
T_{WO-252}	คือ อุณหภูมิน้ำชาอออกส่วนควบแน่น L_c 0.25 m 15 โถงเลี้ยว	°C
T_{GT-251}	คือ อุณหภูมิผิวท่อแก้วสูญญากาศด้านนอก ด้านบน (ส่วนบน) L_c 0.25 m 15 โถงเลี้ยว	°C
T_{GD-251}	คือ อุณหภูมิผิวท่อแก้วสูญญากาศด้านนอก ด้านบน (ส่วนล่าง) L_c 0.25 m 15 โถงเลี้ยว	°C

สารบัญสัญลักษณ์และอักษรย่อ (ต่อ)

		หน่วย
T_{GT-252}	คือ อุณหภูมิผิวท่อแก้วสูญญากาศด้านล่าง (ส่วนบน) L_c 0.25 m 15 โถงเลี้ยว	°C
T_{GD-252}	คือ อุณหภูมิผิวท่อแก้วสูญญากาศด้านล่าง (ส่วนล่าง) L_c 0.25 m 15 โถงเลี้ยว	°C

บทที่ 1

บทนำ

1.1 ความเป็นมาและความสำคัญของโครงงาน

พลังงานแสงอาทิตย์เป็นพลังงานทดแทนประเภทหมุนเวียนที่สำคัญชนิดหนึ่งและเป็นพลังงานสะอาด การใช้ประโยชน์จากพลังงานแสงอาทิตย์จึงเป็นทางออกของการแก้ไขปัญหาสภาวะวิกฤตด้านพลังงาน เนื่องจากจำนวนประชากรของโลกในปัจจุบัน พลังงานแสงอาทิตย์จึงถูกนำมาใช้ประโยชน์ในด้านต่างๆ หลาย ด้าน เช่น การนำมาให้ความอบอุ่นแก่ร่างกาย ให้แสงสว่าง เป็นต้น ซึ่งในงานวิจัยมีแนวคิดนำพลังงาน แสงอาทิตย์มาใช้ทำน้ำร้อน

การทำน้ำร้อนจากพลังงานแสงอาทิตย์จะต้องมีอุปกรณ์หลักในการเปลี่ยนรังสีแสงอาทิตย์ให้เป็น พลังงานความร้อน คือ ตัวรับรังสีแสงอาทิตย์ แบ่งเป็น 3 แบบ คือ

1.1.1 แบบห่อแก้วสูญญากาศ สามารถทำน้ำร้อนได้อุณหภูมิ 100 ถึง 200 C° ดังแสดงในรูปที่ 1.1



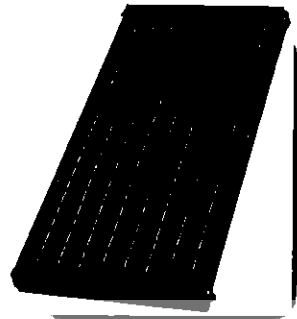
รูปที่ 1.1 เครื่องทำน้ำร้อนพลังงานแสงอาทิตย์แบบห่อแก้วสูญญากาศ [1]

1.1.2 แบบรวมแสง สามารถทำน้ำร้อนได้อุณหภูมิสูงกว่า 300 C° ดังแสดงในรูปที่ 1.2



รูปที่ 1.2 เครื่องทำน้ำร้อนพลังงานแสงอาทิตย์แบบรวมแสง [1]

1.1.3 แบบแผ่นเรียบ สามารถทำน้ำร้อนได้อุณหภูมิ 40 ถึง 90 °C ดังแสดงในรูปที่ 1.3



รูปที่ 1.3 เครื่องทำน้ำร้อนพลังงานแสงอาทิตย์แบบแผ่นเรียบ [1]

พบว่าตัวรับรังสีแสงอาทิตย์แบบรวมแสงจะทำความร้อนได้สูงที่สุด แต่ต้นทุนอุปกรณ์ค่อนข้างสูงและพื้นที่ติดตั้งมาก ดังนั้นตัวรับรังสีแสงอาทิตย์แบบท่อแก้วสูญญากาศ จึงถูกนำมาใช้และการทำวิจัยอย่างแพร่หลายมากขึ้นในปัจจุบัน เนื่องจากตัวรับรังสีแสงอาทิตย์แบบท่อสูญญากาศ สามารถทำความร้อนได้สูง ส่วนตัวรับรังสีแสงอาทิตย์แบบแผ่นเรียบ ยังมีความสามารถในการทำความร้อนต่ำเมื่อเทียบกับทั้ง 3 แบบ

หลอดแก้วสูญญากาศ คือ ตัวคุณตัวรับรังสีในระบบผลิตความร้อนด้วยพลังงานแสงอาทิตย์ที่คุณตัวรับรังสีจะเปลี่ยนเป็นความร้อนเมื่อนำเข้ามาส่องผ่านแก้วสูญญากาศ เป็นหลอดแก้วประเภท "Borosilicate Glass" มีความแข็งแรงมาก หลอดแก้วชั้นนอกเป็นแก้วชนิดโปร่งใสโดยรังสีอาทิตย์สามารถผ่านได้แต่จะสะท้อนกลับไนน้อยมาก หลอดแก้วชั้นในจะถูกเคลือบด้วยกรรมวิธีพิเศษที่เรียกว่า "Selective Coating" ด้วยสาร Al-N/Al⁺ ซึ่งจะทำให้สามารถดูดซับรังสีอาทิตย์ได้ดี และรังสีจะสะท้อนกลับได้น้อยมาก ส่วนบนของหลอดแก้วทั้ง 2 ชั้น จะถูกหลอมเข้าด้วยกัน และอาจต้องมีช่องว่างหลอดแก้วทั้งสอง จะถูกดูดออกโดยใช้อุณหภูมิที่สูงมาก ซึ่งเป็นกรรมวิธีที่เรียกว่า "Evacuation" เพื่อให้เป็นสูญญากาศ

สูญญากาศ คือ จำนวนกันความร้อนสูญเสียที่ดีที่สุด มีความสำคัญมาก เพราะหลอดแก้วสูญญากาศทำหน้าที่ดูดซับรังสีอาทิตย์เปลี่ยนเป็นความร้อน จึงไม่ต้องการให้ความร้อนนั้นสูญเสียไป โดยเฉพาะอุณหภูมิภายในหลอดแก้วชั้นในสูงถึง 200 °C แต่หลอดแก้วชั้นนอก จะเย็นโดยสามารถสัมผัสได้ ซึ่งเป็นวิธีทำความร้อนได้โดยมักระทึ้งในช่วงหน้าฝน และช่วงหน้าหนาว หากเป็น Solar collector ชนิดแผ่นเรียบจะไม่สามารถป้องกันความร้อนสูญเสียนี้ได้

ท่อความร้อนแบบสัน ซึ่งเป็นท่อความร้อนที่พัฒนาต่อจากท่อความร้อนธรรมดานมีสมรรถนะการถ่ายเทความร้อนสูงกว่า ในงานวิจัยนี้จึงสนใจนำท่อความร้อนแบบสันมาประยุกต์ใช้เป็นตัวแลกเปลี่ยนความร้อนในท่อแก้วสูญญากาศ โดยท่อความร้อนแบบสันสร้างขึ้นมาจากท่อคู่ลักษณะเดียวกันที่นำมาต่อตัวกันเป็นรายห่วง

ส่วนทำระเหยและส่วนควบคุมเกิดเป็นโถงเลี้ยว ภายในห้องจะตุดอกอากาศออกแล้วเติมสารทำงานเข้าไป และห้องทำงานภายในจะจัดเรียงตัวสลับกันไปตามรูปแบบห้องเหลวและห้องไอ การถ่ายเทความร้อนสามารถเกิดขึ้นได้โดยการให้ลมเวียนและสั่นในแนวแกนของสารทำงานภายในท่อร่วมกับการเปลี่ยนแปลงสถานะของสารทำงานภายในส่วนทำระเหยและส่วนควบคุม ท่อความร้อนแบบสั่นสามารถแบ่งได้ 3 แบบ คือ ห้องความร้อนแบบสั่นวงรอบที่มีว่าล์ว์กันกลับ ห้องความร้อนแบบสั่นปลายปิด และห้องความร้อนแบบสั่นวงรอบ โดยห้องความร้อนแบบสั่นวงรอบที่มีว่าล์ว์กันกลับจะให้ค่าการถ่ายเทความร้อนสูงสุด รองลงมาคือห้องความร้อนแบบสั่นวงรอบและห้องความร้อนแบบสั่นปลายปิดตามลำดับ แต่เนื่องจากห้องที่ใช้สร้างห้องความร้อนนี้มีเส้นผ่านศูนย์กลางภายในเล็กมาก การติดตั้งว่าล์ว์กันกลับจึงเป็นไปได้ยากและค่าใช้จ่ายสูง การใช้ห้องความร้อนแบบสั่นวงรอบจึงแพร่หลายมากกว่าห้องความร้อนแบบสั่นวงรอบที่มีว่าล์ว์กันกลับและห้องความร้อนแบบสั่นปลายปิด

จากการศึกษาข้อมูลเกี่ยวกับห้องความร้อน [7] พบว่าได้มีการทดสอบสมรรถนะทางความร้อนของห้องความร้อนอยู่ 2 ชนิด คือห้องความร้อนแบบเทอร์โมไฟฟอนและห้องความร้อนแบบสั่นวงรอบ ซึ่งจากการค้นคว้าข้อมูลพบว่าห้องความร้อนแบบเทอร์โมไฟฟอนให้ประสิทธิภาพในการถ่ายเทความร้อนมากกว่าห้องความร้อนแบบสั่นวงรอบ โดยมีการทดลองที่มีการให้พื้นที่ผิวห้องความร้อนทั้ง 2 ชนิดเท่ากัน แต่เนื่องจากห้องแก้วสุญญากาศที่ใช้ห้องความร้อนแบบสั่นวงรอบนั้นยังเหลือพื้นที่ในการบรรจุห้องความร้อนแบบสั่นวงรอบ พอสมควร งานวิจัยนี้จึงต้องการที่จะทำการทดสอบสมรรถนะทางความร้อนของห้องความร้อนแบบสั่น

1.2 วัตถุประสงค์ของโครงงาน

- เพื่อศึกษาจำนวนโถงเลี้ยวของห้องความร้อนแบบสั่นวงรอบ ที่ส่งผลต่อสมรรถนะการทำงานของเครื่องทำน้ำร้อนพลังงานแสงอาทิตย์แบบห้องแก้วสุญญากาศที่ใช้ห้องความร้อนแบบสั่นวงรอบ
- เพื่อศึกษาความสามารถส่วนควบคุมต่างๆของห้องความร้อนแบบสั่นวงรอบ ที่ส่งผลต่อสมรรถนะการทำงานของเครื่องทำน้ำร้อนพลังงานแสงอาทิตย์แบบห้องแก้วสุญญากาศที่ใช้ห้องความร้อนแบบสั่นวงรอบ

1.3 ประโยชน์ที่คาดว่าจะได้รับ

- ทราบถึงผลกระทบของจำนวนโถงเลี้ยวของห้องความร้อนแบบสั่นวงรอบ ที่ส่งผลต่อสมรรถนะการทำงานของเครื่องทำน้ำร้อนพลังงานแสงอาทิตย์แบบห้องแก้วสุญญากาศที่ใช้ห้องความร้อนแบบสั่นวงรอบ
- ทราบถึงผลกระทบของความสามารถส่วนควบคุมต่างๆของห้องความร้อนแบบสั่นวงรอบ ที่ส่งผลต่อสมรรถนะการทำงานของเครื่องทำน้ำร้อนพลังงานแสงอาทิตย์แบบห้องแก้วสุญญากาศที่ใช้ห้องความร้อนแบบสั่นวงรอบ

1.4 ขอบเขตการทำโครงการ

ตัวแปรควบคุม

- ตัวรับรังสีแสงอาทิตย์ที่ใช้เป็นแบบท่อแก้วสูญญากาศเป็นแบบท่อแก้ว 2 ชั้น ทำมาจาก Borosilicate มีความยาวมีความยาวท่อแก้วสูญญากาศ 1.5 m
- ความยาวส่วนทำระเหย 1.5 m และความยาวส่วนที่ไม่มีการสูญเสียความร้อน 0.05 m
- สารทำความเย็น R-134a เป็นสารทำงาน
- ห่อแก้วทั่มนูนอียง 16 องศา จากแนวระดับ
- อัตราการไหลของน้ำร้อน 0.1 L/min
- ชนิดท่อความร้อนคือท่อความร้อนแบบสันวงรอบทำจากทองแดง อัตราส่วนการเติมสารทำงาน 50 % ของปริมาตรภายในห้องท่อห้อง
- ค่าพลังงานแสงอาทิตย์และอุณหภูมิอากาศ ณ อาคารปฏิบัติการวิศวกรรมเครื่องกล คณะวิศวกรรมศาสตร์ มหาวิทยาลัยนเรศวร จังหวัดพิษณุโลก

ตัวแปรต้น

- จำนวนโถงเลี้ยงของห่อความร้อนแบบสันวงรอบคือ 5 - 15 โถงเลี้ยว
- ความยาวส่วนควบแน่นของห่อความร้อนแบบสันวงรอบตั้งแต่ 0.05 – 0.25 m

ตัวแปรตาม

- ประสิทธิภาพเครื่องทำน้ำร้อน
- อัตราการถ่ายเทความร้อน
- อุณหภูมน้ำร้อนขาออก

1.5 ขั้นตอนการดำเนินงาน

- 1.5.1 ศึกษาทฤษฎีและบทความที่เกี่ยวข้อง
- 1.5.2 ออกแบบเครื่องทำน้ำร้อน
- 1.5.3 สร้างเครื่องทำน้ำร้อน
- 1.5.4 ทดลองและบันทึกผล
- 1.5.5 วิเคราะห์และสรุปผลการทดลอง
- 1.5.6 จัดทำรูปเล่มวิทยานิพนธ์
- 1.5.7 นำเสนอผลงาน

1.6 แผนการดำเนินงาน

ตารางที่ 1.1 ตารางการดำเนินงาน

การดำเนินงาน	2555							2556	
	มี.ย.	ก.ค.	ส.ค.	ก.ย.	ต.ค.	พ.ย.	ธ.ค.	ม.ค.	ก.พ.
1. ศึกษาทฤษฎีและบทความที่เกี่ยวข้อง					→				
2. ออกร่างแบบเครื่องทำน้ำร้อน					←	→			
3. สร้างเครื่องทำน้ำร้อน					←	→			
4. ทดลองและบันทึกผล							←→		
5. วิเคราะห์และสรุปผลการทดลอง							←→		
6. จัดทำรูปเล่มวิทยานิพนธ์							←→		
7. นำเสนอผลงาน							←→		

1.7 รายละเอียดงบประมาณตลอดโครงการ

ตารางที่ 1.2 รายละเอียดงบประมาณ

ลำดับที่	รายการ	ราคา (บาท)
1	โครงสร้างเครื่องทำน้ำร้อน	1,000
2	ถังน้ำร้อน	1,500
3	จัดทำรูปเล่ม	500
รวม		3,000

บทที่ 2

หลักการและทฤษฎี

ในเอกสารและงานวิจัยที่เกี่ยวข้องจะกล่าวถึงค่าคงตัวรังสีอาทิตย์ ส่วนประกอบเครื่องทำน้ำร้อน พลังงานแสงอาทิตย์ ลักษณะของท่อความร้อนและห้องความร้อนแบบสันวงรอบ ทฤษฎีการถ่ายเทความร้อน สมรรถนะทางความร้อนของเครื่องทำน้ำร้อนพลังงานแสงอาทิตย์และงานวิจัยที่เกี่ยวข้อง

2.1 ค่าคงตัวรังสีอาทิตย์ (The Solar Constant)

โลกโดยรวมดวงอาทิตย์ไม่เป็นวงกลม โดยมีค่าเปลี่ยนแปลงประมาณ 1.7 เปอร์เซ็นต์ ระยะห่างเฉลี่ยระหว่างโลกและดวงอาทิตย์มีค่าประมาณ 1.495×10^{11} m ค่าคงตัวรังสีอาทิตย์ (Solar Constant, G_{sc}) คือ ค่าความเข้มของรังสีอาทิตย์ที่ระยะห่างเฉลี่ยระหว่างโลกกับดวงอาทิตย์ ซึ่งมีค่าประมาณ $1,367 \text{ W/m}^2$ หรือ $432 \text{ BTU/Ft}^2\text{-hr}$

2.1.1 รังสีแสงอาทิตย์ที่ตกบนพื้นโลกสามารถแบ่งได้ 3 ประเภท ได้แก่

2.1.1.1 รังสีตรง (Direct or Beam Radiation) เป็นรังสีที่ได้จากดวงอาทิตย์โดยตรง มีทิศทางที่แน่นอน สามารถปรับเปลี่ยนทิศทางรังสี เช่น รวมแสงหรือสะท้อนเพื่อนำไปใช้งาน

2.1.1.2 รังสีกระจาย (Diffuse Radiation) เป็นรังสีที่ได้รับหลังจากที่มีการกระจาย หักเห และสะท้อนในชั้นบรรยากาศหรือสิ่งแวดล้อม ทำให้มีทิศทางไม่แน่นอนและไม่เป็นระเบียบ ไม่สามารถรวมแสงหรือสะท้อนได้

2.1.1.3 รังสีรวม (Total or Global Radiation) เป็นผลรวมของรังสีตรงและรังสีกระจาย

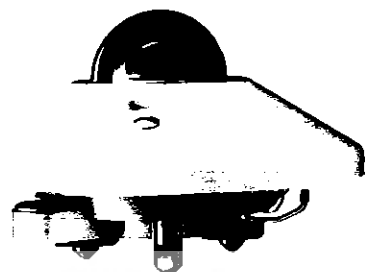
2.1.2 อุปกรณ์วัดรังสีแสงอาทิตย์

เครื่องมือที่ใช้วัดรังสีรวม คือไฟรานอ米เตอร์ (Pyranometer) การวัดรังสีกระจายจะใช้ไฟรานอ米เตอร์ โดยมีແ晖นเงา (Shading Ring) บังไม่ให้ตัววัดเห็นดวงอาทิตย์และการวัดรังสีตรงจะใช้ไฟเซลโลมิเตอร์ (Pyheliometer)

อุปกรณ์วัดรังสีอาทิตย์

- ไฟรานอ米เตอร์ (Pyranometer) เป็นเครื่องมือวัดรังสีรวมที่ประกอบด้วยเทอร์โมไฟล์ (Thermopile) หลายชุดต่ออนุกรมกัน ตัวรับรังสีบรรจุอยู่ในโคนแก้วครึ่งทรงกลมดังรูปที่ 2.1 ใน การที่จะวัดรังสีกระจายในแนวราบสามารถทำได้โดยใช้ไฟรานอ米เตอร์ชนิดเดียวกับที่ใช้วัดรังสีรวม แต่จะต้องมีอุปกรณ์ที่ใช้บังรังสีตรงไม่ให้รังสีตรงตกลงบนตัวรับรังสี ดังรูปที่ 2.2 อุปกรณ์บังรังสีตรงที่สำคัญมี 2 ชนิดคือ ajan เงา (Shading Disc) และ ແ晖นเงา (Shading Ring)

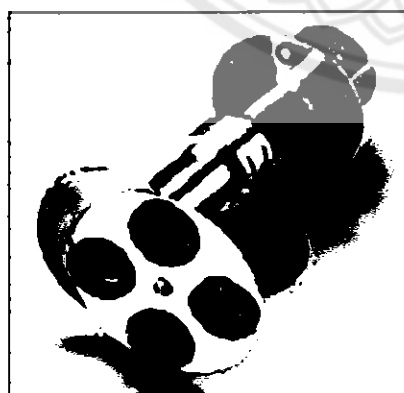
- ไพร์เยลิโอมิเตอร์ (Pyrheliometer) เป็นอุปกรณ์ที่ใช้วัดรังสีตรง มีชุดขับเคลื่อนตามดวงอาทิตย์ เพื่อที่จะให้ผิวรับรังสีตั้งจากกับลำแสงตลอดเวลา ผิวรับรังสีติดอยู่ส่วนท้ายของท่อที่ให้แสงเข้า ดัง แสดงในรูปที่ 2.3



รูปที่ 2.1 ไพรานอนมิเตอร์วัดรังสีรวม [2]



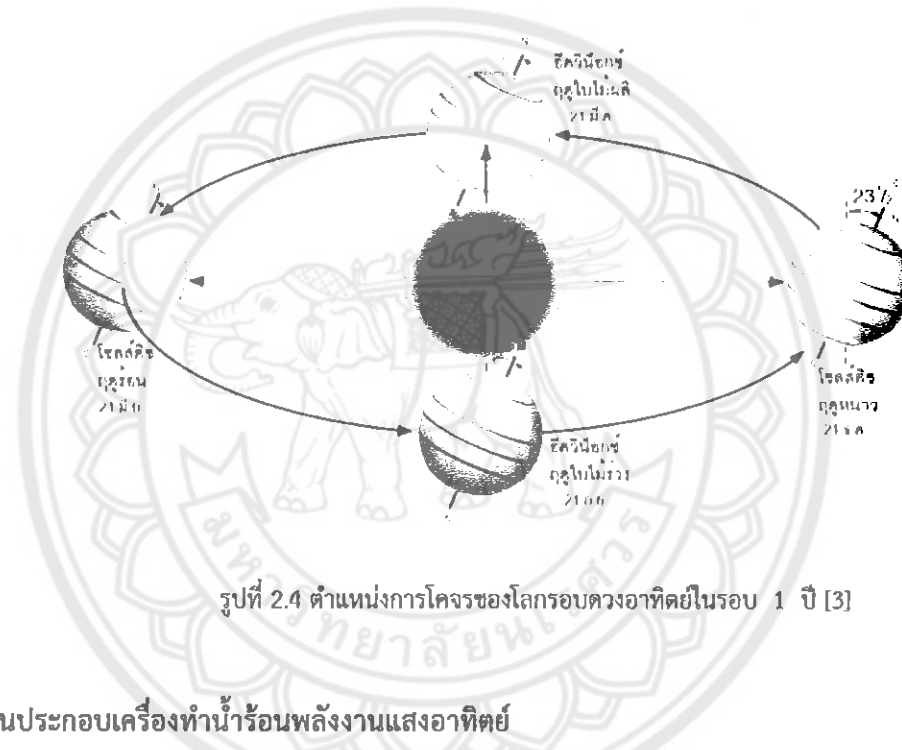
รูปที่ 2.2 ไพรานอนมิเตอร์วัดรังสีกระจาย [2]



รูปที่ 2.3 ไพร์เยลิโอมิเตอร์ [2]

2.1.3 ตำแหน่งการติดตั้งแผงรับรังสีแสงอาทิตย์

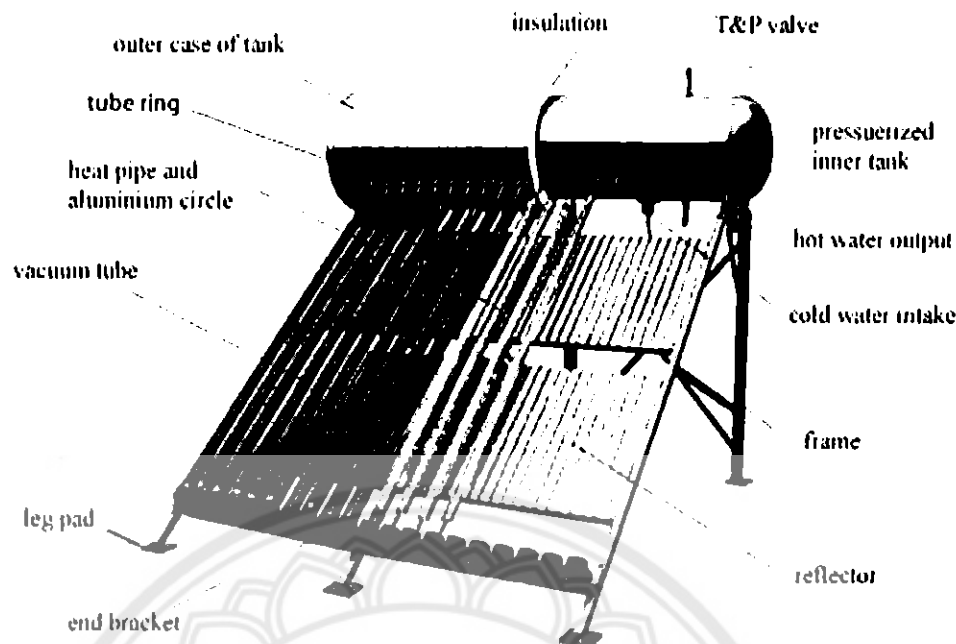
โลกโคจรรอบดวงอาทิตย์ในลักษณะที่แกนเอียงทำมุมกับแนวดิ่ง 23.5 องศา ตำแหน่งบนพื้นโลกหันเข้าหาดวงอาทิตย์ตามลักษณะที่แสดงในรูป 2.4 ซึ่งในการติดตั้งแผงรับรังสีแสงอาทิตย์นั้นควรจะติดตั้งตำแหน่งที่มีโอกาสจะได้รับแสงอาทิตย์ตลอดทั้งวัน และต้องไม่ถูกร่มเงาของอาคารหรือต้นไม้บังแสง และควรทำมุมเอียงเพื่อตั้งฉากกับรังสีแสงอาทิตย์ และควรติดตั้งไว้ทางทิศใต้เนื่องจากประเทศไทยเป็นประเทศที่อยู่ทางซีกโลกเหนือ ซึ่งด้านทิศใต้จะได้รับแสงแดดตลอดทั้งวัน และจังหวัดพิษณุโลกตั้งอยู่ที่พิกัดละตitudที่ 16.78 องศา 44 ลิปดาเหนือ ลองจิจูดที่ 100 องศา 16.4 ลิปดา ตะวันออก ดังนั้นการวางแผนตัวของเครื่องทำน้ำร้อนพลังงานแสงอาทิตย์ควรทำมุม 16.78 องศา กับแนวระดับจึงจะสามารถรับแสงอาทิตย์ได้ดีที่สุด



รูปที่ 2.4 ตำแหน่งการติดตั้งแผงรับรังสีแสงอาทิตย์ในรอบ 1 ปี [3]

2.2 ส่วนประกอบเครื่องทำน้ำร้อนพลังงานแสงอาทิตย์

เครื่องทำน้ำร้อนด้วยแสงอาทิตย์ เป็นการใช้พลังงานแสงอาทิตย์ในรูปความร้อน โดยใช้ตัวรับรังสีแสงอาทิตย์ (Solar Collector) เป็นตัวแปลงและเก็บพลังงานความร้อนแล้วถ่ายเทความร้อนให้กับน้ำทำให้น้ำที่มีอุณหภูมิต่ำเป็นน้ำร้อนที่อุณหภูมิประมาณ $40-70^{\circ}\text{C}$ ซึ่งเครื่องทำน้ำร้อนด้วยพลังงานแสงอาทิตย์ มีส่วนประกอบหลักอยู่ 2 ส่วน คือ ตัวรับรังสีแสงอาทิตย์ และถังเก็บน้ำร้อน ดังรูปที่ 2.5

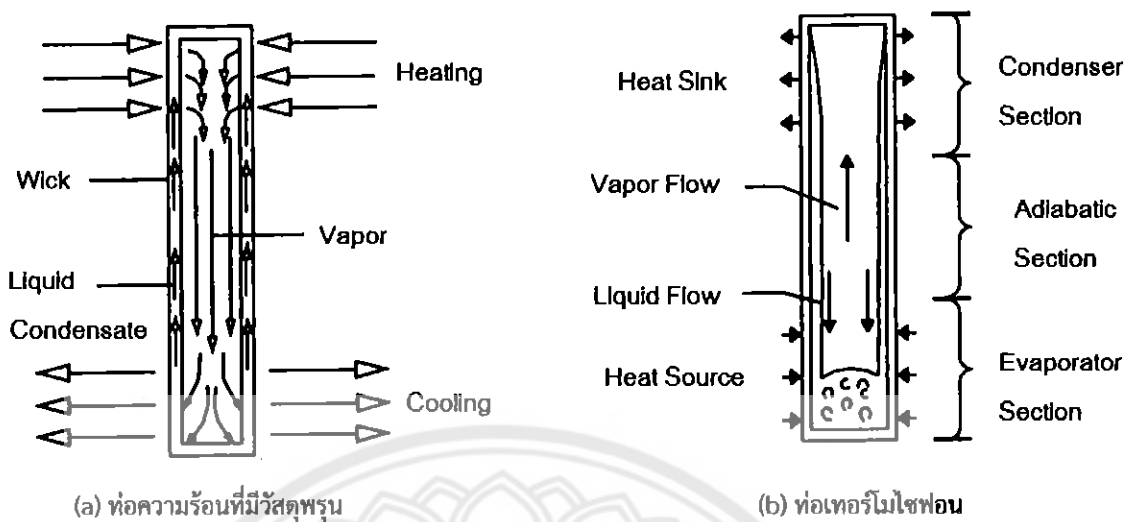


รูปที่ 2.5 เครื่องทำน้ำร้อนพลังงานแสงอาทิตย์ [4]

- ตัวคูดซับความร้อนที่เกิดขึ้นในเครื่องทำน้ำร้อนถูกคูดซับไว้ ซึ่งวัตถุที่เป็นตัวคูดซับมีความจำเป็นมากในการทำน้ำร้อนด้วยพลังงานแสงอาทิตย์ เนื่องจากหากปราศจากตัวคูดซับจะทำให้ระบบการทำความร้อนไม่สามารถผลิตความร้อนมาให้เพียงพอต่อการทำให้น้ำร้อนมีอุณหภูมิตามที่ต้องการได้
- ฉนวนกันความร้อน เป็นสิ่งป้องกันความร้อนรั่วไหล เนื่องจากฉนวนกันความร้อนเป็นอุปกรณ์ที่ป้องกันไม่ให้ความร้อนภายในเครื่องทำน้ำร้อนรั่วไหลออกมายานอก ซึ่งมีอุณหภูมิต่ำกว่าจี๊ดิอิ๊ว ฉนวนกันความร้อนเป็นอุปกรณ์สำคัญในเครื่องทำน้ำร้อนด้วยพลังงานแสงอาทิตย์ทุกๆ แบบ
- ห้อทำน้ำที่ถ่ายเทความร้อนจากเครื่องทำน้ำร้อนไปยังถังเก็บหรืออุปกรณ์ที่ต้องการใช้ความร้อนจากน้ำร้อน
- ถังเก็บน้ำร้อน (Storage Tank) เป็นถังแบบปิดนิยมทำด้วยสแตนเลสอย่างดีที่ไม่เป็นสนิม ฉนวนหุ้มป้องกันการสูญเสียความร้อน

2.3 ลักษณะของห้อความร้อนและห้อความร้อนแบบสั่นวารอบ

ห้อความร้อน (Heat pipe) เป็นอุปกรณ์แลกเปลี่ยนความร้อนแบบปิดสองสถานะที่มีประสิทธิภาพสูง ซึ่งทำงานห่อโลหะภายในห่อจะประกอบด้วยวัสดุพูนและสารทำงานดังที่แสดงในรูปที่ 2.6(a) โดยหัวไปหอความร้อนสามารถแบ่งออกได้เป็น 3 ส่วน คือส่วนทำระหว่างส่วนควบแน่นและส่วนที่ไม่มีการถ่ายเทความร้อน หลักการทำงานของห้อความร้อนคือเมื่อมีการให้ความร้อนที่ส่วนทำระหว่างสารทำงานที่เป็นของเหลวจะกลายเป็นไอทำให้ไหลไปยังส่วนควบแน่นและเมื่อไอที่ส่วนควบแน่นมีการถ่ายเทความร้อนออกจากลักษณะเป็นของเหลวไหลไปยังส่วนทำระหว่าง โดยอาศัยแรงค่าปัลลารีผ่านวัสดุพูนหรือแรงโน้มถ่วงของโลก และจะทำงานเป็นวัฏจักร



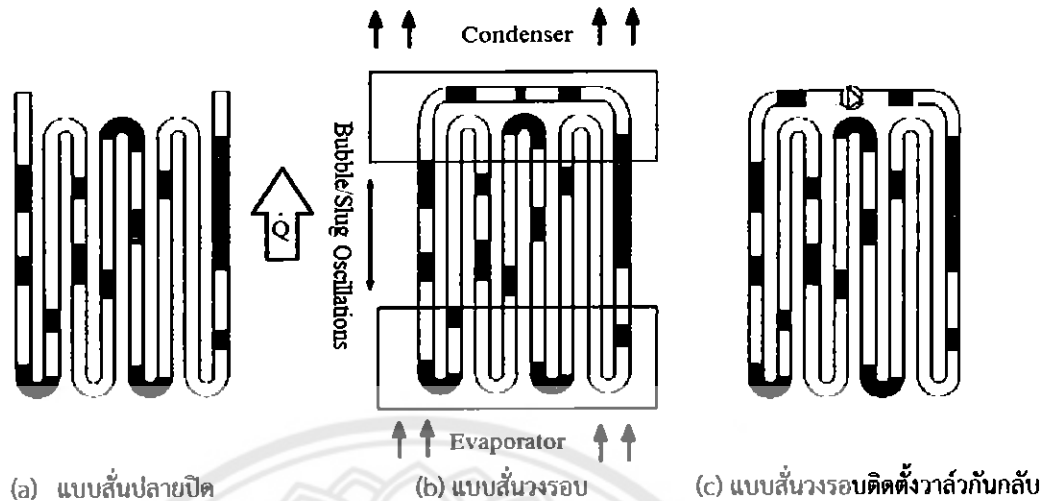
รูปที่ 2.6 ลักษณะของท่อความร้อนธรรมชาติ [5]

2.3.1 ท่อความร้อนธรรมชาติ

ท่อความร้อนธรรมชาติถูกสร้างขึ้นโดย Gaugler ในช่วงประมาณ ปี ค.ศ. 1942 เป็นท่อปลายปิดที่มีสารทำงานปริมาณหนึ่งบรรจุไว้ภายในตัวท่อรูปที่ 2.6 (a) โดยที่ข่องเหลวจะรับความร้อนและกล้ายเป็นไอในส่วนบนของท่อหลังจากนั้นไอจะเคลื่อนที่มาบังด้านล่างส่วนควบแน่นและขยายความร้อนอุณหภูมิเพื่อเปลี่ยนเป็นของเหลวแล้วอาศัยแรงค่าปีลลารีที่เกิดจากโครงสร้างวัสดุพูรุน (Wick structure) ภายในท่อเพื่อตึงของเหลวนี้กลับขึ้นไปด้านบนไปยังแหล่งกำเนิดความร้อนอีกครั้งหนึ่ง หากแหล่งกำเนิดความร้อนอยู่ต่ำกว่าแหล่งระบายความร้อนดังรูปที่ 2.6 (b) ท่อความร้อนก็ไม่จำเป็นต้องใช้โครงสร้างวัสดุพูรุน เนื่องจากอาศัยแรงโน้มถ่วงของโลกดึงสารทำงานเหลวกลับลงมาอย่างแหล่งกำเนิดความร้อนแทนซึ่งเรียกท่อความร้อนธรรมชาตินี้ว่า เทอร์โมไซฟอน (Thermosyphon) ซึ่งท่อความร้อนนี้ถูกนำมาใช้ประโยชน์อย่างมาก แต่อย่างไรก็ตามจากการพัฒนาทางเทคโนโลยีแห่งวงจรอิเล็กทรอนิกส์ต่างๆนั้น มีขนาดเล็กลงและมีความร้อนที่ต้องระบายออกสูงขึ้นดังนั้นท่อความร้อนที่นำมาใช้กับงานนี้จึงต้องมีขนาดเล็กลงแต่ต้องสามารถถึงความร้อนออกจากการแพร่กระจายได้มากขึ้น การลดขนาดท่อความร้อนลงอย่างมากจนถึงระดับไมโครเมตรหรือค่าปีลลารี (Capillary tube) มีผลทำให้เกิดขิดจำกัดการส่งผ่านความร้อนขึ้นนี้คือขิดจำกัดค่าปีลลารีซึ่งเกิดจากโครงสร้างวัสดุพูรุน (Wick structure) จึงไม่สามารถนำของเหลวย้อนกลับมาอย่างส่วนที่รับความเย็นได้อย่างเพียงพอ

2.3.2 ท่อความร้อนแบบสั่น

ท่อความร้อนแบบสั่นได้ถูกสร้างขึ้นจากท่อค่าปีลลารีเดียวที่มีขนาดเส้นผ่าศูนย์กลางภายในเล็กมากและไม่มีโครงสร้างวัสดุพูรุนภายในท่อ ซึ่งท่อถูกตัดไปมาให้เป็นโค้งเลี้ยวเพื่อเป็นแหล่งกำเนิดความร้อนและแหล่งระบายความร้อนเนื่องจากผลของการตึงผิวทำให้สารทำงานปริมาณหนึ่งที่บรรจุอยู่ภายในท่อเรียงตัวอยู่ในรูปแท่งของเหลว (Liquid slug) และฟองไอ (Vapor bubble) สลับกันไปตลอดความยาวทั้งหมดของท่อการถ่ายเทความร้อนจะเกิดจากการเคลื่อนที่แบบสั่นของสารทำงานที่เกิดขึ้นด้วยการกระตุนการสั่นด้วยตัวมันเอง (Self-excite oscillation) โดยทั่วไปสามารถแบ่งท่อความร้อนแบบสั่นได้ 3 ประเภทตามลักษณะโครงสร้างท่อดังรูป 2.7



รูปที่ 2.7 ประเภทของท่อความร้อนแบบสั้น [6]

โดยรูปที่ 2.7 (a) แสดงท่อความร้อนแบบสั้นปลายปิด (Closed-end oscillating heat pipe, CEOHP) ซึ่งปลายท่อทั้งสองถูกปิดและแยกออกจากกันรูปที่ 2.7 (b) แสดงท่อความร้อนแบบสั้นวงรอบ ที่เชื่อมปลายทั้งสองข้างเข้าด้วยกัน (Closed-loop oscillating heat pipe, CLOHP) รูปที่ 2.7 (c) แสดงท่อความร้อนแบบสั้นวงรอบที่มีว่าลักษณะกันกลับซึ่งจะเชื่อมปลายทั้งสองข้างเข้าด้วยกัน และภายในมีว่าลักษณะกันกลับ (Closed-loop oscillating heat pipe with check valve, CLOHP/CV) ซึ่งทำหน้าที่ควบคุมทิศทางการไหลของสารทำงานเมื่อมีการให้ความร้อนที่เหล่งกำเนิดความร้อนความร้อนจะไปสร้างฟองไอเพิ่มขึ้นทำให้แท่งของเหลวถูกผลักไปยังส่วนควบแน่นทำให้สารทำงานเกิดการไหลขึ้นและที่เหล่งจะนำความร้อนความร้อนจะถูกด่ายเทออกไปทำให้ฟองไอจะยุบตัวลงหรือกล่าวเป็นของเหลวไปรวมกับแท่งของเหลวที่อยู่ติดกันทำให้เกิดแรงไอลย้อนกลับไปยังเหล่งกำเนิดความร้อนและเมื่อมีการไหลของทั้งสองเหล่งให้เหลนกันทำให้เกิดการสั่นขึ้นตามแนวแกน การไหลของท่อซึ่งปรากฏการณ์การเคลื่อนที่ของสารทำงานภายในท่อความร้อนนี้จึงมีความชักช้อนมาก ถึงแม้ว่าท่อความร้อนแบบสั้นที่มีว่าลักษณะกันกลับจะทำให้สารทำงานไหลเวียนได้ง่ายในทิศทางที่กำหนดแต่มีความยุ่งยากในการสร้างและเมื่อเปรียบเทียบระหว่างท่อความร้อนแบบสั้นปลายปิดกับท่อความร้อนแบบสั้นวงรอบซึ่งสมรรถนะการด่ายเทความร้อนของท่อความร้อนแบบสั้นวงรอบจะมีพัลลักษณะร้อนสูงกว่าท่อความร้อนแบบสั้นปลายปิดอย่างเห็นได้ชัดจึงมีความสนใจในการนำไปใช้ท่อความร้อนแบบสั้นวงรอบมาประยุกต์ใช้ในงานวิจัยนี้

ท่อความร้อนแบบสั้นจะสามารถทำงานได้โดยอาศัยการเคลื่อนที่ของก้อนของเหลวและฟองไอกายในท่อซึ่งจะเกิดขึ้นได้นั้นสารทำงานจะต้องมีการจัดตัวอยู่ในรูปฟองไอและก้อนของเหลวสลับกันไปและการที่สารทำงานจะสามารถจัดตัวให้อยู่ในรูปก้อนของเหลวและฟองไอได้นั้นจะต้องพิจารณาถึงแรงตึงผิวและความหนาแน่นของสารทำงานที่อุณหภูมิทำงานเพื่อหาขนาดเส้นผ่านศูนย์กลางภายในสูงสุดของท่อความร้อนแบบสั้นได้ดังสมการที่ 1

$$D_{i,max} = 2 \sqrt{\frac{\sigma}{\rho_l g}} \quad \dots \dots \dots \quad (2.1)$$

โดยที่ $D_{i,max}$ คือ ขนาดเส้นผ่านศูนย์กลางภายในสูงสุด, m
 σ คือ แรงตึงผิวของสารทำงาน, N/m
 ρ_l คือ ความหนาแน่นของสารทำงาน, kg/m³
 g คือ ความเร่งเนื่องจากแรงโน้มถ่วง, m/s²

2.4 ทฤษฎีการถ่ายเทความร้อน

การนำความร้อนเป็นปรากฏการณ์การเคลื่อนที่ของความร้อนจากจุดที่มีอุณหภูมิสูงไปยังจุดที่อุณหภูมิต่ำกว่าโดยที่ไม่เกิดขึ้นเองตามธรรมชาติ การนำความร้อนจะเกิดขึ้นโดยกระบวนการที่มีสาเหตุมาจากสาเหตุที่แตกต่างกัน คือ การถ่ายเทความร้อนทาง direct convection ซึ่งเป็นการนำความร้อนโดยการเคลื่อนที่ของ流体 เช่น อากาศ น้ำ เป็นต้น และการถ่ายเทความร้อนทาง indirect convection ซึ่งเป็นการนำความร้อนโดยการเคลื่อนที่ของ solid ตัว เช่น เครื่องตู้เย็น การทำอาหารในกระทะ เป็นต้น

$$q_x = k \frac{(T_1 - T_2)}{L} = k \frac{\Delta T}{L} \quad \dots \dots \dots \quad (2.2)$$

โดยที่ q_x คือ พลังค์ความร้อน, W/m²
 k คือ สัมประสิทธิ์การนำความร้อน, W/m²-K
 L คือ ความยาว, m
 ΔT คือ ผลต่างของอุณหภูมิ

กระบวนการถ่ายเทความร้อนแบบการพาความร้อนเป็นปรากฏการณ์การเคลื่อนที่ของพลังงานจากแหล่งอุณหภูมิสูงไปยังอุณหภูมิต่ำกว่าโดยที่ไม่เกิดขึ้นเองตามธรรมชาติ การนำความร้อนที่เป็นด้วยตัวอย่างเช่นการเคลื่อนที่ของลมที่ผ่านหน้ากด漉ความร้อนซึ่งลมดังกล่าวก็จะมีอุณหภูมิสูงตามไปด้วยการพาความร้อนสามารถจำแนกได้เป็น 2 แบบดังนี้

- การพาความร้อนแบบธรรมชาติ (Natural convection) กลไกการเกิดการถ่ายโอนความร้อนมักเกิดเนื่องจากความแตกต่างของความหนาแน่นในระบบตัวอย่างเช่นถ้าในบ้านมีอุณหภูมิสูงกว่าภายนอกเมื่อเปิดหน้าต่างลมจากภายนอกจะพัดเข้ามาแล้วพาความร้อนในบ้านออกไปทำให้ภายในบ้านมีอุณหภูมิลดลงเป็นตันซึ่งการถ่ายเทความร้อนในลักษณะนี้จะเกิดขึ้นค่อนข้างช้า

- การพาความร้อนแบบบังคับ (Force convection) เกิดขึ้นเมื่อมีแรงภายนอกมาบังคับให้ของไหลเคลื่อนที่พร้อมๆ กับท่าน้ำที่ถ่ายเทความร้อนซึ่งจะต้องอาศัยอุปกรณ์ช่วยตัวอย่างเช่นการใช้พัดลมระบายความร้อนโดยการพาความร้อนแบบบังคับนี้จะมีประสิทธิภาพมากกว่าการพาความร้อนแบบธรรมชาติซึ่งสมการมีดังต่อไปนี้

$$Q = hA\Delta T \quad \dots \dots \dots \quad (2.3)$$

โดยที่ Q คือปริมาณความร้อนที่เกิดการถ่ายโอนเนื่องจากการพา, W
 h คือสัมประสิทธิ์การพาความร้อน, $W/m^2 \cdot K$
 A คือพื้นที่แลกเปลี่ยนความร้อน, m^2
 ΔT คือผลต่างของอุณหภูมิ

2.5 สมรรถนะทางความร้อนของเครื่องทำน้ำร้อนพลังงานแสงอาทิตย์

เมื่อสารได้รับความร้อนอุณหภูมิจะเพิ่มขึ้น และถ้าได้รับปริมาณความร้อนมากพอจะมีผลทำให้สารเกิดการเปลี่ยนสถานะ (Phase) ทั้งนี้ขึ้นอยู่กับความจุความร้อนของสารแต่ละชนิดซึ่งไม่เท่ากัน

ความร้อนจำเพาะ (Specific Heat) เป็นปริมาณของพลังงานความร้อนที่ทำให้อุณหภูมิที่ให้กับสารใดๆ เพิ่ม $1 \text{ } ^\circ C$ ต่อหน่วยมวล ถ้าปริมาณความร้อน Q หน่วย ถูกถ่ายเทมาลง m กับสิ่งแวดล้อมแล้วทำให้อุณหภูมิเปลี่ยนไป ΔT

สมการคำนวณปริมาณความร้อนที่ส่งผ่านไปยังน้ำ

$$Q = M_w C p_w \Delta T_w \quad \dots \dots \dots \quad (2.4)$$

โดยที่ Q คือปริมาณความร้อน, W
 M_w คืออัตราการไหลเชิงมวลของน้ำ, m^3/s
 $C p_w$ คือค่าความร้อนจำเพาะของน้ำ, $J/kg \cdot K$
 ΔT_w คือผลต่างอุณหภูมิของน้ำ

ประสิทธิภาพของแผงรับรังสี (Collector Efficiencies) ประสิทธิภาพของแผงรับรังสีแสงอาทิตย์จะเป็นตัวชี้ที่ใช้บอกความสามารถในการเปลี่ยนพลังงานที่ได้จากแสงอาทิตย์ที่ต่อกำมะ บ |แล้วเปลี่ยนเป็นพลังงานความร้อน ซึ่งสามารถแสดงได้จากอัตราส่วนความร้อนที่อยู่ภายในถังน้ำต่อค่าการแผ่รังสีแสงอาทิตย์ทั้งหมดที่ได้จากแผงรับรังสีแสงอาทิตย์ในช่วงเวลาเดียวกันดังสมการที่ 5

$$\eta_c = Q/(AI) \quad \dots \dots \dots \quad (2.5)$$

โดยที่ Q คือปริมาณความร้อน, W
 A_c คือพื้นที่แผงรับรังสีแสงอาทิตย์, m^2
 I คือค่าความเข้มแสง, W/m^2
 η_c คือประสิทธิภาพแผงรับรังสีแสงอาทิตย์

2.6 ทฤษฎีแ枋รับรังสีความร้อน

ทฤษฎีรวมแสงเข้าห่อของ ทรงเมบ – มิเนล

ทรงเมบ คิดค้นแ枋รับแสงแบบนี้ขึ้นมาในปี 1975 จากนั้น มิเนล ได้มีการพัฒนาขึ้นอีกครั้ง หนึ่งในปี 1982 ลักษณะการรวมแสงของแ枋รับแสงแบบ 180° ส่วนประกอบของลักษณะการรวมแสงของแ枋รับแสงแบบบรวมแสงนี้มีลักษณะคล้ายของแ枋รับแสงแบบแผ่นราบ โดยพลักซ์ของแสงอาทิตย์จะตกกระทบที่จุดศูนย์กลางของห่อเท่านั้น ความร้อนจะถ่ายเทไปยังของเหลวที่อยู่ในห่อ การรับแสงมีลักษณะคล้ายกับแ枋รับแสงแบบแผ่นราบดังนี้

- ต้องการให้แสงอาทิตย์ที่ตกกระทบลงแผ่นรวมแสง สะท้อนเข้าสู่เข้าห่อคุดกลีนแสงทั้งหมด ไม่ว่าจะดวงอาทิตย์จะเคลื่อนที่ไปยังตำแหน่งใดๆ ก็ตาม

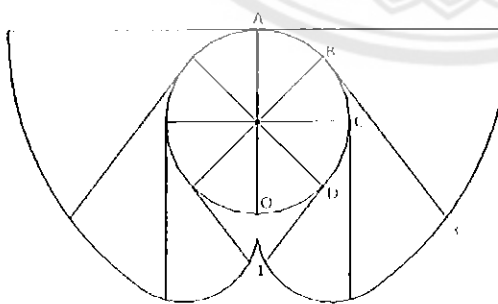
- จุดต่างๆ บนห่อคุดกลีนซึ่งทำมุม 2π สามารถรับการแ枋รังสีกระเจียจากท้องฟ้าได้ การออกแบบขึ้นดันนิยมใช้มุม 180° ซึ่งถือเป็นมุมที่น้อยที่สุดที่ทำให้ห่อคุดกลีนแสงได้รับแสงตกกระทบทุกจุด หรือระยะจุดรวมแสงของแผ่นรวมแสงควรมีค่าไม่ต่ำกว่า πD ของห่อคุดกลีน จากรูป 2.12 แสดงความสัมพันธ์ระหว่างห่อคุดกลีนแสงกับความโค้งของแผ่นรวมแสง สามารถอธิบายได้โดย

ระยะ AO วัดจากเส้นรอบครึ่งวงกลมห่อวัดจากจุดบนสุด จะเท่ากับระยะ A4 เป็นขอบ奔สุดของตัวโค้งแผ่นรวมแสง

ระยะ BO วัดจากเส้นรอบครึ่งวงกลมห่อที่ระยะ $1/4$ ของห่อด้านบนสุดกับระยะ B3 ของเส้นโค้งแผ่นรวมแสง

ระยะ CO วัดจากเส้นรอบครึ่งวงกลมห่อที่ระยะ $1/2$ ของห่อด้านบนสุดกับระยะ C2 ของเส้นโค้งแผ่นรวมแสง

ระยะ DO วัดจากเส้นรอบครึ่งวงกลมห่อที่ระยะ $3/4$ ของห่อด้านบนสุดกับระยะ D1 ของเส้นโค้งแผ่นรวมแสง



เส้นรอบวง AO = ระยะ A4

เส้นรอบวง BO = ระยะ B3

เส้นรอบวง CO = ระยะ C2

เส้นรอบวง DO = ระยะ D1

รูปที่ 2.8 แสดงความสัมพันธ์ระหว่างห่อคุดกลีนแสงกับความโค้งของแผ่นรวมแสง [7]

2.7 การวิเคราะห์ค่าความผิดพลาดจากการทดลอง

การหาค่าความผิดพลาดของค่าความร้อนแผงรับรังสีแสงอาทิตย์ โดยที่ $Q_{in} = I_c A_c$ หาได้จาก

$$dQ_{in} = (I_t A_c dI_t) \quad \dots \dots \dots \quad (2.6)$$

โดยที่ dQ_{in} คือ ค่าความผิดพลาดของค่าอัตราความร้อนที่แผงรับรังสีแสงอาทิตย์ได้รับ

dI_t คือ ค่าความผิดพลาดของเครื่องมือวัดค่าความเข้มแสงอาทิตย์ ($\pm 2\%$)

A_c คือ พื้นที่แผงรับรังสีแสงอาทิตย์

การหาค่าความผิดพลาดของอัตราการถ่ายเทความร้อน โดยที่ $Q_{out} = \dot{m}C_p\Delta T$ หาได้จาก

$$dQ = \sqrt{(c_p(T_{wo} - T_{wi})dm)^2 + (c_p\dot{m}_c dT_{wo})^2 + (-c_p\dot{m}_c dT_{wi})^2} \quad \dots \dots \dots \quad (2.7)$$

โดยที่ dQ คือ ค่าความผิดพลาดของค่าอัตราความร้อนที่ได้รับ (W)

$d\dot{m}$ คือ ค่าความผิดพลาดของเครื่องมือวัดอัตราการไหลของน้ำ ($\pm 10\%$)

dT_{wo} คือ ค่าความผิดพลาดของเครื่องมือวัดอุณหภูมิของน้ำขาออก ($\pm 1^\circ C$)

dT_{wi} คือ ค่าความผิดพลาดของเครื่องมือวัดอุณหภูมิของน้ำขาเข้า ($\pm 1^\circ C$)

การหาค่าความผิดพลาดของอัตราการถ่ายเทความร้อน โดยที่ $\eta_c = \dot{m}C_p\Delta T / I_c A_c$ หาได้จาก

$$d\eta_c = \sqrt{\frac{dQ^2}{((A_c dI_t / dI_t) dI_t)^2}} \quad \dots \dots \dots \quad (2.8)$$

โดยที่ η_c คือ ค่าประสิทธิภาพการทำงาน

2.7 งานวิจัยที่เกี่ยวข้อง

จากปริญญาบัตรของ กิตติกพ ย่างกุลไพรเจน และคณะ (2554) [7] ได้ทำการศึกษาเครื่องทำน้ำร้อนพลังงานแสงอาทิตย์ 2 ชนิด คือ เครื่องทำน้ำร้อนพลังงานแสงอาทิตย์แบบท่อแก้วสูญญากาศที่ใช้ท่อเทอร์โมไฟฟอนกับเครื่องทำน้ำร้อนพลังงานแสงอาทิตย์แบบท่อแก้วสูญญากาศที่ใช้ท่อความร้อนแบบสันวงรอบ ซึ่งทำการทดลองโดยให้เครื่องทำน้ำร้อนพลังงานแสงอาทิตย์ที่มีท่อความร้อนบรรจุอยู่ภายใน และกำหนดให้ท่อความร้อนของทั้ง 2 ชนิดมีพื้นที่ผิวเท่ากัน จากการทดลองพบว่าเครื่องทำน้ำร้อนพลังงานแสงอาทิตย์ที่ใช้ท่อเทอร์โมไฟฟอนให้ประสิทธิภาพการทำงานสูงกว่าเครื่องทำน้ำร้อนพลังงานแสงอาทิตย์ที่ใช้ท่อความร้อนแบบสันวงรอบ แต่เนื่องจากเครื่องทำน้ำร้อนพลังงานแสงอาทิตย์ที่ใช้ท่อความร้อนแบบสันวงรอบยังเหลือพื้นที่ในการบรรจุท่อเพิ่ม ทำให้งานวิจัยนี้คิดที่จะเพิ่มพื้นที่สัมผัสของท่อความร้อนแบบสันขั้นและนำผลที่ได้มาเปรียบเทียบต่อไป

งานวิจัยของ Gi K., et al. (1999) [8] ได้ทำการศึกษาท่อความร้อนแบบสัน 2 แบบคือแบบปลายปิด และแบบบางรอบเพื่อเปรียบเทียบสมรรถนะของท่อความร้อนแบบสันโดยท่อมีขนาดเส้นผ่าศูนย์กลางภายนอก และภายในเท่ากับ 4 mm และ 2 mm ตามลาดับโดยใช้สารทำงาน R-142b ความยาวส่วนทำระหว่างส่วนควบแน่นและส่วนที่ไม่มีการถ่ายเทความร้อนมีความยาวเท่ากับ 15 cm , 15 cm และ 10 cm ตามลาดับในระหว่างการทำงานของท่อความร้อนแบบสันนี้จะทำงานที่อุณหภูมิส่วนที่ไม่มีการถ่ายเทความร้อนเกือบคงที่อยู่ที่ 35 C° หรือ 45 C° จากการทดลองพบว่าท่อความร้อนแบบสันวงรอบ ค่าสมรรถนะทางความร้อนนั้นจะขึ้นอยู่กับความเร็วของการไหลและความรุนแรงของการสันของสารทำงานอัตราส่วนการเติมที่ 50 % ถึง 60 % ทำให้เกิดความเร็วของการไหลสูงสุดและความเร็วจะเพิ่มขึ้นที่ละน้อยตามมุมเอียงจนกระทั่งอยู่ในแนวตั้ง ค่าสมรรถนะการถ่ายเทความร้อนที่ดีที่สุด จะอยู่ที่มุมเอียงใกล้กับแนวตั้งซึ่งจะสร้างการสันที่รุนแรงโดยความยาวของไอและของเหลวสันสำหรับท่อความร้อนแบบปลายปิดสารทำงานไม่สามารถไหลได้แต่ความร้อนจะถูกส่งผ่านโดยการสันของสารทำงานระหว่างส่วนทำระหว่างส่วนควบแน่นการสันภายในแบบปลายปิดนั้นเกิดขึ้นง่ายที่มุมเอียงน้อยจากแนวระนาบและอัตราส่วนการเติมสารทำงานน้อยลงปานกลางเมื่อเปรียบเทียบทั้งสองแบบซึ่งทำให้เห็นว่าท่อความร้อนแบบสันวงรอบจะมีการถ่ายเทความร้อนที่ดีกว่าแบบปลายปิดเนื่องจากแบบวงรอบนั้นมีการไหลของสารทำงานซึ่งช่วยในการถ่ายเทความร้อนด้วย

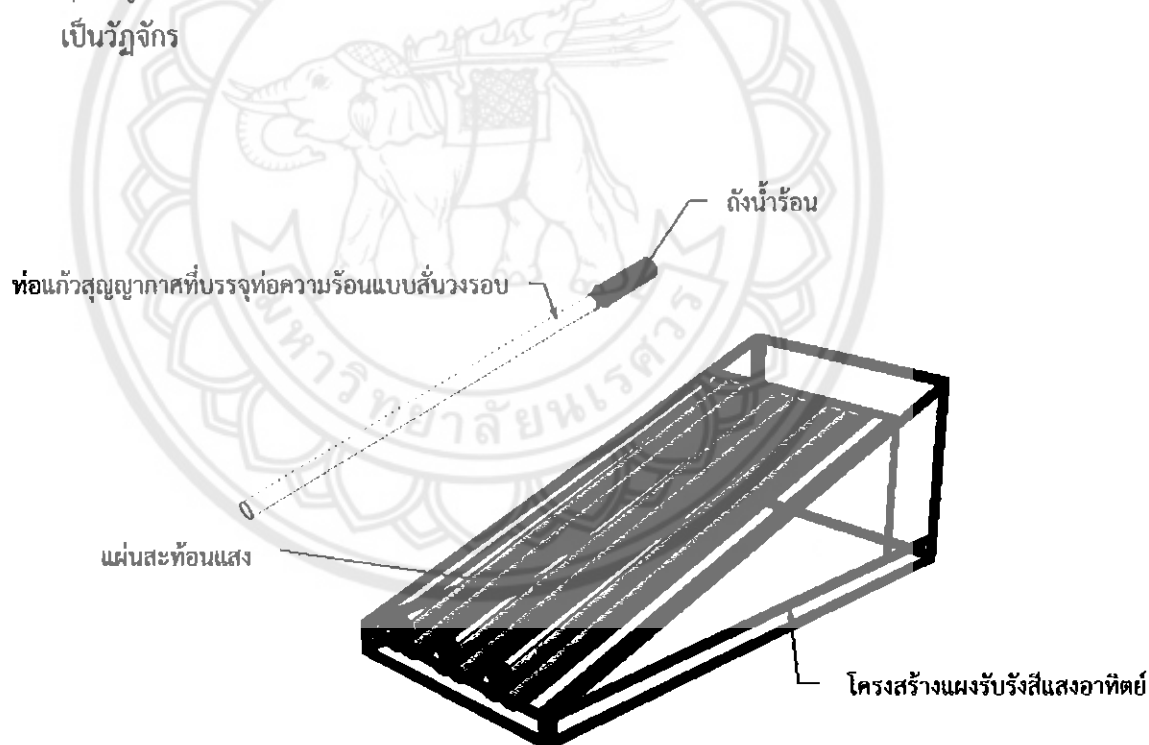


บทที่ 3

วิธีดำเนินการทดลอง

3.1 ลักษณะและการทำงานของเครื่องทำน้ำร้อนพลังงานแสงอาทิตย์

การออกแบบเครื่องทำน้ำร้อนพลังงานแสงอาทิตย์แบบท่อแก้วสูญญากาศนิดท่อความร้อนมีลักษณะดังรูปที่ 3.1 โดยมีอุปกรณ์ต่างๆ คือ ถังน้ำร้อน ท่อแก้วสูญญากาศที่ภายในบรรจุท่อความร้อนแบบสั่นง่วงรอบ แผ่นสะท้อนแสง และโครงสร้างฐานแผงรับรังสีแสงอาทิตย์ เมื่อแสงจากดวงอาทิตย์ตกกระทบ และสะท้อนจากแผ่นสะท้อนแสงผ่านท่อแก้วสูญญากาศ ผ่านเข้าสู่พื้นผิวดูดซับแสงอาทิตย์ จากนั้นความร้อนจะถูกส่งผ่านสู่ห้องความร้อนในส่วนที่ระเหย และส่งความร้อนไปสู่ส่วนควบแน่นเพื่อถ่ายเทความร้อนสู่น้ำที่ในถังผ่านในถังน้ำร้อน ทำให้สามารถภายนอกท่อความร้อนมีอุณหภูมิลดลงและเกิดการควบแน่น และไอลกกลับไปยังส่วนที่ระเหยเพื่อไปรับความร้อนอีกครั้ง เป็นวัฏจักร



รูปที่ 3.1 เครื่องทำน้ำร้อนพลังงานแสงอาทิตย์แบบท่อแก้วสูญญากาศนิดท่อความร้อนแบบสั่นง่วงรอบ

3.2 ตัวแปรที่มีผลต่อการศึกษา

ในการทดสอบเครื่องทำน้ำร้อนพลังงานแสงอาทิตย์แบบท่อแก้วสูญญากาศที่ภายในบรรจุห้องความร้อนแบบสันนิวงศ์รอบ มีวัตถุประสงค์เพื่อศึกษาตัวแปรควบคุม ดังตารางที่ 3.1 และตัวแปรที่ต้องการศึกษา ดังตารางที่ 3.2 และทำการวิเคราะห์หาผลของตัวแปรเหล่านี้ที่มีผลต่อสมรรถนะการทำงานของเครื่องทำน้ำร้อนพลังงานแสงอาทิตย์

ตารางที่ 3.1 ตัวแปรควบคุม

ตัวแปรที่ควบคุม	ขนาด
1. ท่อแก้วสูญญากาศ <ul style="list-style-type: none"> - เส้นผ่าศูนย์กลางภายนอก - เส้นผ่าศูนย์กลางภายใน - ความยาว 	0.058 m 0.047 m 1.5 m
2. ห้องคงที่ใช้ทำห้องความร้อนแบบสันนิวงศ์รอบ <ul style="list-style-type: none"> - เส้นผ่าศูนย์กลางภายนอก - เส้นผ่าศูนย์กลางภายใน 	0.0024 m 0.0016 m
3. อัตราส่วนการเติมสารทำงาน R-134a	50%
4. ความยาวส่วนทำระเหย	1.5 m
5. ความยาวส่วนที่ไม่มีการสูญเสียความร้อน	0.055 m
6. อัตราการไหล	0.1 L/min
7. ค่าความเข้มแสงบริเวณอาคารปฏิบัติการวิศวกรรมเครื่องกล คณะวิศวกรรมศาสตร์ มหาวิทยาลัยนเรศวร จังหวัดพิษณุโลก	ณ เวลาทำการทดลอง (W/m ²)

ตารางที่ 3.2 ตัวแปรที่ต้องการศึกษา

ตัวแปรที่ต้องการศึกษา	ขนาด
ห้องความร้อนแบบสันนิวงศ์รอบนี้ <ul style="list-style-type: none"> - จำนวนడิจ์เลี้ย (n) - ความยาวส่วนควบแน่น (L) 	5, 10 และ 15 డิจ์เลี้ย 0.05, 0.15 และ 0.25 m

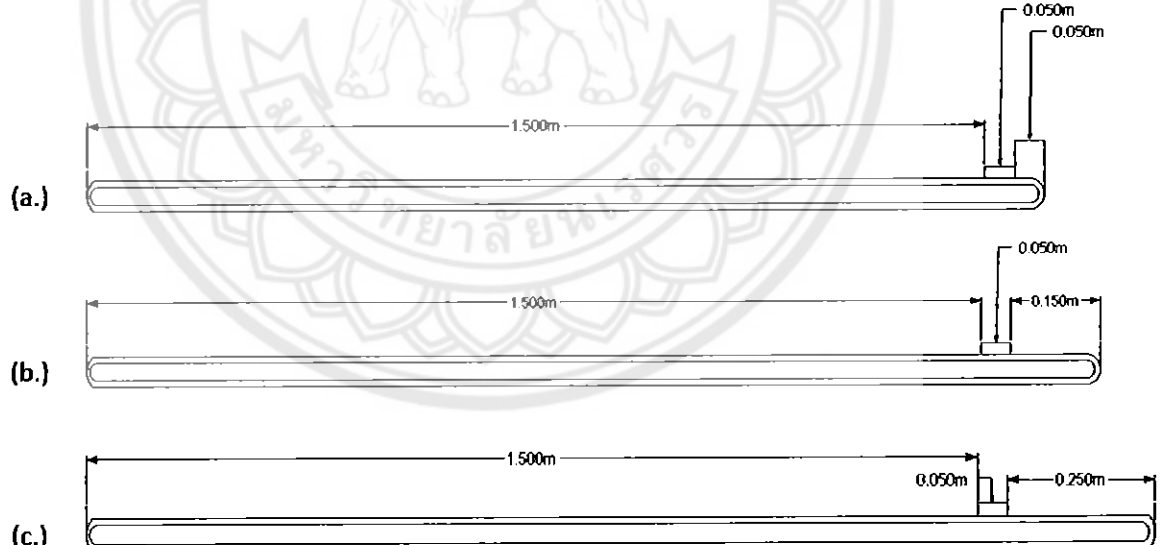
3.3 การตั้งสมมติฐาน

- 3.3.1 สมบัติของสารทำงานและวัสดุมีค่าคงที่
- 3.3.2 ขณะทำการทดลองมีแสงอาทิตย์ตกกระทบแผงรับแสงอาทิตย์スマ่ำเสมอ
- 3.3.3 ไม่มีการสูญเสียความร้อนจากส่วนที่ไม่มีการถ่ายเทความร้อนของห้องความร้อน
- 3.3.4 การติดตั้งเครื่องทำน้ำร้อนพลังงานแสงอาทิตย์ โดยแผงรับรังสีแสงอาทิตย์วางมุม 16 องศา กับแนวระนาบโดยให้ด้านหน้าของแผงรับแสงอาทิตย์หันไปทางทิศใต้ เนื่องจากประเทศไทยเป็นประเทศที่อยู่ทางซีกโลกเหนือทำให้แสงแดดจะส่องโดนหลังคาทางทิศใต้ตลอดทั้งปี

3.4 การออกแบบ

3.4.1 ออกแบบห้องร้อนแบบสันวงรอบ

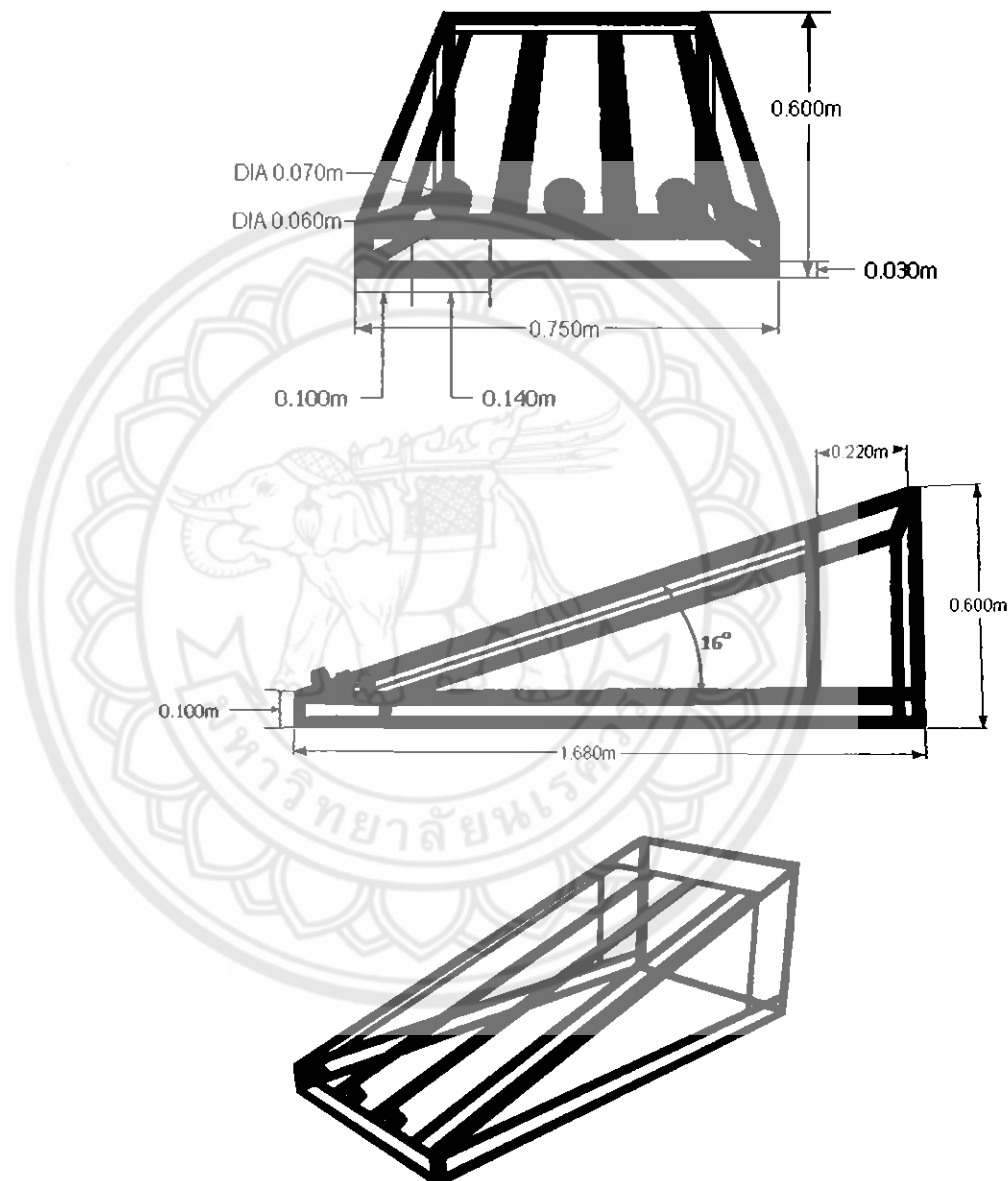
ห้องร้อนแบบสันวงรอบทำจากห้องแดงขนาดค่าปีลารี ทันการกัดกร่อนไม่เป็นสนิมและระบายน้ำร้อนได้ดี ในการออกแบบห้อง ใช้ห้องแดง 1 เส้นซึ่งมีเส้นผ่านศูนย์กลางภายใน 0.0016 m และเส้นผ่านศูนย์กลางภายนอก 0.0024 m จากนั้นนำมาขดไปมาจนได้จำนวนโค้งเดียวที่ต้องการ ซึ่งมีส่วนควบแน่นแทรกต่างกัน ดังรูป 3.2



รูปที่ 3.2 ห้องร้อนแบบสันวงรอบ (a.) ความยาวส่วนควบแน่น 0.05 m (b.) ความยาวส่วนควบแน่น 0.15 m (c.) ความยาวส่วนควบแน่น 0.25 m

3.4.2 การออกแบบโครงสร้างของแผงรับรังสีแสงอาทิตย์

การออกแบบโครงสร้างของแผงรับรังสีทำมุนเอียง 16 องศา กับแนวระดับ เพื่อให้สัมพันธ์กับมุนการรับแสงอาทิตย์ของจังหวัดพิษณุโลก กำหนดให้มีขนาดความกว้าง 0.75 m ยาว 1.68 m สูง 0.6 m เพื่อรองรับกับแผงรับรังสีแสงอาทิตย์และถังน้ำร้อน ดังรูป 3.3



รูปที่ 3.3 ภาพถ่ายของโครงสร้างของแผงรับรังสีแสงอาทิตย์

- 3.4.3 การออกแบบแผ่นสะท้อน แผ่นสะท้อนแสงออกแบบตามทฤษฎีทอม - มิเนล
- 3.4.4 การออกแบบถังน้ำร้อนชุดทดลองจำนวนโค้งเลี้ยว ถังน้ำร้อนมีขนาดความจุ 0.36 L มีเส้นผ่าศูนย์กลางภายใน 0.043 m ความยาว 0.25 m
- 3.4.5 การออกแบบถังน้ำร้อนชุดทดลองความยาวส่วนควบคุม ถังน้ำร้อนมีเส้นผ่าศูนย์กลางภายใน 0.043 m มีความจุ 0.36 L, 0.22 L และ 0.07 L ความยาว 0.25 m, 0.15 m และ 0.05 m ตามลำดับ

3.5 การสร้างเครื่องทำน้ำร้อนพลังงานแสงอาทิตย์

ขั้นตอนในการสร้างเครื่องทำน้ำร้อนพลังงานแสงอาทิตย์

3.5.1 การสร้างท่อแก้วสูญญากาศจำนวน 3 ห้อที่มีห่อความร้อนแบบสันวงรอบบรรจุไวนิโอด้วยมีจำนวนโค้งเลี้ยว 5, 10 และ 15

3.5.1.1 เลือกห่อหงอกดังที่มีขนาดเส้นผ่าศูนย์กลางภายในออก 0.0024 m สำหรับทำห่อความร้อนแบบสันวงรอบ

3.5.1.2 ทำการขาดห่อหงอกดังจำนวน 5, 10 และ 15 โค้งเลี้ยว โดยมีความยาวรวมของส่วนทำระ夷 ส่วนที่ไม่มีการสูญเสียความร้อน และส่วนควบคุม 1.8 m

3.5.1.3 ทำการเชื่อมห่อหงอกดังเข้าเป็นวงรอบและต่อปลายห่ออ กมาเพื่อใช้ในการเติมสารทำความเย็น R-134a

3.5.1.4 ทำให้ห่อความร้อนแบบสันวงรอบเป็นสูญญากาศแล้วเติมสารทำงาน R-134a เข้าไปในห่อความร้อนแบบสันวงรอบ โดยการนำห่อความร้อนแบบสันวงรอบมาลดอุณหภูมิตัวยาน้ำแข็งเพื่อให้ความดันลดแล้วทำการเติมสารทำงาน R-134a โดยเติมสารทำงานจำนวน 27 g, 55 g และ 83 g ลงในห่อความร้อนแบบสันวงรอบ 5, 10 และ 15 โค้งเลี้ยว ตามลำดับ

3.5.1.5 นำห่อความร้อนแบบสันวงรอบห้อง 3 โค้งเลี้ยวประกอบเข้าไปในห่อแก้วสูญญากาศและปิดช่องว่างด้วยซิลิโคน

3.5.3.1 นำห่อแก้วสูญญากาศที่มีห่อความร้อนแบบสันวงรอบบรรจุอยู่ภายในยึดกับถังน้ำร้อนในส่วนควบคุม ชึงถังน้ำมีขนาดความยาว 0.25 m

3.5.2 การสร้างห่อแก้วสูญญากาศจำนวน 3 ห้อที่มีห่อความร้อนแบบสันวงรอบบรรจุไวนิโอด้วยมีความยาวส่วนควบคุม 0.05, 0.15 และ 0.25 m

3.5.2.1 เลือกห่อหงอกดังที่มีขนาดเส้นผ่าศูนย์กลางภายในออก 0.0024 m สำหรับทำห่อความร้อนแบบสันวงรอบ

3.5.2.2 ทำการขาดห่อหงอกดังจำนวน 15 โค้งเลี้ยว โดยมีความยาวรวมส่วนทำระ夷 ส่วนที่ไม่มีการสูญเสียความร้อน และส่วนควบคุม 1.6, 1.7 และ 1.8 m

3.5.2.3 ทำการเชื่อมท่อทองแดงเข้าเป็นวงรอบและต่อปลายท่ออกรถเพื่อใช้ในการเติมสารทำความสะอาดเย็น R-134a

3.5.2.4 ทำให้ท่อความร้อนแบบสั่นง่วงรอบเป็นสุญญาการแล้วเติมสารทำงาน R-134a เข้าไปในท่อความร้อนแบบสั่นง่วงรอบ โดยการนำท่อความร้อนแบบสั่นง่วงรอบมาลดอุณหภูมิตัวยึดน้ำแข็งเพื่อให้ความดันลดแล้วทำการเติมสารทำงาน R-134a โดยเติมสารทำงานจำนวน 74 g, 78 g และ 83 g ลงในท่อความร้อนแบบสั่นง่วงรอบที่มีความยาว 1.6, 1.7 และ 1.8 m ตามลำดับ

3.5.2.5 นำท่อความร้อนแบบสั่นง่วงรอบในระยะทั้ง 3 ประกอบเข้าไปในท่อแก้วสุญญาการและปิดช่องว่างด้วยชิลลิโคน

3.5.2.6 นำท่อแก้วสุญญาการที่มีท่อความร้อนแบบสั่นง่วงรอบบรรจุอยู่ภายในยึดกับถังน้ำร้อนในส่วนควบแน่น ซึ่งถังน้ำร้อนมีความยาว 0.05, 0.15 และ 0.25 m

3.5.3 สร้างแผ่นสะท้อนแสงอาทิตย์

3.5.3.1 ตัดแผ่นอะลูมิเนียมขนาดกว้าง 0.3 m ยาว 1.5 m

3.5.3.2 ตัดแผ่นอะลูมิเนียมให้โค้งตามรูปทรงของท่อแก้วสุญญาการ

3.5.3.3 ติดตั้งแผ่นอะลูมิเนียมบริเวณด้านล่างท่อแก้วสุญญาการ

3.5.4 การสร้างถังน้ำร้อน

3.5.4.1 นำท่อพีวีซีขนาดเส้นผ่าศูนย์กลางภายนอก 0.048 m พร้อมฝาครอบทั้งสองด้านโดยมีความยาว 0.05, 0.15 และ 0.25 m จากนั้นเจาะรูด้านหนึ่งเพื่อใส่ท่อความร้อนแบบสั่นง่วง และปิดช่องว่างด้วยชิลลิโคน

3.5.4.2 เจาะรูด้านข้างของถังน้ำเป็นช่องสำหรับน้ำไหลเข้าและไหลออก

3.5.5 การสร้างโครงฐานของตัวแปรรับสีแสงอาทิตย์

3.5.5.1 เลือกท่อพีวีซีขนาด 0.0254 m เพื่อสร้างโครงฐานของตัวรับสีแสงอาทิตย์ และทำการเชื่อมต่อท่อพีวีซีเป็นโครงฐานสำหรับแปรรับสีแสงอาทิตย์และถังน้ำร้อน

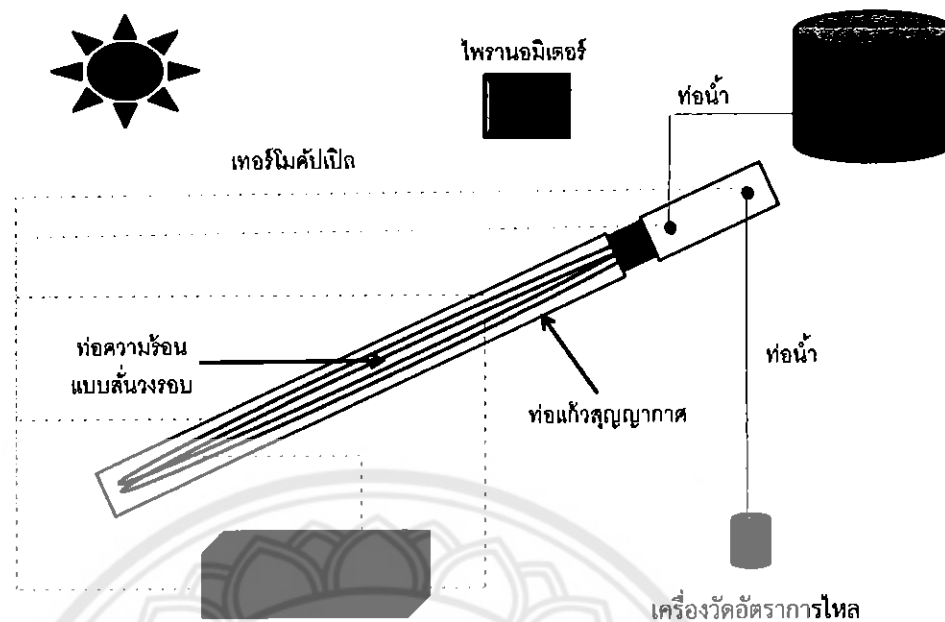
3.5.6 การประกอบเครื่องทำน้ำร้อน

3.5.6.1 ยึดแผ่นอะลูมิเนียมติดกับโครงฐานให้แน่น

3.5.6.2 นำท่อแก้วสุญญาการที่มีท่อความร้อนแบบสั่นง่วงรอบบรรจุอยู่มาติดตั้งโดยให้ส่วนทำระ夷อยู่เหนือแผ่นอะลูมิเนียม จากนั้นยึดท่อแก้วสุญญาการที่มีท่อความร้อนแบบสั่นง่วงรอบบรรจุอยู่ติดกับโครงฐานให้แน่น

3.5.6.3 ทำการทุบจนวนในส่วนที่ไม่มีการสูญเสียความร้อนด้วยชิลลิโคน

3.5.6.4 ทำการทุบจนวนถังน้ำร้อนโดยใช้จนวนไนเก็ฟและฟอยส์อะลูมิเนียม



รูปที่ 3.4 แผนผังการทดลองเครื่องทำน้ำร้อนพลังงานแสงอาทิตย์แบบท่อแก๊สสูญญากาศที่ภายในบรรจุห้องความร้อนแบบสันนงอน

3.6 การดำเนินการทดลอง

การดำเนินการทดลองเครื่องทำน้ำร้อนพลังงานแสงอาทิตย์ประกอบด้วย อุปกรณ์ที่ใช้ในการทดลอง คือเครื่องทำน้ำร้อนพลังงานแสงอาทิตย์แบบท่อแก๊สสูญญากาศที่ใช้ห้องความร้อนแบบสันนงอนrob เครื่องบันทึกอุณหภูมิ สายเทอร์โมคัปเปิล เครื่องวัดรังสีแสงอาทิตย์ บีกเกอร์ และถังน้ำ ซึ่งมี แผนผังการทดลองดังรูปที่ 3.4 โดยทำการวัดอุณหภูมิของ ส่วนที่ระบายน้ำ ส่วนควบแน่น ผิวห้องแก๊สสูญญากาศชั้นนอก ทางน้ำเข้าและออก อุณหภูมิสภาพแวดล้อมโดยใช้เทอร์โมคัปเปิล (Thermocouple) Type K ในการวัดและใช้เครื่องบันทึกอุณหภูมิ (Data Logger) ในการแปลงผลอุณหภูมิจากสายเทอร์โมคัปเปิลและบันทึกข้อมูลและทำการวัดค่าความเข้มแสงอาทิตย์โดยใช้ไฟรานอเมเตอร์ (Pyranometer) ซึ่งติดกับเครื่องทำน้ำร้อนพลังงานแสงอาทิตย์ และวัดอัตราการไหลของน้ำด้วยบีกเกอร์ (Beaker) เพียบกับการจับเวลาการไหลของน้ำ เพื่อให้มีอัตราการไหล 0.1 L/min

3.6.1 อุปกรณ์ที่ใช้ในการทดลอง

3.6.1.1 ไฟรานอเมเตอร์ (Pyranometer) ดังรูป 3.5 ใช้สำหรับวัดค่าความเข้มรังสีแสงอาทิตย์ ยี่ห้อ Kipp & Zonen รุ่น SP Lite 2 สามารถวัดค่าความเข้มแสงได้ตั้งแต่ $0 - 2000 \text{ W/m}^2$ โดยมีความคลาดเคลื่อน 2%

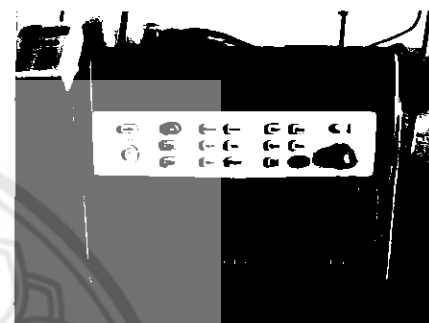
3.6.1.2 เครื่องบันทึกอุณหภูมิ (Data Logger) ดังรูป 3.6 ยี่ห้อ Agilent รุ่น 34907 ใช้ในการบันทึกอุณหภูมิ ความผิดพลาดอยู่ในช่วง 0.004% ถึง 0.006%

3.6.1.3 เทอร์โมคัปเปิล (Thermocouple) ดังรูป 3.7 ยี่ห้อ Omega ที่ใช้ในการทดลองเป็นชนิด K สามารถวัดอุณหภูมิในช่วง -200 ถึง $1350^{\circ}\text{C} \pm 1^{\circ}\text{C}$

3.6.1.4 นาฬิกาจับเวลา (Stopwatch)

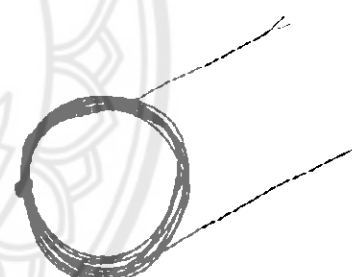
3.6.1.5 บีกเกอร์ (Beaker) ขนาด 1 L

3.6.1.6 เครื่องทำน้ำร้อนพลังงานแสงอาทิตย์ประกอบด้วย ท่อแก้วสูญญากาศจำนวน 3 ท่อ ดังรูป 3.8



รูปที่ 3.5 ไบรานอ米เตอร์ [10]

รูปที่ 3.6 เครื่องบันทึกอุณหภูมิ [11]



รูปที่ 3.7 สายเทอร์โมคัปเปิล [12]



(a.)

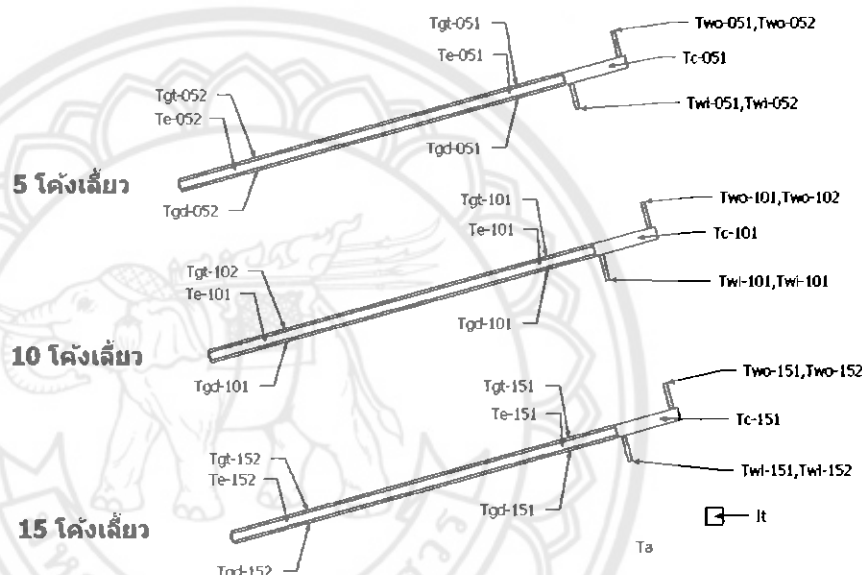


(b.)

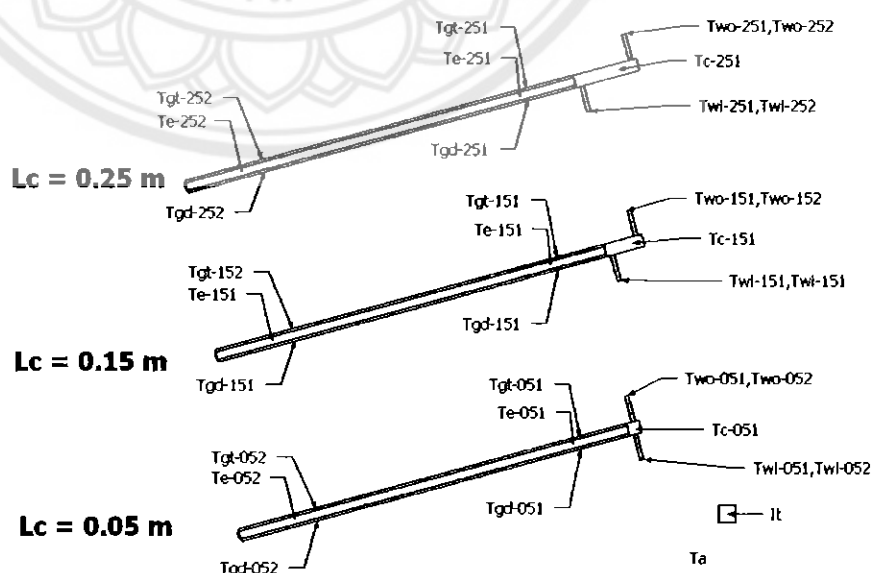
รูปที่ 3.8 เครื่องทำน้ำร้อนพลังงานแสงอาทิตย์แบบท่อแก้วสูญญากาศ (a.) ทดลองจำนวนโถสี่
เลี้ยว (b.) ทดลองความยาวส่วนควบแน่น

3.6.2 ขั้นตอนการทดลอง

สำหรับเครื่องที่นำร้อนพลังงานแสงอาทิตย์แบบท่อแก้วสูญญากาศชนิดท่อความร้อนแบบสันวงรอบที่สร้างเสร็จเรียบร้อยจะนำมาเก็บข้อมูลต่างๆ โดยจะเก็บข้อมูลที่จำเป็นสำหรับการคำนวณหาอัตราการถ่ายเทความร้อนและประสิทธิภาพของเครื่องที่นำร้อนพลังงานแสงอาทิตย์ ดังรูปที่ 3.9 ซึ่งได้แก่ อุณหภูมิน้ำที่ทางเข้า อุณหภูมิน้ำที่ทางออก ค่าความเข้มรังสีแสงอาทิตย์ อุณหภูมิที่ส่วนทำร้าว เอียง อุณหภูมิที่ส่วนควบแน่น อุณหภูมิที่ผิวท่อแก้วสูญญากาศ อุณหภูมิอากาศโดยรอบ อัตราการไหล และค่าความเข้มแสงอาทิตย์ โดยจะเก็บข้อมูลทุกๆ 30 นาที ตั้งแต่เวลา 9.00 น. ถึง 16.00 น.



(a.) การวัดข้อมูลที่ดำเนินการต่างๆ ของการทดลองจำนวนห้องเลี้ยง



(b.) การวัดข้อมูลที่ดำเนินการต่างๆ ของการทดลองความเยาว์ส่วนควบแน่น
รูปที่ 3.9 การวัดข้อมูลที่ดำเนินการต่างๆ

การทดลอง ชุดที่ 1

ตัวแปรการทดลองจำนวนโถงเลี้ยว ชุดท่อความร้อนแบบสั่นง่วงรอบ 5 โถงเลี้ยว ดังรูป 3.9a

T_{E-051}, T_{E-052} คือ อุณหภูมิส่วนทำร้ายของท่อความร้อนแบบสั่นง่วงรอบ, ($^{\circ}\text{C}$)

T_{C-051} คือ อุณหภูมิส่วนควบแน่นของท่อความร้อนแบบสั่นง่วงรอบ, ($^{\circ}\text{C}$)

T_{Wl-051}, T_{Wl-052} คือ อุณหภูมน้ำชาเข้าส่วนควบแน่น, ($^{\circ}\text{C}$)

T_{WO-051}, T_{WO-052} คือ อุณหภูมน้ำชาออกส่วนควบแน่น, ($^{\circ}\text{C}$)

T_{GT-051} คือ อุณหภูมิผิวท่อแก้วสุญญากาศด้านนอก ด้านบน (ส่วนบน), ($^{\circ}\text{C}$)

T_{GD-051} คือ อุณหภูมิผิวท่อแก้วสุญญากาศด้านนอก ด้านบน (ส่วนล่าง), ($^{\circ}\text{C}$)

T_{GT-052} คือ อุณหภูมิผิวท่อแก้วสุญญากาศด้านนอก ด้านล่าง (ส่วนบน), ($^{\circ}\text{C}$)

T_{GD-052} คือ อุณหภูมิผิวท่อแก้วสุญญากาศด้านนอก ด้านล่าง (ส่วนล่าง), ($^{\circ}\text{C}$)

ตัวแปรการทดลองจำนวนโถงเลี้ยว ชุดท่อความร้อนแบบสั่นง่วงรอบ 10 โถงเลี้ยว ดังรูป 3.9a

T_{E-101}, T_{E-102} คือ อุณหภูมิส่วนทำร้ายของท่อความร้อนแบบสั่นง่วงรอบ, ($^{\circ}\text{C}$)

T_{C-101} คือ อุณหภูมิส่วนควบแน่นของท่อความร้อนแบบสั่นง่วงรอบ, ($^{\circ}\text{C}$)

T_{Wl-101}, T_{Wl-102} คือ อุณหภูมน้ำชาเข้าส่วนควบแน่น, ($^{\circ}\text{C}$)

T_{WO-101}, T_{WO-102} คือ อุณหภูมน้ำชาออกส่วนควบแน่น, ($^{\circ}\text{C}$)

T_{GT-101} คือ อุณหภูมิผิวท่อแก้วสุญญากาศด้านนอก ด้านบน (ส่วนบน), ($^{\circ}\text{C}$)

T_{GD-101} คือ อุณหภูมิผิวท่อแก้วสุญญากาศด้านนอก ด้านบน (ส่วนล่าง), ($^{\circ}\text{C}$)

T_{GT-102} คือ อุณหภูมิผิวท่อแก้วสุญญากาศด้านนอก ด้านล่าง (ส่วนบน), ($^{\circ}\text{C}$)

T_{GD-102} คือ อุณหภูมิผิวท่อแก้วสุญญากาศด้านนอก ด้านล่าง (ส่วนล่าง), ($^{\circ}\text{C}$)

ตัวแปรการทดลองจำนวนโถงเลี้ยว ชุดท่อความร้อนแบบสั่นง่วงรอบ 15 โถงเลี้ยว ดังรูป 3.9a

T_{E-151}, T_{E-152} คือ อุณหภูมิส่วนทำร้ายของท่อความร้อนแบบสั่นง่วงรอบ, ($^{\circ}\text{C}$)

T_{C-151} คือ อุณหภูมิส่วนควบแน่นของท่อความร้อนแบบสั่นง่วงรอบ, ($^{\circ}\text{C}$)

T_{Wl-151}, T_{Wl-152} คือ อุณหภูมน้ำชาเข้าส่วนควบแน่น, ($^{\circ}\text{C}$)

T_{WO-151}, T_{WO-152} คือ อุณหภูมน้ำชาออกส่วนควบแน่น, ($^{\circ}\text{C}$)

T_{GT-151} คือ อุณหภูมิผิวท่อแก้วสุญญากาศด้านนอก ด้านบน (ส่วนบน), ($^{\circ}\text{C}$)

T_{GD-151} คือ อุณหภูมิผิวท่อแก้วสุญญากาศด้านนอก ด้านบน (ส่วนล่าง), ($^{\circ}\text{C}$)

T_{GT-152} คือ อุณหภูมิผิวท่อแก้วสุญญากาศด้านนอก ด้านล่าง (ส่วนบน), ($^{\circ}\text{C}$)

T_{GD-152} คือ อุณหภูมิผิวท่อแก้วสุญญากาศด้านนอก ด้านล่าง (ส่วนล่าง), ($^{\circ}\text{C}$)

T_a คือ อุณหภูมิอากาศโดยรอบ, ($^{\circ}\text{C}$)

I_t ค่าความเข้มแสงอาทิตย์ (W/m^2)

\dot{m} อัตราการไหลของน้ำ (L/min)

การทดลอง ชุดที่ 2

ตัวแปรการทดลองท่อความร้อนแบบสันวงรอบ 15 โถงเลี้ยว L_c 0.05 m ดังรูป 3.9b

T_{E-051}, T_{E-052} คือ อุณหภูมิส่วนทำรำ夷ของท่อความร้อนแบบสันวงรอบ, ($^{\circ}\text{C}$)

T_{C-051} คือ อุณหภูมิส่วนควบแน่นของท่อความร้อนแบบสันวงรอบ, ($^{\circ}\text{C}$)

T_{Wl-051}, T_{Wl-052} คือ อุณหภูมน้ำชาเข้าส่วนควบแน่น, ($^{\circ}\text{C}$)

T_{Wo-051}, T_{Wo-052} คือ อุณหภูมน้ำชาออกส่วนควบแน่น, ($^{\circ}\text{C}$)

T_{GT-051} คือ อุณหภูมิผิวท่อแก้วสุญญากาศด้านนอก ด้านบน (ส่วนบน), ($^{\circ}\text{C}$)

T_{GD-051} คือ อุณหภูมิผิวท่อแก้วสุญญากาศด้านนอก ด้านบน (ส่วนล่าง), ($^{\circ}\text{C}$)

T_{GT-052} คือ อุณหภูมิผิวท่อแก้วสุญญากาศด้านนอก ด้านล่าง (ส่วนบน), ($^{\circ}\text{C}$)

T_{GD-052} คือ อุณหภูมิผิวท่อแก้วสุญญากาศด้านนอก ด้านล่าง (ส่วนล่าง), ($^{\circ}\text{C}$)

ตัวแปรการทดลองท่อความร้อนแบบสันวงรอบ 15 โถงเลี้ยว L_c 0.15 m ดังรูป 3.9b

T_{E-151}, T_{E-152} คือ อุณหภูมิส่วนทำรำ夷ของท่อความร้อนแบบสันวงรอบ, ($^{\circ}\text{C}$)

T_{C-151} คือ อุณหภูมิส่วนควบแน่นของท่อความร้อนแบบสันวงรอบ, ($^{\circ}\text{C}$)

T_{Wl-151}, T_{Wl-152} คือ อุณหภูมน้ำชาเข้าส่วนควบแน่น, ($^{\circ}\text{C}$)

T_{Wo-151}, T_{Wo-152} คือ อุณหภูมน้ำชาออกส่วนควบแน่น, ($^{\circ}\text{C}$)

T_{GT-151} คือ อุณหภูมิผิวท่อแก้วสุญญากาศด้านนอก ด้านบน (ส่วนบน), ($^{\circ}\text{C}$)

T_{GD-151} คือ อุณหภูมิผิวท่อแก้วสุญญากาศด้านนอก ด้านบน (ส่วนล่าง), ($^{\circ}\text{C}$)

T_{GT-152} คือ อุณหภูมิผิวท่อแก้วสุญญากาศด้านนอก ด้านล่าง (ส่วนบน), ($^{\circ}\text{C}$)

T_{GD-152} คือ อุณหภูมิผิวท่อแก้วสุญญากาศด้านนอก ด้านล่าง (ส่วนล่าง), ($^{\circ}\text{C}$)

ตัวแปรการทดลองท่อความร้อนแบบสันวงรอบ 15 โถงเลี้ยว L_c 0.25 m ดังรูป 3.9b

T_{E-251}, T_{E-252} คือ อุณหภูมิส่วนทำรำ夷ของท่อความร้อนแบบสันวงรอบ, ($^{\circ}\text{C}$)

T_{C-251} คือ อุณหภูมิส่วนควบแน่นของท่อความร้อนแบบสันวงรอบ, ($^{\circ}\text{C}$)

T_{Wl-251}, T_{Wl-252} คือ อุณหภูมน้ำชาเข้าส่วนควบแน่น, ($^{\circ}\text{C}$)

T_{Wo-251}, T_{Wo-252} คือ อุณหภูมน้ำชาออกส่วนควบแน่น, ($^{\circ}\text{C}$)

T_{GT-251} คือ อุณหภูมิผิวท่อแก้วสุญญากาศด้านนอก ด้านบน (ส่วนบน), ($^{\circ}\text{C}$)

T_{GD-251} คือ อุณหภูมิผิวท่อแก้วสุญญากาศด้านนอก ด้านบน (ส่วนล่าง), ($^{\circ}\text{C}$)

T_{GT-252} คือ อุณหภูมิผิวท่อแก้วสุญญากาศด้านนอก ด้านล่าง (ส่วนบน), ($^{\circ}\text{C}$)

T_{GD-252} คือ อุณหภูมิผิวท่อแก้วสุญญากาศด้านนอก ด้านล่าง (ส่วนล่าง), ($^{\circ}\text{C}$)

T_a คือ อุณหภูมิอากาศโดยรอบ, ($^{\circ}\text{C}$)

I_t คือ ค่าความเข้มแสงอาทิตย์ (W/m^2)

\dot{m} คือ อัตราการไหลของน้ำ (L/min)

ขั้นตอนการทดลองเครื่องทำน้ำร้อนพลังงานแสงอาทิตย์มีรายละเอียดดังนี้

3.6.2.1 ติดตั้งเครื่องทำน้ำร้อนพลังงานแสงอาทิตย์ ณ อาคารปฏิบัติการ วิศวกรรมเครื่องกลโดยจัดให้อยู่บริเวณที่โล่งไม่มีเงาบัง โดยหันหน้าแหงรับรังสี แสงอาทิตย์ไปทางทิศใต้

3.6.2.2 ติดตั้งอุปกรณ์วัดอุณหภูมิโดยใช้สายเทอร์โมคัปเปิล Type K เป็นตัววัด อุณหภูมิโดยต่อเข้ากับเครื่องบันทึกอุณหภูมิ โดยเครื่องบันทึกอุณหภูมิจะวัดอุณหภูมิ ตามจุดต่างๆ ที่ติดตั้งสายเทอร์โมคัปเปิลไว้ ในที่นี่กำหนดให้วัดอุณหภูมิตามจุด ต่างๆ ทุกๆ 30 นาที ตั้งแต่เวลา 09.00 – 16.00 น.

3.6.2.3 ติดตั้งเครื่องวัดรังสีแสงอาทิตย์ (ไฟранอมิเตอร์) เข้ากับเครื่องทำน้ำร้อน พลังงานแสงอาทิตย์โดยให้ตั้งจากกับแนวระดับ เก็บข้อมูลค่าความเข้มรังสี แสงอาทิตย์ทุกๆ 30 นาทีเพื่อเดียวกับเครื่องวัดอุณหภูมิ

3.6.2.4 ติดตั้งวาร์นเนอร์เข้ากับตันน้ำร้อนเพื่อปรับวัดอัตราการไหลของน้ำเทียบกับ เวลาโดยใช้บีกเกอร์และนาฬิกาจับเวลาตามที่กำหนด และอย่าตรวจอัตราการไหล ของน้ำ

3.6.2.5 เริ่มทำการเก็บข้อมูลโดยเริ่มตั้งแต่เวลา 9.00 น. ถึง 16.00 น.

3.6.2.6 ทำการบันทึกข้อมูลของอุณหภูมิตามจุดต่างๆ จากเครื่องวัดอุณหภูมิ ค่า ความเข้มรังสีแสงอาทิตย์วัดได้จากเครื่องไฟранอมิเตอร์ ทุกๆ 30 นาที

3.6.2.7 ทำการเก็บข้อมูล 2 วัน/ชุดการทดลอง จากนั้นนำผลการทดลองที่ได้ไป วิเคราะห์หาอัตราความร้อนและประสิทธิภาพของเครื่องทำน้ำร้อนพลังงาน แสงอาทิตย์แบบท่อแก้วสูญญากาศชนิดท่อความร้อนแบบสันวงรอบต่อไป

3.6.3 ขั้นตอนการวิเคราะห์ผลการทดลอง

ขั้นตอนการนำผลการทดลองมาวิเคราะห์ เพื่อหาอัตราการถ่ายเทความร้อนและ ประสิทธิภาพของเครื่องทำน้ำร้อนพลังงานแสงอาทิตย์แบบท่อแก้วสูญญากาศ ประกอบด้วย ค่าความเข้มแสง ค่าอุณหภูมิของเครื่องทำน้ำร้อนพลังงานแสงอาทิตย์ตามจุดต่างๆ ค่าอัตรา การไหลของน้ำ ที่แสดงไว้ในขั้นตอนการทดลอง

3.6.3.1 นำข้อมูลที่ได้จากการบันทึกข้อมูลมาเขียนกราฟเพื่อวิเคราะห์ค่าความเข้ม แสงเทียบกับเวลา

3.6.3.2 คำนวณอัตราการถ่ายเทความร้อนของเครื่องทำน้ำร้อน เขียนกราฟแสดง อัตราการถ่ายเทความร้อนเทียบกับเวลา ณ จำนวนโถงเลี้ยวและความยาวส่วน ควบแน่นต่างๆ

3.6.3.3 คำนวณประสิทธิภาพของเครื่องทำน้ำร้อนพลังงานแสงอาทิตย์ และเขียน กราฟแสดงความสัมพันธ์ระหว่างประสิทธิภาพของเครื่องทำน้ำร้อนพลังงาน แสงอาทิตย์เทียบกับเวลา ณ จำนวนโถงเลี้ยวและความยาวส่วนควบแน่นต่างๆ

บทที่ 4

ผลการทดลองและวิเคราะห์ผลการทดลอง

การวิเคราะห์ผลการทดลองของเครื่องทำน้ำร้อนพลังงานแสงอาทิตย์ที่ใช้ห่อความร้อนแบบสันวงรอบนั้น ประกอบด้วยการเปรียบเทียบสมรรถนะการทำงานของห่อความร้อนแบบสันวงรอบโดยมีการปรับจำนวนโถงเลี้ยวของห่อความร้อนแบบสันวงรอบให้แตกต่างกันและทำการวิเคราะห์ผลจากนั้นได้ทำการเปรียบเทียบความยาวส่วนควบแน่นของห่อความร้อนแบบสันวงรอบเพื่อวิเคราะห์หาความยาวที่ดีที่สุดในการใช้งานและเพื่อให้ได้ประสิทธิภาพของเครื่องทำน้ำร้อนพลังงานแสงอาทิตย์สูงสุด

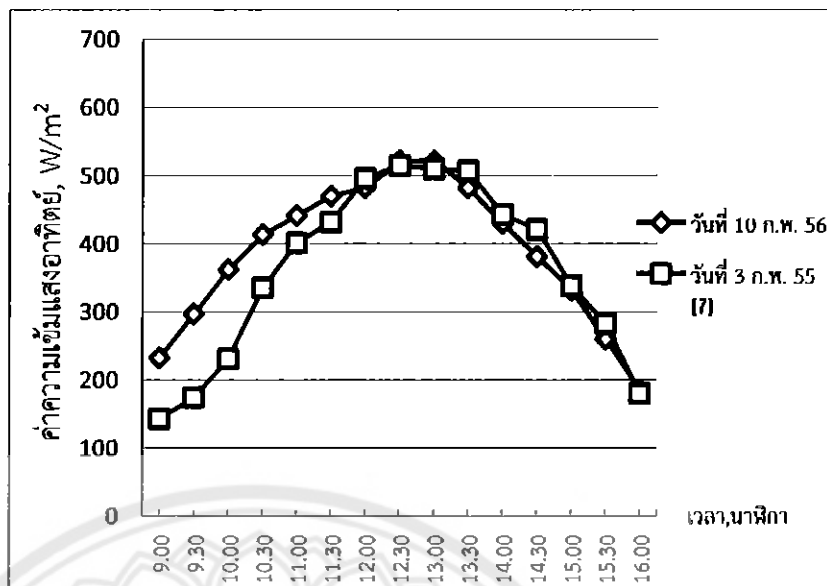
4.1 การทดลองชุดที่ 1

การทดลองห่อความร้อนแบบสันวงรอบที่มีจำนวนโถงเลี้ยว 5, 10 และ 15

การทดลองเครื่องทำน้ำร้อนพลังงานแสงอาทิตย์แบบห่อแก้วสุญญากาศที่ภายในบรรจุห่อความร้อนแบบสันที่มีจำนวนโถงเลี้ยว 5, 10 และ 15 ได้ทำการทดลองในวันที่มีห้องฟ้าไปริ่งใส่ตลอดทั้งวันโดยดูจากค่าความเข้มแสงที่วัดได้ดังแสดงในraphที่ 4.1 และวันที่ได้ทำการทดลองคือวันที่ 9 และ 10 กุมภาพันธ์ 2556 โดยทำการทดลอง 2 วัน เพื่อให้ได้ค่าที่แม่นยำและถูกต้อง ซึ่งทดลองในช่วงเวลา 09.00 น. – 16.00 น. โดยมีการหันเครื่องทำน้ำร้อนพลังงานแสงอาทิตย์ไปทางทิศใต้และมีอุณหภูมิอากาศ 16 ° กำลังแวดล้อม จากการทดลองพบว่าค่าในวันที่ 9 และ 10 กุมภาพันธ์ 2556 มีค่าใกล้เคียงกันและค่าต่างๆ มีแนวโน้มไปในทิศทางเดียวกัน จึงได้นำผลการทดลองของวันที่ 10 กุมภาพันธ์ 2556 มาแสดง เนื่องจากมีค่าความเข้มแสงอาทิตย์สูง จึงทำให้มีอุณหภูมน้ำข้าวออก อัตราการถ่ายเทความร้อน และประสิทธิภาพสูงกว่าวันที่ 9 กุมภาพันธ์ 2556 สำหรับผลของวันที่ 9 กุมภาพันธ์ 2556 แสดงไว้ในภาคผนวก ก และ ข

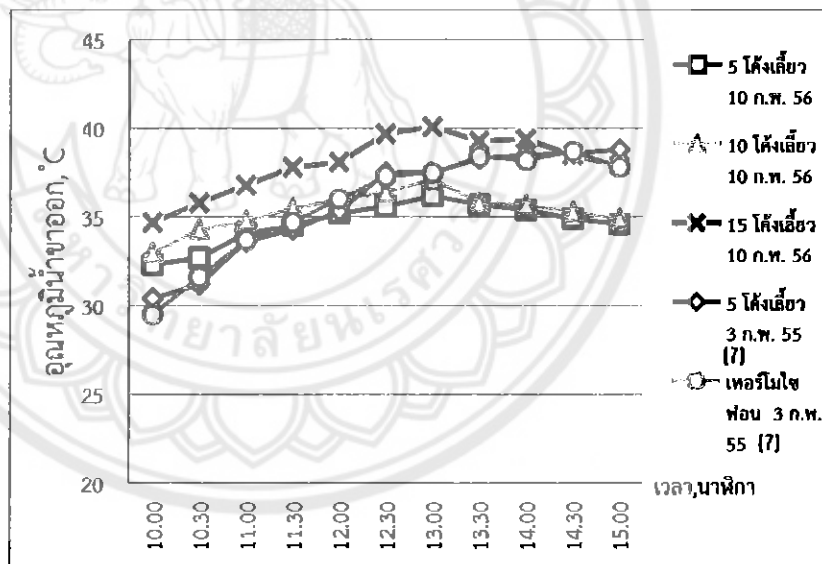
4.1.1 วิเคราะห์ค่าความเข้มแสงอาทิตย์

จากรaphที่ 4.1 มีลักษณะเป็นรูประฆังกว่า จะเห็นได้ว่าที่เวลา 09.00 น. มีค่าความเข้มแสงอาทิตย์ต่ำและเริ่มสูงขึ้นเรื่อยๆ จนกระทั่งเวลา 13.00 น. ค่าความเข้มแสงอาทิตย์จะสูงสุดที่ 521.7 W/m^2 และจะเริ่มลดลง เนื่องจากในเวลา 13.00 น. เป็นเวลาที่ดวงอาทิตย์ตั้งฉากกับพื้นที่ทำการทดลองมากที่สุด ทำให้สามารถแผ่รังสีให้กับบริเวณที่ทำการทดลองได้มากที่สุด จึงทำให้ค่าความเข้มแสงแสงอาทิตย์ ณ เวลาันนี้สูงที่สุด โดยเบรียบเทียบกับค่าความเข้มแสงอาทิตย์ของวันที่ 3 กุมภาพันธ์ 2555 ที่ได้ทำการศึกษาในปริญญาอนิพนธ์ก่อนหน้านี้ [7]



กราฟที่ 4.1 แสดงความสัมพันธ์ระหว่างค่ารังสีแสงอาทิตย์กับเวลา

4.1.2 การวิเคราะห์อุณหภูมน้ำข้าวอก

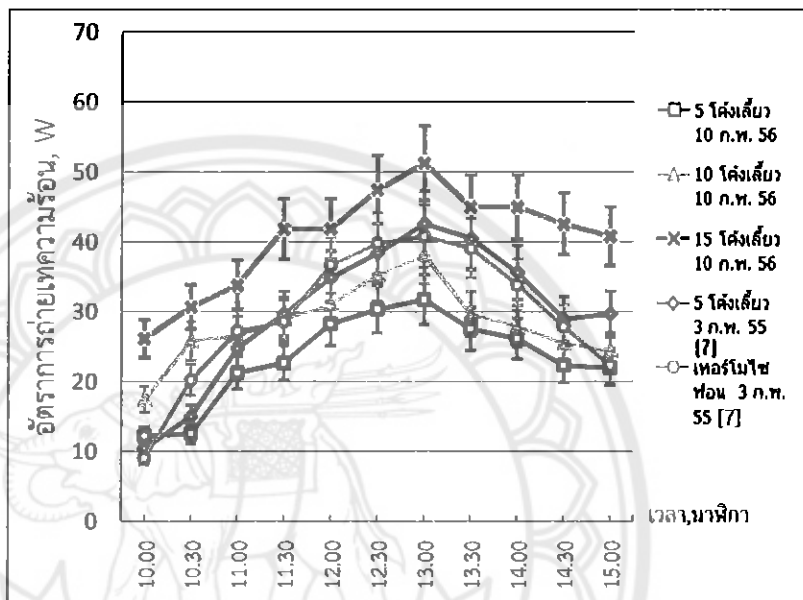


กราฟที่ 4.2 แสดงความสัมพันธ์ระหว่างอุณหภูมน้ำข้าวอกเทียบกับเวลา

กราฟที่ 4.2 เป็นกราฟแสดงความสัมพันธ์ระหว่างอุณหภูมน้ำข้าวอกเทียบกับเวลา โดยมีการแสดงเปรียบเทียบ 5 ชุดการทดลองคือ ท่อความร้อนแบบสันวงรอบ 5, 10 และ 15 โค้งเลี้ยว โดยทดลองในวันที่ 10 กุมภาพันธ์ 2556 และ ท่อความร้อนแบบสันวงรอบ 5 โค้ง เลี้ยว[7] ท่อเทอร์โมไฟฟ่อนแบบปิดสองสถานะ[7] ที่ทำการทดลองในวันที่ 3 กุมภาพันธ์ 2555 จากการเปรียบเทียบพบว่า ท่อความร้อนแบบสันวงรอบ 15 โค้งเลี้ยว มีอุณหภูมน้ำร้อน ข้าวอกสูงที่สุด คือ 40.1°C โดยท่อความร้อนแบบสันวงรอบ 5 และ 10 โค้งเลี้ยว มีอุณหภูมิ

สูงสุดอยู่ที่ 36.3°C และ 37.1°C ตามลำดับ และท่อความร้อนแบบสันวงรอบ 5 โถงเลี้ยวที่ทำการทดลองในวันที่ 3 กุมภาพันธ์ 2555 กับท่อเทอร์โมไชฟอนแบบปิดสองสถานะมีอุณหภูมน้ำร้อนสูงสุดเพียง 38.4°C และ 38.3°C ตามลำดับ

4.1.3 การวิเคราะห์อัตราการถ่ายเทความร้อนของท่อความร้อนแบบสันวงรอบที่จำนวนโถงเลี้ยว 5, 10 และ 15



กราฟที่ 4.3 แสดงความสัมพันธ์ระหว่างอัตราการถ่ายเทความร้อนกับเวลาของการทดลองท่อความร้อนที่มีจำนวนโถงเลี้ยวต่างกัน

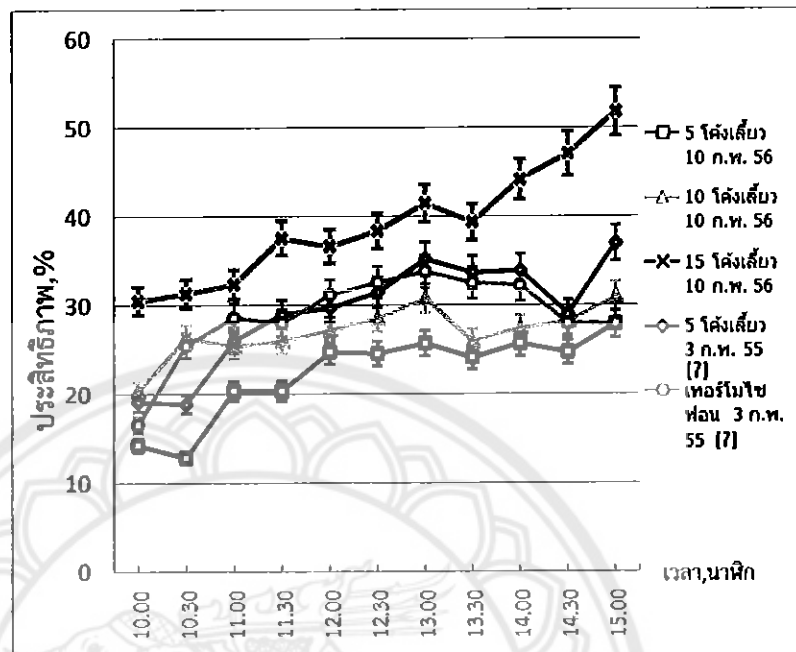
จากราฟที่ 4.3 เป็นการแสดงผลการทดลองในช่วงเวลา 10.00 น. – 15.00 น. เนื่องจากในช่วงเวลาที่ไม่ได้นำมาแสดงนั้นเป็นช่วงเวลาที่มีความคลาดเคลื่อนสูง เนื่องจากช่วงดังกล่าวมีค่าความเข้มแสงอาทิตย์น้อย จึงทำให้เกิดความคลาดเคลื่อนในการคำนวณ อัตราการถ่ายเทความร้อนสูง ซึ่งจะทำให้ผลการคำนวณไม่เป็นไปตามทฤษฎี จึงนำผลการทดลองช่วงเวลา 10.00 น. – 15.00 น. มาทำการคำนวณ เพื่อนำผลการคำนวณที่ได้มาเปรียบเทียบกัน ระหว่างท่อความร้อนแบบสันวงรอบ 5, 10 และ 15 โถงเลี้ยว ซึ่งผลที่ได้จะเห็นว่าท่อความร้อนแบบสันวงรอบ 15 โถงเลี้ยว มีอัตราการถ่ายเทความร้อนสูงสุดเพียง 38.04 W และ 31.76 W ตามลำดับ จากนั้นได้นำมาเปรียบเทียบกับวิทยานิพนธ์ของนาย กิตติภพ ย่างกุลไพรожน์ และคณะ [7] ที่ได้ทำการศึกษาท่อความร้อนแบบสันวงรอบ 5 โถงเลี้ยว และท่อความร้อนแบบเทอร์โมไชฟอนแบบปิดสองสถานะ ในหัวข้อเรื่องสมรรถนะทางความร้อนของตัวรับรังสีแสงอาทิตย์แบบท่อความร้อนสูญญากาศ

ชนิดท่อความร้อน เนื่องจากมีค่าความเข้มแสงอาทิตย์ใกล้เคียงกัน โดยท่อความร้อนแบบสันวงรอบ 5 โถงเลี้ยวและท่อความร้อนแบบเทอร์โมไชฟอนแบบปิดสองสถานะมีอัตราการถ่ายเทความร้อนสูงสุดเพียง 42.6 W และ 40.8 W ตามลำดับ จึงสรุปได้ว่าท่อความร้อนแบบสันวงรอบที่มี 15 โถงเลี้ยว ให้อัตราการถ่ายเทความร้อนสูงสุด เนื่องจากท่อความร้อนแบบสันวงรอบ 15 โถงเลี้ยว นั้นมีการเพิ่มพื้นที่ผิวส่วนทำระเหยเพื่อส่งถ่ายความร้อนจากผิวคุณดูซึบแสงอาทิตย์ โดยมีพื้นที่ 0.339 m^2 ซึ่งท่อความร้อนแบบสันวงรอบ 10 และ 5 โถงเลี้ยว มีพื้นที่ 0.226 m^2 และ 0.113 m^2 ตามลำดับ และพื้นที่ผิวสัมผัสในส่วนควบแน่นเพื่อถ่ายเทความร้อนให้กับน้ำเพิ่มมากขึ้น คือ 0.038 m^2 ซึ่งมากกว่าท่อความร้อนแบบสันวงรอบ 10 และ 5 โถงเลี้ยว ที่มีพื้นที่ผิวสัมผัสในส่วนควบแน่นเพื่อถ่ายเทความร้อนให้กับน้ำเพียง 0.025 m^2 และ 0.012 m^2 ตามลำดับ จึงทำให้ท่อความร้อนแบบสันวงรอบ 15 โถงเลี้ยว นั้นมีอัตราการถ่ายเทความร้อนสูงสุด

4.1.4 การวิเคราะห์ประสิทธิภาพของเครื่องทำน้ำร้อนพลังงานแสงอาทิตย์ที่ภายในบรรจุท่อความร้อนแบบสันวงรอบโดยมีจำนวนโถงเลี้ยว 5, 10 และ 15

กราฟที่ 4.4 เป็นการแสดงผลการทดลองของเครื่องทำน้ำร้อนพลังงานแสงอาทิตย์แบบท่อแก้วสูญญากาศที่ภายในบรรจุท่อความร้อนแบบสันวงรอบที่มีจำนวนโถงเลี้ยว 5, 10 และ 15 ซึ่งเป็นกราฟที่แสดงถึงความสัมพันธ์ระหว่างประสิทธิภาพกับเวลา พบว่าประสิทธิภาพในช่วงเช้าจะมีค่าค่อนข้างต่ำจากนั้นจะค่อยๆ มีค่าสูงขึ้นไปเรื่อยๆ เนื่องจากช่วงเช้านั้นมีค่าความเข้มแสงอาทิตย์ต่ำ จากนั้นค่าความเข้มแสงอาทิตย์จะเริ่มสูงขึ้นและสูงสุดที่เวลา 13.00 น. จากนั้นค่าความเข้มแสงจะเริ่มลดลง ซึ่งดูได้จากการที่ 4.1 จะเห็นว่าค่าความเข้มแสงอาทิตย์มีผลต่อประสิทธิภาพการทำงาน แต่จากการที่ 4.3 จะพบว่าค่าประสิทธิภาพนั้นจะสูงขึ้นไปเรื่อยๆ โดยไม่ลดลงตามค่าความเข้มแสง เนื่องจากท่อแก้วสูญญากาศสามารถเก็บรักษาความร้อนที่สะสมอยู่ภายในได้เป็นอย่างดี จึงทำให้ความร้อนนั้นยังคงอยู่ จึงทำให้ประสิทธิภาพในการทำงานสูงขึ้น จากการเปรียบเทียบท่อความร้อนแบบสันวงรอบ 5, 10 และ 15 โถงเลี้ยว ได้ค่าประสิทธิภาพเฉลี่ยสูงสุด คือ 28.43%, 32.36% และ 43.76% ตามลำดับ จากนั้นได้นำค่ามาเปรียบเทียบกับวิทยานิพนธ์ของนายกิตติภพ ย่างกุลไพรожน์และคณะ [7] ที่ได้ทำการศึกษาท่อความร้อนแบบสันวงรอบ 5 โถงเลี้ยว และท่อความร้อนแบบเทอร์โมไชฟอนแบบปิดสองสถานะ โดยมีประสิทธิภาพเฉลี่ยเพียง 29.36% และ 28.8% ตามลำดับ สรุปได้ว่าการใช้ท่อความร้อนแบบสันวงรอบ 15 โถงเลี้ยว นั้นให้ประสิทธิภาพสูงสุด เนื่องจากท่อความร้อนแบบสันวงรอบ 15 โถงเลี้ยว นั้นมีพื้นที่ผิวส่วนทำระเหยเพื่อส่งถ่ายความร้อนจากผิวคุณดูซึบแสงอาทิตย์และพื้นที่ผิวสัมผัสในส่วนควบแน่นเพื่อถ่ายเทความร้อนให้กับน้ำมากกว่าท่อความร้อนแบบสันวงรอบ 5 และ 10

โค้งเลี้ยว และท่อความร้อนแบบเทอร์โมไซฟอนแบบปิดสองสถานะ จึงทำให้ท่อความร้อนแบบสันวงรอบ 15 โค้งเลี้ยว มีประสิทธิภาพสูงสุด



กราฟที่ 4.4 แสดงความสัมพันธ์ระหว่างประสิทธิภาพกับเวลาของการทดลองท่อความร้อนที่มีจำนวนโค้งเลี้ยวต่างกัน

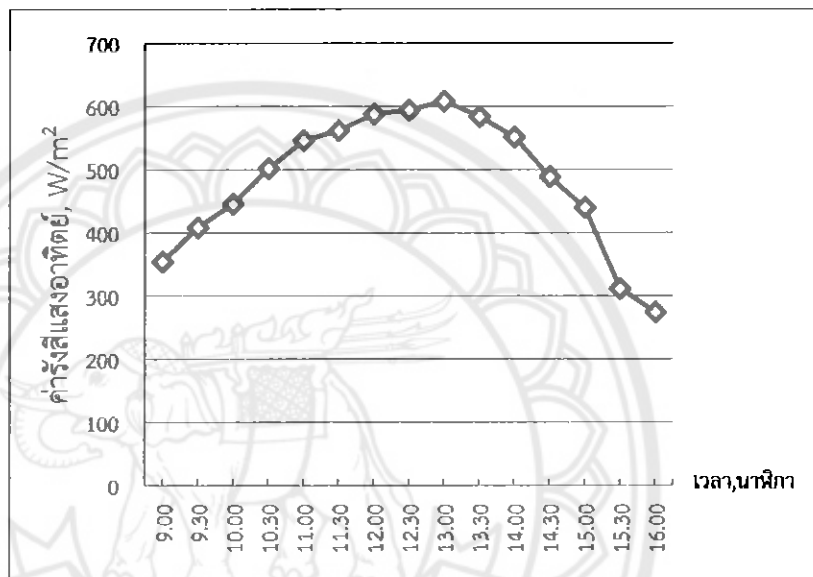
4.2 การทดลองชุดที่ 2

การทดลองท่อความร้อนแบบสันวงรอบ 15 โค้งเลี้ยว โดยมีการปรับความยาวส่วนควบแน่นในระยะต่างๆ

จากการทดลองท่อความร้อนแบบสันวงรอบที่มีจำนวนโค้งเลี้ยว 5, 10 และ 15 ได้ข้อสรุปว่าท่อความร้อนแบบสันวงรอบที่มีจำนวนโค้งเลี้ยว 15 นั้นทำงานได้ดีที่สุดและให้ประสิทธิภาพสูงสุด จึงได้นำท่อความร้อนแบบสันวงรอบ 15 โค้งเลี้ยว มาทดลองต่อเพื่อศึกษาผลของความยาวส่วนควบแน่นที่มีต่ออัตราการถ่ายเทความร้อนและประสิทธิภาพการทำงานของระบบ โดยทำการทดลองในวันที่ 24 และ 25 กุมภาพันธ์ 2556 ทั้งนี้ในการทดลองซ้ำกัน เพื่อให้ได้ค่าในการทดลองที่ซัดเจน ไม่คลาดเคลื่อนจากกันมาก สิ่งทั้ง 2 วัน ที่ทำการทดลองพบว่ามีค่าต่างๆ ที่ใกล้เคียงกันและมีแนวโน้มไปในทิศทางเดียวกัน แต่เนื่องจากค่าความเข้มแสงอาทิตย์ ค่าอัตราการถ่ายเทความร้อน และค่าประสิทธิภาพในวันที่ 24 กุมภาพันธ์ 2556 มีค่าสูงกว่า วันที่ 25 กุมภาพันธ์ 2556 จึงได้นำผลการทดลองในวันที่ 24 กุมภาพันธ์ 2556 มาแสดง ซึ่งผลของวันที่ 25 กุมภาพันธ์ 2556 แสดงในภาคผนวก ก และ ข

4.2.1 การวิเคราะห์ค่าความเข้มแสงอาทิตย์

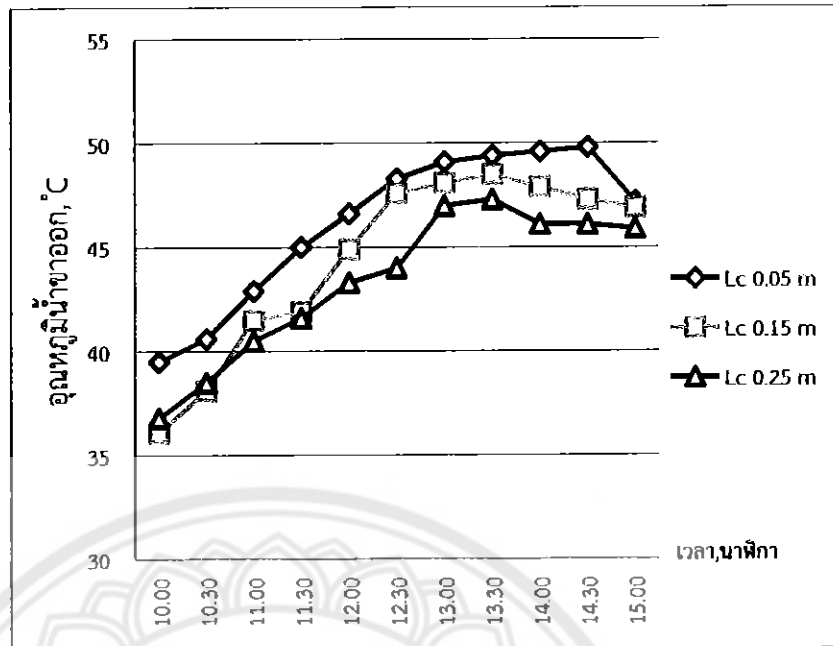
กราฟที่ 4.5 เป็นกราฟแสดงความสัมพันธ์ระหว่างค่าความเข้มแสงอาทิตย์กับเวลาของการทดลองท่อความร้อนแบบสันวงรอบ 15 โค้งเลี้ยว โดยมีความยาวส่วนควบคุม 0.05, 0.15 และ 0.25 m โดยทำการทดลองในวันที่ 24 กุมภาพันธ์ 2556 ซึ่งเป็นวันที่มีห้องฟ้าโปร่งใสและมีค่าความเข้มแสงสูง จากราฟจะเห็นว่ากราฟเป็นรูประฆังครึ่ง โดยมีค่าความเข้มแสงเพิ่มขึ้นและลดลงอย่างต่อเนื่อง แสดงให้เห็นถึงการเปลี่ยนแปลงของความเข้มแสงสูงสุดของวัน คือ 608.7 W/m^2 ที่เวลา 13.00 น.



กราฟที่ 4.5 แสดงความสัมพันธ์ระหว่างค่ารังสีแสงอาทิตย์กับเวลาของการทดลอง
วันที่ 24 กุมภาพันธ์ 2556

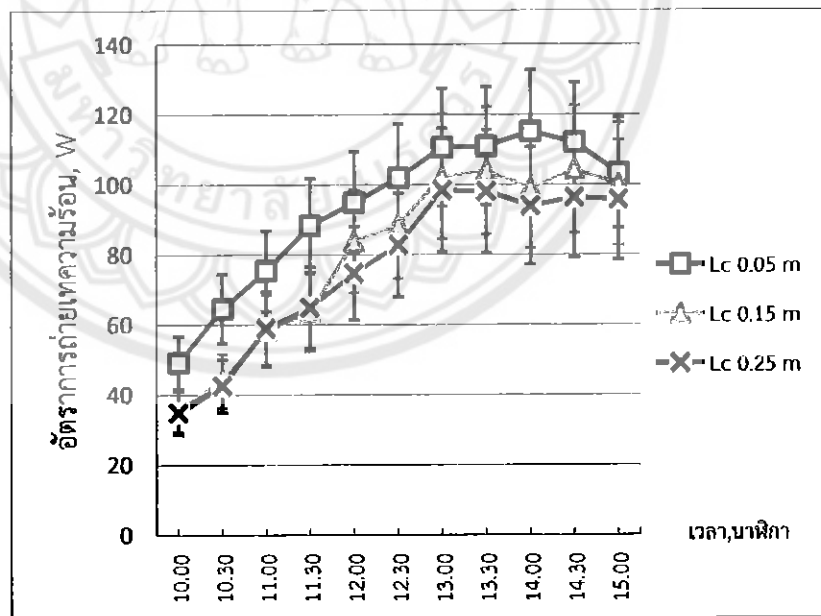
4.2.2 การวิเคราะห์อุณหภูมน้ำข้าวอก

กราฟ 4.6 เป็นกราฟแสดงความสัมพันธ์ระหว่างอุณหภูมน้ำข้าวอกเทียบกับเวลา จากราฟจะเห็นได้ว่าอุณหภูมน้ำข้าวอกของท่อความร้อนแบบสันวงรอบที่มีความยาวส่วนควบคุม 0.05 m มีค่าสูงสุด โดยมีอุณหภูมน้ำข้าวอกสูงสุดที่ 50.1°C ซึ่งที่ความยาวส่วนควบคุม 0.15 m และ 0.25 m มีอุณหภูมน้ำข้าวอกสูงสุดเพียง 48.5°C และ 47.7°C ตามลำดับ จึงสรุปได้ว่าท่อความร้อนแบบสันวงรอบที่มีความยาวส่วนควบคุม 0.05 m ให้อุณหภูมน้ำข้าวอกสูงที่สุด



กราฟที่ 4.6 แสดงความสัมพันธ์ระหว่างอุณหภูมน้ำชาออกเที่ยบกับเวลา ณ วันที่ 24 กุมภาพันธ์ 2556

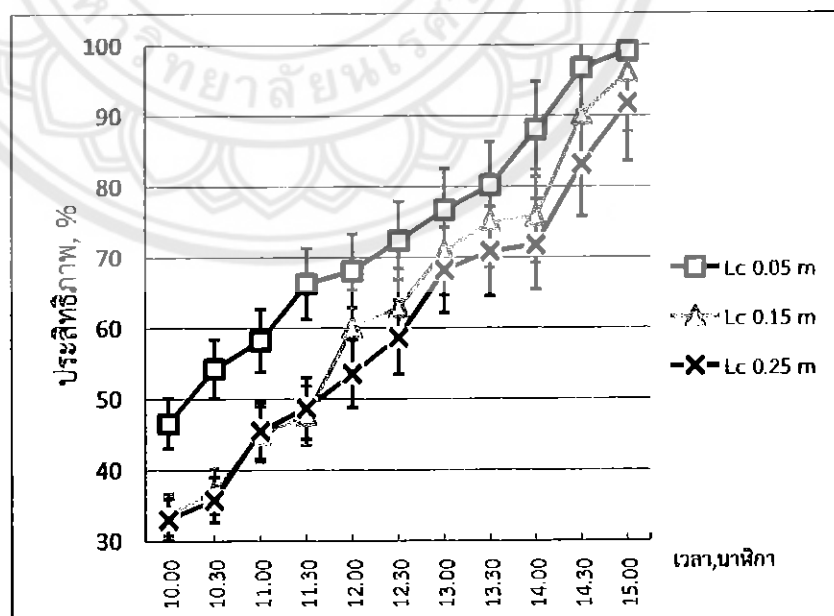
4.2.3 การวิเคราะห์อัตราการถ่ายเทครมร้อนของท่อความร้อนแบบสั่นงรอบที่มี 15 โค้งเลี้ยว โดยมีความยาวส่วนควบแน่นในระยะต่างๆ



กราฟที่ 4.7 แสดงความสัมพันธ์ระหว่างอัตราการถ่ายเทครมร้อนกับเวลาของการทดสอบท่อความร้อนแบบสั่นงรอบ 15 โค้งเลี้ยวโดยมีความยาวส่วนควบแน่นในระยะต่างๆ ณ วันที่ 24 กุมภาพันธ์ 2556

กราฟที่ 4.7 เป็นกราฟแสดงความสัมพันธ์ระหว่างอัตราการถ่ายเทความร้อนกับเวลา ซึ่งเป็นการทดลองเพื่อเปรียบเทียบอัตราการถ่ายเทความร้อนระหว่างท่อความร้อนแบบสันวงรอบทั้ง 3 คือ ท่อความร้อนแบบสันวงรอบที่มีความยาวส่วนควบคุม 0.05, 0.15 และ 0.25 m จากผลการทดลองที่ได้ พบว่าอัตราการถ่ายเทความร้อนสูงสุดของท่อความร้อนแบบสันวงรอบทั้ง 3 มีค่า 115.2 W, 99.12 W และ 93.89 W ตามลำดับ ซึ่งพบในช่วงเวลา 14.00 n. จะเห็นว่าค่าอัตราการถ่ายเทความร้อนของท่อความร้อนแบบสันวงรอบที่มีความยาวส่วนควบคุมต่างกันนั้น พบว่าความยาวส่วนควบคุมแน่นสันที่สุดมีค่าอัตราการถ่ายเทความร้อนสูงสุด เนื่องจากท่อความร้อนแบบสันวงรอบที่มีความยาวส่วนควบคุม 5 cm มีถังน้ำร้อนสันที่สุด จึงทำให้มีการสูญเสียความร้อนต่ำ เพราะมีพื้นที่ที่ความร้อนไหหล่อผ่านสัน ทำให้ค่าอัตราการถ่ายเทความร้อนต่ำที่สุดที่ (Heat Flux) มีค่าสูง และมีการไหหล่อของน้ำที่ไกลเคียงกับการไหหล่อแบบตั้งฉาก (Cross flow) ซึ่งเป็นการไหหล่อที่ให้อัตราการถ่ายเทความร้อนที่ดี โดยถังน้ำที่สันจะมีการไหหล่อแบบตั้งฉากทำให้น้ำมีการไหลวนสัมผัสกับพื้นที่ผิวของท่อความร้อนแบบสันวงรอบในส่วนควบคุมได้ทั้งหมด ส่วนถังน้ำบางจะทำให้มีการถ่ายเทความร้อนได้ไม่ดี เนื่องจากน้ำไม่สามารถไหลวนสัมผัสกับพื้นที่ผิวของท่อความร้อนแบบสันได้ทั้งหมด โดยจะมีน้ำบางส่วนกระจุกตัวอยู่บริเวณปลายถังน้ำทั้งสองข้าง ดังนั้นอัตราการถ่ายเทความร้อนของท่อความร้อนแบบสันวงรอบที่มีส่วนควบคุม 0.05 m จึงมีค่าสูงสุด

4.2.4 การวิเคราะห์ประสิทธิภาพของท่อความร้อนแบบสันวงรอบที่มี 15 โถงเลี้ยว โดยมีความยาวส่วนควบคุมในระยะต่างๆ



กราฟที่ 4.8 แสดงความสัมพันธ์ระหว่างประสิทธิภาพกับเวลา ของการทดลองท่อความร้อนแบบสันวงรอบ 15 โถงเลี้ยว โดยมีความยาวส่วนควบคุมในระยะต่างๆ ณ วันที่ 24 กุมภาพันธ์ 2556

กราฟที่ 4.8 เป็นการแสดงความสัมพันธ์ระหว่างประสิทธิภาพการทำงานของห่อความร้อนแบบสันวงรอบที่มีความยาวส่วนควบคุม 3 ระยะ เทียบกับเวลา โดยท่อความร้อนแบบสันวงรอบทั้ง 3 มีความยาวส่วนควบคุมแน่น 0.05, 0.15 และ 0.25 m จากการเปรียบเทียบค่าประสิทธิภาพของห่อความร้อนแบบสันวงรอบทั้ง 3 พบว่าห่อความร้อนแบบสันวงรอบที่มีความยาวส่วนควบคุมแน่น 0.05 m ให้ประสิทธิภาพการทำงานสูงสุด โดยมีค่าประสิทธิภาพเฉลี่ย สูงสุด 73.34% ส่วนห่อความร้อนแบบสันวงรอบที่มีความยาวส่วนควบคุมแน่น 0.15 m และ 0.25 m มีค่า 63.14% และ 60.12% ตามลำดับ จากการสังเกตกราฟ จะเห็นได้ว่าเส้นกราฟของห่อความร้อนแบบสันวงรอบที่มีความยาวส่วนควบคุมแน่น 0.05 m เมื่อเทียบกับเส้นกราฟของห่อความร้อนแบบสันวงรอบที่มีความยาวส่วนควบคุมแน่น 0.15 m และ 0.25 m พบว่าในช่วงเช้านั้นมีผลต่างของค่าประสิทธิภาพค่อนข้างสูง จากนั้นจะเริ่มมีผลต่างประสิทธิภาพลดลงและเข้าใกล้กันในช่วง 13.00 น. จึงได้ข้อสรุปว่าห่อความร้อนแบบสันวงรอบที่มีความยาวส่วนควบคุมแน่น 0.05 m มีประสิทธิภาพสูงตั้งแต่เริ่มการทำงาน จนถึงช่วงเช้า ซึ่งต่างกับแบบ 0.05 m ค่อนข้างมาก จากนั้นจะเริ่มมีค่าสูงขึ้นเรื่อยๆ โดยที่ห่อความร้อนแบบสันวงรอบที่มีความยาวส่วนควบคุมแน่น 0.15 m และ 0.25 m จะมีค่าประสิทธิภาพค่อนข้างต่ำในช่วงเช้า ซึ่งต่างกับแบบ 0.05 m ค่อนข้างมาก จากนั้นจะเริ่มมีค่าสูงขึ้นจนค่าประสิทธิภาพเข้าใกล้ค่าประสิทธิภาพของห่อความร้อนแบบสันวงรอบที่มีความยาว 0.05 m ดังนั้นห่อความร้อนแบบสันวงรอบที่มีความยาวส่วนควบคุมแน่น 0.05 m ทำงานได้ดีตั้งแต่ช่วงความเย็นแสงอาทิตย์ต่ำและทำงานได้ดีขึ้นเมื่อความเย็นแสงอาทิตย์สูงขึ้นทำให้มีประสิทธิภาพเฉลี่ยสูงกว่าและมีความเสถียรกว่าห่อความร้อนแบบสันวงรอบที่มีความยาวส่วนควบคุมแน่น 0.15 m และ 0.25 m

บทที่ 5

สรุปผลการทดลอง ผลการวิเคราะห์ และข้อเสนอแนะ

5.1 สรุปผลการทดลองและผลการวิเคราะห์

จากการทดลองเครื่องทำน้ำร้อนพลังงานแสงอาทิตย์แบบห่อแก้วสูญญากาศที่ภายในบรรจุห่อความร้อนแบบสั่นง่วงรอบ โดยมีการทดลอง 2 ชุดการทดลอง คือ ชุดแรกเป็นการทดลองเพื่อเปรียบเทียบสมรรถนะการทำงานของห่อความร้อนแบบสั่นง่วงรอบโดยมีการกำหนดจำนวนโถงเลี้ยว 5, 10 และ 15 โถงเลี้ยวและทำการทดลองโดยมีน้ำในหล่อผ่านด้วยอัตราการไหล 0.1 L/min โดยน้ำที่หล่อผ่านห่อความร้อนแบบสั่นง่วงรอบแล้วจะถูกปล่อยทิ้งไป และทางเข้าจะมีน้ำเข้ามาแทนที่ในชุดที่ 2 จะเป็นการทดลองห่อความร้อนแบบสั่นง่วงรอบ 15 โถงเลี้ยว 3 ชุด ซึ่งแต่ละชุดจะมีความยาวในส่วนควบแน่นต่างกันไป คือ 5 cm, 15 cm และ 25 cm จากนั้นจะทำการทดลองเพื่อเปรียบเทียบสมรรถนะการทำงานของห่อความร้อนแบบสั่นง่วงรอบทั้ง 3 ชุด เพื่อศึกษาผลของความยาวส่วนควบแน่นที่มีต่อการทำงานของเครื่องทำน้ำร้อนพลังงานแสงอาทิตย์แบบห่อแก้วสูญญากาศ

5.1.1 จากการเปรียบเทียบจำนวนโถงเลี้ยวของห่อความร้อนแบบสั่นง่วงรอบ โดยในการวันทำการทดลองนั้นมีค่าความเข้มแสงอาทิตย์สูงสุด 521.7 W/m^2 พบร้าห่อความร้อนแบบสั่นง่วงรอบ 15 โถงเลี้ยวทำงานได้ดีสุด คือ มีอัตราการถ่ายเทขายาวร้อนสูงสุดที่ 51.31 W และมีประสิทธิภาพการทำงานโดยเฉลี่ย 43.76% ซึ่งสูงกว่าห่อความร้อนแบบสั่นง่วงรอบ 5 และ 10 โถงเลี้ยว ที่มีอัตราการถ่ายเทขายาวร้อน 31.76 W และ 38.04 W ตามลำดับ และมีประสิทธิภาพการทำงานโดยเฉลี่ย 28.43% และ 32.36% ตามลำดับ จึงสรุปได้ว่าการทดลองนี้ห่อความร้อนแบบสั่นง่วงรอบ 15 โถงเลี้ยวดีที่สุด

5.1.2 จากการเปรียบเทียบท่อความร้อนแบบสั่นง่วงรอบ 15 โถงเลี้ยว ที่มีความยาวส่วนควบแน่น 5 cm, 15 cm และ 25 cm พบร้าห่อความร้อนแบบสั่นที่มีความยาวส่วนควบแน่น 5 cm มีประสิทธิภาพโดยเฉลี่ยสูงสุด คือ 73.34% โดยที่ห่อความร้อนแบบสั่นง่วงรอบที่มีความยาวส่วนควบแน่น 15 cm และ 25 cm มีประสิทธิภาพโดยเฉลี่ยเพียง 63.14% และ 60.12% ตามลำดับ

5.1.3 ห่อความร้อนแบบสั่นง่วงรอบ 15 โถงเลี้ยว ที่มีความยาวส่วนควบแน่น 5 cm ทำงานได้ดีที่สุด โดยมีประสิทธิภาพเฉลี่ย 73.34% อัตราการถ่ายเทขายาวร้อนสูงสุดที่ 115.2 W และมีอุณหภูมน้ำขาออกสูงสุด 50.9°C ซึ่งในวันทำการทดลองมีค่าความเข้มแสงอาทิตย์สูงสุดที่ 608.7 W/m^2

5.2 ข้อเสนอแนะ

- 5.2.1 ควรเพิ่มจำนวนห้องแก้วสุญญาการที่ภายในบรรจุห้องร้อนแบบสั่นง่วงรอบ เพื่อให้เครื่องทำน้ำร้อนพลังงานแสงอาทิตย์ได้อุณหภูมิน้ำที่สูงขึ้นและมีประสิทธิภาพสูงขึ้น
- 5.2.2 การใช้เครื่องทำน้ำร้อนพลังงานแสงอาทิตย์แบบห้องแก้วสุญญาการที่ใช้ห้องร้อนแบบสั่นง่วงควบคุมมีช่องระบายน้ำอากาศให้กับห้องร้อนแบบสั่นง่วงรอบในส่วนควบคุมแน่น เพื่อระบบความร้อนเมื่อไม่มีน้ำอยู่ในระบบ เพื่อป้องกันการเกิดความเสียหายขึ้นกับห้องร้อนแบบสั่นง่วงรอบ
- 5.2.3 ควรรักษาสภาพการเป็นสุญญาการภายในห้องที่โดยไม่ให้อากาศจากภายนอกเข้าไปภายในห้องแก้วสุญญาการได้ เพื่อเป็นการเพิ่มประสิทธิภาพให้กับเครื่องทำน้ำร้อนพลังงานแสงอาทิตย์
- 5.2.4 วัสดุที่ใช้ในการทำถังน้ำร้อนในส่วนควบคุมมีข้อจำกัดคือ มีขนาดใหญ่ ถ้าต้องการทำถังน้ำร้อนให้เลือกการใช้วัสดุชนิดอื่น

บรรณานุกรม

- [1] <http://solarfeeds.com/csp-technology-down-but-not-out/> (สืบค้น 5/09/2012)
- [2] http://mte.kmutt.ac.th/elearning/Solar%20Energy/HTML/unit_01.htm (สืบค้น 5/09/2012)
- [3] http://portal.edu.chula.ac.th/lesa_cd/assets/document/LESA212/1/celestial_sphere/ecliptic/ecliptic.html (สืบค้น 6/09/2012)
- [4] http://greenterrafirma.com/evacuated_tube_collector.html (สืบค้น 6/09/2012)
- [5] Dunn, P. and Reay, D.A. (1982). Heat pipe (3th ed.). UK: Pergamon Press Ltd.
- [6] Maezawa, S., Gi, K., Minamisawa, A. and Akachi, H. (1995). Thermal performance of capillary tube thermosyphon. In Proceeding of the 9th International Heat Pipe Conference. (pp. 791–795). New Mexico: Albuquerque.
- [7] ปริญญาในพนของ กิตติภพ ย่างกุลไฟรอน และคณะ. การพัฒนาสมรรถนะทางความร้อนของตัวรับรังสีแสงอาทิตย์แบบห่อแก้วสูญญากาศชนิดห่อความร้อนศ.ปริญญาในพนธ วศ.บ. วิศวกรรมเครื่องกล มหาวิทยาลัยนเรศวร, 2554
- [8] Gi, K., Sato, F. and Maezawa, S. (1999). Flow Visualization Experiment on Oscillating Heat Pipe. In Proceedings of the 11th International Heat Pipe Conference. (pp. 149–153). Japan: Tokyo.
- [9] ศุภชัย ชุมนุมวัฒน์. การระบายน้ำความร้อนถังเก็บข้าวเปลือกด้วยห่อความร้อนแบบสั่นงรอบ. วิทยานิพนธ วศ.ม. วิศวกรรมเครื่องกล มหาวิทยาลัยนเรศวร, 2554
- [10] <http://www.renewableenergyworld.com/rea/partner/kipp-zonen/products/sp-lite2-silicon-pyranometer> (สืบค้น 3 กุมภาพันธ 2556)
- [11] <http://www.kmitl.ac.th/foodeng/new/mobile/articles.php?lng=en&pg=33> (สืบค้น 3 กุมภาพันธ 2556)
- [12] <http://www.integrate.com/thermocouple.php> (สืบค้น 3 กุมภาพันธ 2556)





ตารางที่ ก 1 ช้อมูลการทดสอบงวดที่ 9 กุมภาพันธ์ 2556

ใบบันทึกข้อมูลการทดสอบเครื่องทำน้ำร้อนพลังงานแสงอาทิตย์แบบท่อและการรับสัญญาการติดตั้งห้องล้างยา

No	Code	CH.	9.00	9.30	10.00	10.30	11.00	11.30	12.00	12.30	13.00	13.30	14.00	14.30	15.00	15.30	16.00
E-051	101	40.6	43.4	73.3	78.8	80.8	82.4	83.6	87.8	90.2	96.3	88.8	87.3	75.6	71.3	69.2	
E-052	102	41.5	44.3	74.8	82	84.7	83.7	88.3	93.4	96.8	98.7	94.5	92.4	80	74.7	71.4	
C-051	103	29.8	30	31.4	33.6	34.7	34.9	35.4	36.2	36.6	36.5	36.2	36.4	35.9	35.6	35.6	36.1
กง.ก.ก.ก.ก.ก.ก.	TT-051	104	28.5	28.5	30.2	30.1	30.4	30.8	31.1	31.5	31.8	32	31.8	31.7	31.5	31.4	31.2
กง.ก.ก.ก.ก.ก.ก.	TT-052	105	28.3	28.5	29.3	30	30.7	30.9	31.2	31.5	31.9	32.1	31.7	31.6	31.6	31.5	31.1
กง.ก.ก.ก.ก.ก.ก.	TO-051	106	28.9	29.2	30.5	32.8	33.9	34.7	35.1	35.5	36	36.2	35.9	35.9	35.8	35	34.8
กง.ก.ก.ก.ก.ก.ก.	TO-052	107	29	29.2	30.4	33	34.2	34.8	35	35.5	36.1	36.3	36.1	36	35.7	35.2	35
กง.ก.ก.ก.ก.ก.ก.	GT-051	108	26.4	27.9	29.2	29.8	31.4	31.5	33.7	38.3	37.7	35.7	36.6	36	35.9	35.6	32.9
กง.ก.ก.ก.ก.ก.ก.	GD-051	109	28.4	31.5	34.9	33.8	36.3	36.9	37.2	40.6	41.9	39.3	39.5	39	38.7	37.5	35.8
กง.ก.ก.ก.ก.ก.ก.	GT-052	110	28.6	31.7	34.3	36.4	37.4	38.6	38.7	41.3	42.8	40.8	40.2	39.6	39.2	37.7	35.8
กง.ก.ก.ก.ก.ก.ก.	GT-052	111	28.2	29.9	33.1	33.5	34.8	35	35.9	38.4	39.3	39.3	38.7	38.5	38.1	37.7	36.4
กง.ก.ก.ก.ก.ก.ก.	E-101	112	42.7	45.9	75.2	81.6	83.8	85.7	88	93.9	96.8	96.2	93	89	84.7	81	74.7
กง.ก.ก.ก.ก.ก.ก.	E-102	113	42.4	49.3	78.2	84.3	86.9	88.1	91	97.4	100.7	100.3	97	92.5	88.1	85	78.6
กง.ก.ก.ก.ก.ก.ก.	C-101	114	29.2	30.1	30.7	33.5	35.3	35.7	36.1	37	37.7	38	37.5	37	36.4	35.8	34.6
กง.ก.ก.ก.ก.ก.ก.	TT-101	115	28.3	28.5	29.5	30.3	30.6	31	31.3	31.7	31.8	31.9	31.7	31.5	31.4	31.2	30.8
กง.ก.ก.ก.ก.ก.ก.	TT-102	116	28.3	28.4	29.4	30.2	30.6	31	31.4	31.8	31.9	32.1	31.9	31.7	31.7	31.4	31
กง.ก.ก.ก.ก.ก.ก.	TO-101	117	29.1	29.5	30.7	33.8	34.6	35	35.4	36.2	36.9	37.2	36.8	36.2	35.8	35.2	35
กง.ก.ก.ก.ก.ก.ก.	TO-102	118	29.5	29.6	30.8	33.9	34.7	35.1	35.5	36.3	37	37.2	36.8	36.3	35.8	35.3	35.1
กง.ก.ก.ก.ก.ก.ก.	GT-101	119	29.5	31.8	36	37.7	38.5	40.1	42.6	42.1	41.8	41.5	40	39.9	38.5	36.3	
กง.ก.ก.ก.ก.ก.ก.	GD-101	120	27.9	29.4	31.5	30.8	32.8	33.7	35.2	35.4	34.7	34.6	37.1	35.8	36.6	35.7	35.4
กง.ก.ก.ก.ก.ก.ก.	GT-102	213	27.8	29.9	34.1	33.4	34.7	35.4	35.9	38.9	38.9	38.9	39	38.7	38.4	37.8	36
กง.ก.ก.ก.ก.ก.ก.	GT-102	214	27.4	28.9	31.3	32	33.4	33.9	35.6	37.5	37.6	38.4	37.9	37.4	37.2	36.6	35.5
กง.ก.ก.ก.ก.ก.ก.	E-151	201	43.3	45.8	74.6	83	85.2	87.6	91.5	96.6	97	95.1	93	90.3	87.6	85.2	80.6
กง.ก.ก.ก.ก.ก.ก.	E-152	202	43.2	45.2	77.4	88.6	91.8	94.8	99.1	104.6	106.8	104.8	102.8	100.6	98.7	95.9	91.3
กง.ก.ก.ก.ก.ก.ก.	C-151	203	29.6	30.2	30.8	33.8	35.3	35.9	37	37.9	38.6	38.3	38.1	37.8	36.8	35.5	
กง.ก.ก.ก.ก.ก.ก.	TT-151	204	28.2	28.3	29.4	30.3	30.6	30.8	31.6	31.9	32	31.7	31.7	31.6	31.5	31	30.5
กง.ก.ก.ก.ก.ก.ก.	TT-152	205	28.25	28.5	29.5	30.5	30.9	31.1	32	32.2	32.5	32.3	32.2	32.1	31.7	31.2	
กง.ก.ก.ก.ก.ก.ก.	TO-151	206	29.1	30.2	31	34.1	35.3	35.8	37.2	38.3	39.1	38.7	38.5	38.3	38.1	37.3	36
กง.ก.ก.ก.ก.ก.ก.	TO-152	207	29.5	29.7	30.8	33.2	34.6	34.7	36	37.1	38.3	37.6	37.1	37.8	36.5	35.3	
กง.ก.ก.ก.ก.ก.ก.	GT-151	208	28.5	30.2	34.3	37.4	37.6	38.6	39.6	42.5	42.9	41.9	41	41.4	39.9	38.7	37.4
กง.ก.ก.ก.ก.ก.ก.	GD-151	209	27.7	28.8	32.3	33.4	34.6	35.6	36.9	38.7	40	39.1	39	39.2	38.5	37.9	36.5
กง.ก.ก.ก.ก.ก.ก.	GT-152	210	28.6	30	34.5	37.6	37.9	38.8	39.3	42.5	42.8	42.3	41.5	41.8	40.7	39.6	38.2
กง.ก.ก.ก.ก.ก.ก.	GT-152	211	28.1	29.1	34	34.5	35.2	36	38.8	39	38.9	38.1	38.7	38.2	37.8	36.6	
กง.ก.ก.ก.ก.ก.ก.	TA	212	26.3	27.6	30.1	30.9	31.2	32.6	33.2	34	34	35	35	35.2	34.6	34.7	34.4
กง.ก.ก.ก.ก.ก.ก.	Rad		16.21	21.86	22.35	40.07	43.21	46.83	48.31	52.25	49.95	47.38	43.82	39.28	33.96	27.5	19.21

ตารางที่ ก 2 ข้อมูลการทดสอบวัสดุที่ 10 กรมภาคที่ 10 กุมภาพันธ์ 2556

ใบบันทึกข้อมูลการทดสอบเครื่องสำอางค์ร้อนพัสดุงานแสตนด์อะไหล่แบบท่อแก้วสูญญากาศที่ใช้ทำความสะอาดรัมแบบสั่นวงรอบ 5, 10 และ 15 ໂດຍลี้ยา

No	Code	CH.	9.00	9.30	10.00	10.30	11.00	11.30	12.00	12.30	13.00	13.30	14.00	14.30	15.00	15.30	16.00
E-051	101	33.5	65.5	81.1	82.8	85.7	90.3	92.8	94.5	95.8	92.3	87.8	85.5	81.1	79.9	76.6	
E-052	102	33.8	65.7	87.2	87	90.6	95.2	98.7	101.7	102.9	100.2	99.6	96.5	92.7	91.2	87.2	
C-051	103	28.2	29.6	32.9	33.4	34.4	34.7	35.4	36	36.5	36	35.6	35.1	34.8	34.6	34.2	
ก 051	104	28.3	29.5	30.6	31	31.2	31.3	31.5	31.5	31.5	31.7	31.6	31.5	31.4	31.5	30.9	
ก 052	105	28.2	29.4	30.3	30.6	30.8	31	30.9	31.1	31.9	31.8	31.8	31.8	31.6	31.5	31.2	
ก 051	106	28.2	29.7	32.1	32.5	34	34.3	35.3	35.7	36.3	35.7	35.5	34.8	34.7	34.2	34	
ก 052	107	28.5	29.7	32.3	32.7	34.1	34.5	35.2	35.6	36.2	35.7	35.4	34.9	34.6	34.1	33.9	
ก 051	108	28.5	29.3	30.8	30.2	31.7	32.1	33.9	33.5	34.9	35.2	35.9	35.2	36	35.1	33.6	
ก 051	109	32.6	34.6	37.6	35.6	37.7	37.6	38.3	39.1	41.2	40.2	38.3	39.1	38.7	38.1	36.4	
ก 052	110	33.2	36.2	39.5	38.4	39.9	39.7	40.4	40.6	43.1	41.3	39.3	40	39.1	38	36.2	
ก 052	111	30	33	35.5	35	36	36.5	37.5	38.9	40.8	39.9	39	39.4	39	38.7	37.2	
ก 051	112	36.5	68.4	85.9	86.4	88.2	91.7	93.5	96.3	97	94.2	91.3	89.7	85.9	84.4	82	
ก 052	113	36.4	69.3	90.2	91.3	93.8	99.7	100.9	104.4	105	103.6	102.3	100.1	96.2	94.8	90.9	
ก 051	114	28.3	29.6	33.7	34.5	35.2	35.7	36.4	37	37.2	36.2	35.8	35.6	35.4	35.1	34.7	
ก 051	115	28.3	29.4	30.4	30.5	31	31.2	31.5	31.2	31.5	31.5	31.6	31.5	31.4	31.3	30.9	
ก 052	116	28.3	29.5	30.6	30.6	31.1	31.4	31.5	31.5	31.7	31.8	31.7	31.6	31.5	31.1	31	
ก 051	117	28.4	29.7	33	34.2	34.9	35.4	35.9	36.4	37	36	35.7	35.2	35.1	34.9	34.5	
ก 052	118	28.4	29.7	33	34.3	34.8	35.5	36	36.4	37.1	35.8	35.7	35.3	34.9	34.8	34.6	
ก 051	119	34.1	37.6	40.5	39.8	40.5	41.3	41.5	42.1	43.6	42.3	41.3	40.3	39.7	38.5	36	
ก 052	120	30.5	33	32.7	31.9	35.5	33.5	34.5	35.6	38.3	36.9	36.4	36.1	35.8	36.8	35.9	
ก 051	213	31.8	33	36.2	35.7	36.8	37.6	38.6	39.4	39.9	40.8	40.6	39.5	39.2	38.7	38.3	
ก 052	214	30.7	32.2	34.8	33.9	35.1	36.5	37.3	37.5	38	39.7	39.8	37.3	37.7	36.8	36.6	
ก 051	201	37.1	70.8	86.4	87	90	93.4	95.4	98.1	98.2	96.1	94.1	91.8	88.3	86	79.8	
ก 052	202	36.1	70.5	92.4	92.5	96.8	100.5	102.5	106.9	107.3	105.4	104.1	102.3	98.5	96	91.3	
ก 051	203	28.4	29.8	34.3	35.5	36.4	37.7	37.8	38.1	39.7	40.1	39.3	39.2	38.1	37.4	36.9	35.5
ก 052	207	28.6	30	34	34.8	35.4	37.5	37.7	38.5	38.9	38.5	38.4	37.5	37.3	36.7	35.7	
ก 051	208	32.7	35.7	36.5	39.8	40.9	42	42.2	43.5	43.9	43.3	43.4	40.5	40.9	39.9	38.1	
ก 051	209	31.1	33.4	34.7	35.4	36.9	38.1	39.3	40.2	41	40.6	41.1	38.8	39.7	39.2	37.1	
ก 052	210	31.8	35.4	36.1	39.6	40.6	41.1	40.2	43	43.7	43	41	41.1	40.8	38.8		
ก 052	211	31	33.3	34	35.7	36.3	36.6	37.4	39.9	39.8	39.7	38.6	39.3	39	37.6		
ก 052	212	28.8	29.7	31.2	32	32.3	33.5	33.9	34.4	34.7	34.8	35.6	35.4	34.6	34.9		
ก 052	Rad	23.25	29.67	36.2	41.35	44.13	47.03	48.2	52.14	48.23	42.98	38.14	33.25	26.05	18.58		

ตารางที่ ก 3 ช้อมูลการทดสอบร่วมที่ 24 กรมการพัฒนาฯ

ใบบันทึกช้อมูลการทดสอบเครื่องสำอางเพื่อประเมินผลลัพธ์เบื้องต้นแก้ไขความรุนแรงของสารต่อความปลอดภัยทางสุขภาพและประเมินค่าความเสี่ยงของสารต่อสิ่งแวดล้อมตามที่ระบุไว้ในแบบฟอร์ม 15 โอลีมิลลิกรัม/กรัม 0.05, 0.15 และ 0.25 ม.

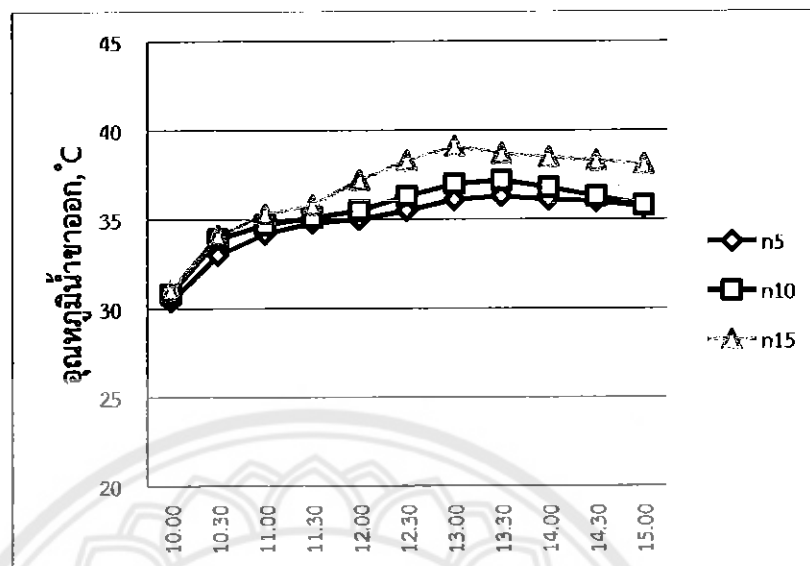
No	Code	CH.	9.00	9.30	10.00	10.30	11.00	11.30	12.00	12.30	13.00	13.30	14.00	14.30	15.00	15.30	16.00
E-051	101	51.8	75	99.3	103	107.8	110.8	118	123.1	126.5	122.8	120.5	115.3	115.3	109.2	108.1	94.9
E-052	102	52.9	73.3	96.8	102.4	103.2	105.3	117	125.3	120.3	122.5	121.3	114	113.7	107.9	107.9	98.8
C-051	103	34.5	38.5	40.5	45.7	46.8	48	50.9	54.2	55.9	55.7	55.5	55.4	55.1	54.1	51.5	
CT-051	104	29.3	30.2	31.3	31.6	32.5	32.6	33.2	33.8	33.3	33.8	33.7	33.5	32.8	32.2	31.1	
CT-052	105	29.3	30.2	31.2	31.9	32.6	32.6	33.3	33.8	33.4	33.9	33.8	33.6	32.9	32.2	31.2	
TO-051	106	32.3	33.9	37.1	41.4	43.8	45.5	47.1	48.5	49.3	50.1	50.9	49.4	48.1	47.9	46.8	
TO-052	107	32	33.3	39.5	40.6	42.9	45	46.6	48.3	49.1	49.4	49.6	49.8	47.2	47.1	46.2	
GT-051	108	34.1	36.6	40	40.1	41	41.8	41.5	43.5	43.8	43.9	40.2	41.5	41	40.1	37.5	
GD-051	109	32	32.7	34.6	36.5	38.2	39.2	39.4	41.1	40.8	42.9	43.4	43.6	41.4	41.3	40.4	39.8
GT-052	110	34.2	36.5	38.2	39.5	33.5	33.5	35.2	35.5	38.3	41	39.4	36.8	40.1	37.7	36.1	
GT-052	111	33.1	33.4	35.2	34	33.6	36.1	36.4	37.8	39.4	38.2	36.8	40	36.5	37.4	37.8	
E-101	112	51.6	76.7	98.1	105.5	109.4	111.7	118	121.6	122.8	120.4	119.5	112.4	108	103.1	92.2	
E-102	113	51.4	73.4	100.3	104.4	108.1	110.8	117	121.5	123.8	122.8	123	115.8	111.3	106.9	95.1	
C-101	114	31.9	38.2	39.7	44.3	46.1	47.2	50	53.7	55	54.9	54.8	54.2	53.9	53.1	50.6	
CT-101	115	29.4	30.4	31.4	32.3	32.6	32.8	33	33.6	33.1	33.3	33.3	31.9	32.1	31.5	31	
CT-102	116	29.5	30.6	31.5	32.5	32.9	33	33.2	33.7	33.3	33.5	33.5	32.3	32.6	31.9	31	
TO-101	117	31.7	33.7	36.1	38.1	41.5	41.9	44.9	47.6	48.1	48.5	47.9	47.3	46.9	46.9	46.3	
TO-102	118	31.6	33.7	37	39.3	40.7	42.1	45.3	45.1	47.6	48.1	47.3	46.8	46.5	46.8	45.8	
GT-101	119	34.8	38	40.1	42.2	41.8	43.6	42.3	45.1	45.1	45.7	39.5	43.2	41.6	40.6	38.3	
GD-101	120	34.4	33.5	35.3	37.4	39	40.1	40.8	42.1	42.7	42.4	39.8	41.1	40.4	38.3	37.7	
GT-102	213	33.7	37	38.5	40.7	39.8	42.1	42.2	44	46.3	45.7	43.2	43	40.3	40.3	38.8	
GT-102	214	34.8	33.7	36	36.5	36.1	38.3	38.5	41.1	44.5	44.7	43	42.3	35.2	39.5	40.2	
E-151	201	58.4	101	99.5	98.5	101.5	105	111	114.9	115	112.7	112.8	108.8	107.8	105.9	100	
E-152	202	58.7	105	105.1	105.7	109.8	113.5	119	125.7	128.4	125.6	126.5	124.8	122.4	120.1	116	
C-151	203	29.2	32.4	41.8	44	45.1	46.6	49.4	53.1	54.8	54.8	54.2	53.3	53.2	51.8	49.9	
CT-151	204	29.3	30.3	31	32	32.6	32.4	33.1	33.9	33.1	33.3	33.1	32.6	32.8	32.5	31.2	
CT-152	205	28.5	30	31.2	32.1	32	32.4	33.3	33.1	33.2	33.6	33.2	32.6	32	32.7	31.3	
TO-151	206	29.2	33.4	35.4	37.8	41	41.8	44.5	46.7	47.5	47.7	47.1	46.7	46.3	46.3	44.7	
TO-152	207	29.5	33.3	36.8	38.5	40.5	41.6	43.3	44	47	47.3	46.1	46.1	45.9	45.2	43.7	
GT-151	208	34.4	38.9	38.9	42.1	42.8	44	42.6	44.9	42.8	44.6	42.3	40.5	41.2	40.2	38.5	
GD-151	209	31.9	35.7	34.7	36.1	36.4	38.9	38.8	41.3	40.9	41.6	40.7	39.7	39.3	39.3	37.9	
GT-152	210	34.5	38.7	38.1	41.3	40.8	43.1	42.6	43.9	45	44.5	43.5	42.3	41.1	40.9	40.3	
GT-152	211	32.7	35.1	34.4	36	35.3	37.8	37.9	42	41.9	40.7	39.7	38.6	38.5	38.8	38.8	
TA	212	30.4	30.7	31.6	32.1	31.3	35.2	34.1	34.6	36.2	37.2	35.3	34.1	34.1	35.1	35.1	
Rad		35.43	40.9	44.57	50.19	54.6	56.21	58.8	59.43	60.87	58.41	55.18	48.86	43.97	31.19	27.5	

ตารางที่ ก 4 ข้อมูลการทดสอบเครื่องทำน้ำร้อนพลังงานแสงอาทิตย์แบบท่อแก๊สทรายจากท่อเข้าห้องน้ำร้อนแบบส่วนห้องอุ่น 15 โถสีเหล็ก โดยมีความยาวส่วนควบคุม 0.05, 0.15 และ 0.25 m

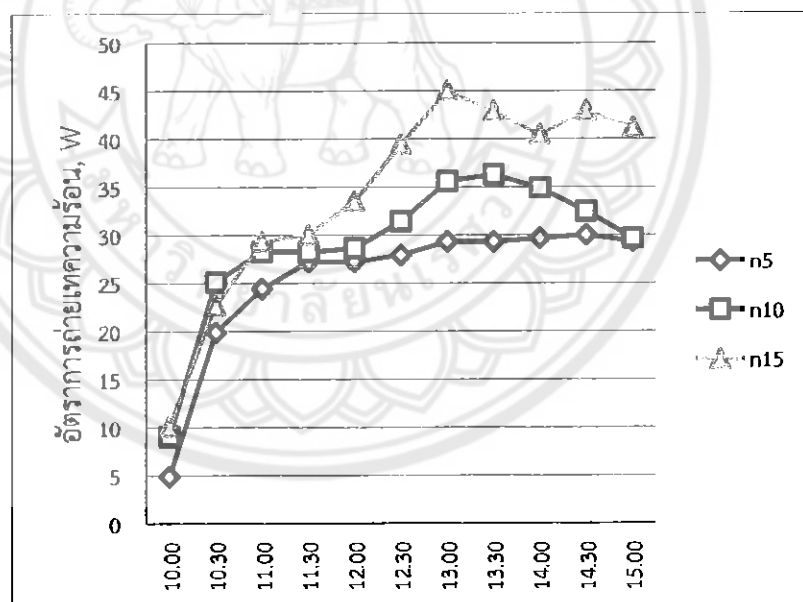
No	Code	CH.	9.00	9.30	10.00	10.30	11.00	11.30	12.00	12.30	13.00	13.30	14.00	14.30	15.00	15.30	16.00
E-051	101	42.8	82.1	102.9	105.1	106.1	110.4	114	114.6	115.8	115.2	114.5	113.6	110.2	107	107	
E-052	102	38.6	73	105.2	107.3	107.4	111.2	115	116	118.1	118.1	117.6	117.3	116.4	114.2	112	
C-051	103	28	36.5	40.2	42.3	45.9	56.3	47.2	47.7	49.4	50.5	50.2	49.4	49.1	49.2	48.6	
TC-051	104	27	28.8	30.6	31.7	32.7	33.2	33.5	33.8	33.7	33.9	33.9	33.6	33.5	32.6	32.2	
TC-052	105	27.1	28.9	30.6	31.7	32.8	33.3	33.6	33.8	33.9	33.9	33.9	33.7	33.6	32.8	32.3	
TO-051	106	27.5	36.3	39.4	41.7	44.2	45.5	46.8	47.1	48.8	49.2	49	48.2	47.3	47.6	47	
TO-052	107	27.6	36.2	39.2	41.2	43.9	44.9	46.5	47	48.5	49.6	49.4	48.3	46.5	46.1	46.3	
GT-051	108	33.8	37.9	41.9	42.9	44	44.7	45.3	46.7	45.4	44.9	46.1	43.3	43.6	41.6	37.6	
GD-051	109	30.9	34.4	37.1	37.5	39.1	40	40.2	42.6	41	40.2	42.1	40.4	41	41.8	36.8	
GT-052	110	33.6	37.4	40.2	42	42.9	43.8	44.3	45.4	44.8	43.6	44.9	42.8	42.8	40.2	39.4	
GT-052	111	30.8	35	37	38.4	39.4	40.7	40.2	42.2	40.4	40.2	41.2	40.3	40.3	40.6	39.4	
E-101	112	44.7	81.9	104.1	104.1	105.5	109.9	113	114.1	115.3	115.7	114	112.7	107.6	105.1	108	
E-102	113	39.6	71.2	102.9	104.1	105.6	110.6	115	116.1	117.6	119.6	119.2	118.5	115.2	112.5	111	
C-101	114	27.9	32.9	39.3	41.5	43.4	44.6	45.4	47.5	48	48.5	48.2	47.7	44.1	43.6	43.1	
TC-101	115	27.3	28.9	30.8	31.5	32.4	32.8	33	33.1	33	33	32.7	32.4	32.2	32.6	31.7	
TC-102	116	27.2	28.8	30.7	31.5	32.2	32.7	32.8	33.1	33	33.2	32.9	32.7	32.5	32.3	31.9	
TO-101	117	27.5	32.3	38.8	41.5	42.9	43.8	45.1	46.8	48.1	48.3	48.1	47.1	44.3	43.7	43.2	
TO-102	118	27.6	32.6	38.9	41.3	43.1	43.6	44.4	46.5	47.6	47.8	47.5	45.9	43.7	43.3	42.8	
GT-101	119	34.1	38.8	44.1	44.6	45.1	54.5	47.1	48.5	47.8	45.3	46.9	43.6	44.8	39.7	40.4	
GD-101	120	30	34.4	39.9	39.9	40.7	41.9	44.2	47	43.8	42.2	44.4	42.1	42.4	41.3	39.4	
GT-102	213	33.7	38.2	43.1	44.2	45.6	45.7	46.5	48.3	46.9	45.5	46.3	44.6	44.7	40.8	42.8	
GT-102	214	31.8	35.5	39.8	41.4	42.7	44.1	42.9	45.6	45.2	44.6	44.6	44.3	73.7	42.4	43.5	
E-151	201	47.1	78	93.3	94.2	97.2	99.9	103	106.2	106.7	104.2	102.9	100.5	93.9	93.9	89.9	
E-152	202	39.2	74.9	99.5	101.7	105.6	108	112	115.7	118.9	116.2	115.7	113.7	106.8	106.3	103	
C-151	203	26.9	29.3	38.5	41.4	42.4	41.7	43.2	46.3	48	47.9	47.4	46.3	42.8	42.3	42.9	
TC-151	204	27.1	29.1	30.9	31.9	32.8	33.1	33.7	33.5	33.5	34	33.7	33.3	32.7	32.7	32.3	
TC-152	205	27	28.7	30.4	31.3	31.9	32	33.7	33.3	33.2	33.4	33	32.6	31.9	32	31.6	
TO-151	206	27	30	38.7	41.3	42.4	42.8	44.3	46.4	48	47.9	47.1	46	42.8	42.2	42.7	
TC-152	207	27.3	30.4	38.4	40.9	41.1	41.2	44.2	46.2	47.7	46.7	43.9	42.7	41.2	41.5		
GT-151	208	34.6	37.7	42.2	42.4	42.9	43.2	45.8	47.4	46.5	45.5	45.8	42	43.5	39.7	40	
GD-151	209	31.4	35.5	38.2	38.8	40.3	42.3	44.6	43.2	42.9	43.6	41.2	42	40	39.4		
GT-152	210	34.3	38	40.9	42.4	41.6	42.9	44.6	47.2	46.2	46.1	45.5	41.8	44.5	40.6	41.5	
TA	212	31.2	33.3	33.9	37	37	36	36.2	36.1	37.4	37.7	38.3	37.9	37.5	36.6	36.9	
Rad		32.49	38.1	45.21	49.08	53.37	56.44	57.7	57.28	57.07	56.26	51.53	47.25	40.5	33.81	29.8	



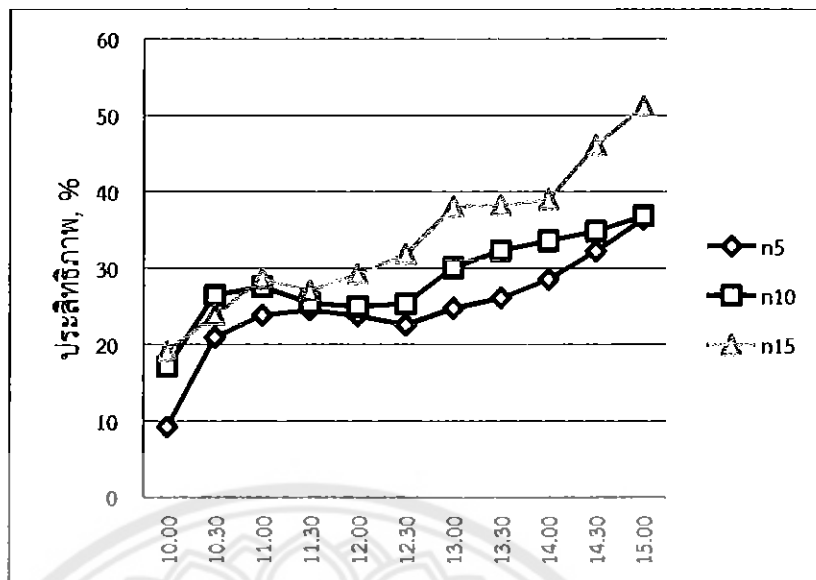
การทดลองท่อความร้อนแบบสั่นง่วงรอบ 5, 10 และ 15 ได้งเลี้ยว



กราฟ ข.1 ความสัมพันธ์ระหว่างผลต่างอุณหภูมน้ำชาออกเทียบกับเวลา ณ วันที่ 9 กุมภาพันธ์ 2556

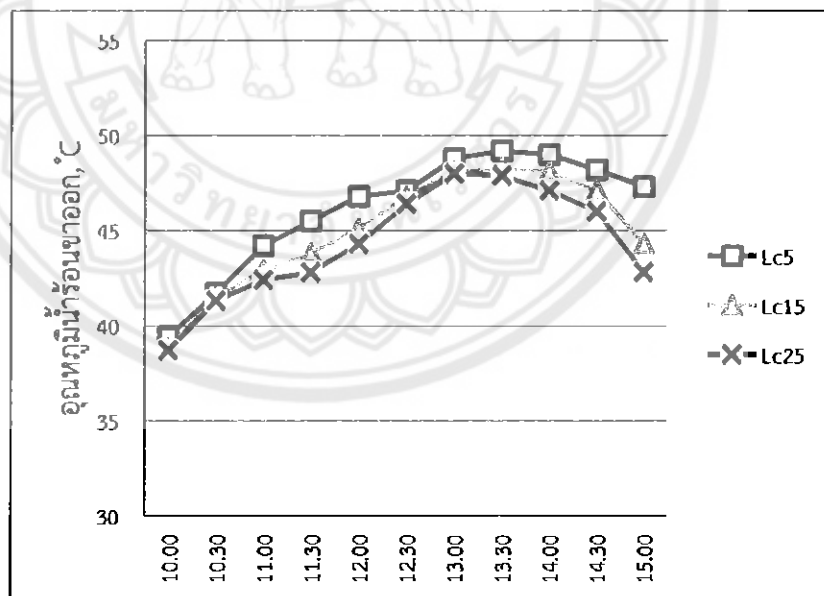


กราฟ ข.2 ความสัมพันธ์ระหว่างอัตราการถ่ายเทขายาร้อนเทียบกับเวลา ณ วันที่ 9 กุมภาพันธ์ 2556

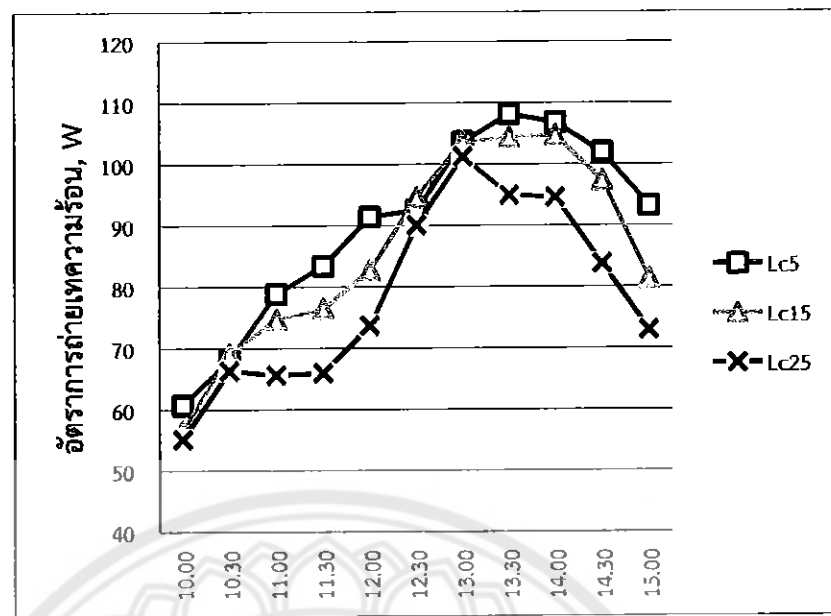


กราฟ ช.3 ความสัมพันธ์ระหว่างประสิทธิภาพเทียบกับเวลา ณ วันที่ 9 กุมภาพันธ์ 2556

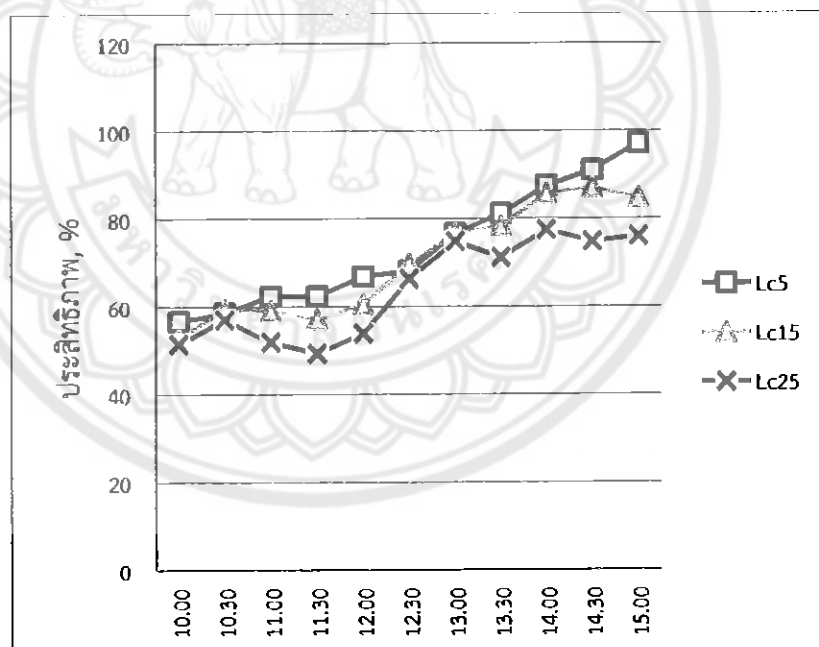
การทดลองท่อความร้อนแบบสันวงรอบ 15 ໂດ้งเลี้ยว โดยมีความยาวส่วนควบคุม 0.05, 0.15 และ 0.25 m



กราฟ ช.4 ความสัมพันธ์ระหว่างผลต่างอุณหภูมน้ำขาเข้ากับขาออกเทียบกับเวลา ณ วันที่ 24 กุมภาพันธ์ 2556



กราฟ ข.5 ความสัมพันธ์ระหว่างอัตราการถ่ายเทความร้อนเทียบกับเวลา ณ วันที่ 24 กุมภาพันธ์ 2556



กราฟ ข.6 ความสัมพันธ์ระหว่างประสิทธิภาพเทียบกับเวลา ณ วันที่ 24 กุมภาพันธ์ 2556



ตารางที่ C.1 แสดงสมบัติของ R-134a ที่สถานะของเหลวอิ่มตัวและไอกลมตัว [9]

T °C	P MPa	ρ kg/m ³	v m ³ /kg	Enthalpy		Entropy		c_p	
				kJ/kg		kJ/(kg·K)		kJ/(kg·K)	
				Liquid	Vapor	Liquid	Vapor	Liquid	Vapor
-103.3	0.00039	1591.2	35.263	71.89	335.07	0.4143	1.9638	1.147	0.585
-100	0.00056	1581.9	25.039	75.71	337.00	0.4366	1.9456	1.168	0.592
-90	0.00153	1553.9	9.7191	87.59	342.94	0.5032	1.8975	1.201	0.614
-80	0.00369	1526.2	4.2504	99.65	349.03	0.5674	1.8585	1.211	0.367
-70	0.00801	1498.6	2.0528	111.78	355.23	0.6286	1.8269	1.215	0.660
-60	0.01594	1471.0	1.077	123.96	361.51	0.6871	1.8016	1.220	0.685
-50	0.02948	1443.1	0.6056	136.21	367.83	0.7432	1.7812	1.229	0.712
-40	0.05122	1414.8	0.36095	148.57	374.16	0.7973	1.7649	1.243	0.740
-30	0.08436	1385.9	0.22596	161.10	380.45	0.8498	1.7519	1.26	0.771
-28	0.09268	1380.0	0.20682	163.62	381.70	0.8601	1.7497	1.264	0.778
-26.07	0.10132	1374.3	0.19016	166.07	382.90	0.8701	1.7476	1.268	0.784
-26	0.10164	1374.1	0.18961	166.16	382.94	0.8704	1.7476	1.268	0.785
-24	0.11127	1368.2	0.17410	168.70	384.19	0.8806	1.7455	1.273	0.791
-22	0.12160	1362.2	0.1601	171.26	385.43	0.8908	1.7436	1.277	0.798
-20	0.13268	1356.2	0.14744	173.82	386.66	0.9009	1.7417	1.282	0.805
-18	0.14454	1350.2	0.13597	176.39	387.89	0.9110	1.7399	1.286	0.812
-16	0.15721	1344.1	0.12556	178.97	389.11	0.9211	1.7383	1.291	0.820
-14	0.17074	1338.0	0.11610	181.56	390.33	0.9311	1.7367	1.296	0.827
-12	0.18516	1331.8	0.10749	184.16	391.55	0.9410	1.7351	1.301	0.835
-10	0.20052	1325.6	0.09963	186.78	392.75	0.9509	1.7337	1.306	0.842
-8	0.21984	1319.3	0.09246	189.40	393.95	0.9608	1.7323	1.312	0.850
-6	0.23418	1313.0	0.08591	192.03	395.15	0.9707	1.7310	1.317	0.858
-4	0.25257	1306.6	0.07991	194.68	396.33	0.9805	1.7297	1.323	0.866
-2	0.27206	1300.2	0.0744	197.33	397.51	0.9903	1.7285	1.329	0.875
0	0.29269	1293.7	0.06935	200.00	398.68	1.0000	1.7274	1.335	0.883
2	0.31450	1287.1	0.06470	202.68	399.84	1.0097	1.7263	1.341	0.892

ตารางที่ C.1 (ต่อ) แสดงสมบัติของ R-134a ที่สถานะของเหลวอื้มตัวและไออื้มตัว [9]

T °C	P MPa	ρ kg/m ³	v m ³ /kg	Enthalpy		Entropy		c_p kJ/(kg·K)	
				Liquid	Vapor	Liquid	Vapor	Liquid	Vapor
4	0.33755	1280.5	0.06042	205.37	401.00	1.0194	1.7252	1.347	0.901
6	0.36186	1273.8	0.05648	208.08	402.14	1.0291	1.7242	1.353	0.910
8	0.38749	1267.0	0.05284	210.80	403.27	1.0387	1.7233	1.360	0.920
10	0.41449	1260.2	0.04948	213.53	404.40	1.0483	1.7224	1.367	0.930
12	0.44289	1253.3	0.04636	216.27	405.51	1.0579	1.7215	1.374	0.939
14	0.47276	1246.3	0.04348	219.03	406.61	1.0674	1.7207	1.381	0.950
16	0.50413	1239.3	0.04081	221.80	407.70	1.0770	1.7199	1.388	0.960
18	0.53706	1232.1	0.03833	224.59	408.78	1.0865	1.7191	1.396	0.971
20	0.57159	1224.9	0.03603	227.40	409.84	1.0960	1.7183	1.404	0.982
22	0.60777	1217.5	0.03388	230.21	410.89	1.1055	1.7176	1.412	0.994
24	0.64566	1210.1	0.03189	233.05	411.93	1.1149	1.7169	1.420	1.006
26	0.68531	1201.6	0.03003	235.9	412.95	1.1244	1.7162	1.429	1.018
28	0.72676	1194.9	0.02829	238.77	413.95	1.1338	1.7155	1.438	1.031
30	0.77008	1187.2	0.02667	241.65	414.94	1.1432	1.7149	1.447	1.044
32	0.81530	1179.3	0.02516	244.55	415.90	1.1527	1.7142	1.457	1.058
34	0.86250	1171.3	0.02374	247.47	416.85	1.1621	1.7135	1.467	1.073
36	0.91172	1163.2	0.02241	250.41	417.78	1.1715	1.7129	1.478	1.088
38	0.96301	1154.9	0.02116	253.37	418.69	1.1809	1.7122	1.489	1.104
40	1.01650	1146.5	0.01999	256.35	419.58	1.1903	1.7115	1.500	1.120
42	1.07210	1137.9	0.01890	259.35	420.44	1.1997	1.7108	1.513	1.138
44	1.13000	1129.2	0.01786	262.38	421.28	1.2091	1.7101	1.525	1.156
46	1.19010	1120.3	0.01689	265.42	422.09	1.2185	1.7094	1.539	1.175
48	1.25270	1111.3	0.01598	268.49	422.88	1.2279	1.7086	1.553	1.196
50	1.31770	1102.0	0.01511	271.59	423.63	1.2373	1.7078	1.569	1.218
52	1.38520	1092.6	0.01430	274.71	424.35	1.2468	1.7070	1.585	1.241
58	1.60330	1062.8	0.01212	284.25	426.39	1.2752	1.7041	1.641	1.322
60	1.68150	1052.4	0.01146	287.49	426.86	1.2847	1.7031	1.663	1.354
62	1.76250	1041.7	0.01085	290.77	427.37	1.2943	1.7019	1.696	1.388

ตารางที่ C.1 (ต่อ) แสดงสมบัติของ R-134a ที่สถานะของเหลวอิ่มตัวและไออิ่มตัว [9]

T °C	P MPa	ρ kg/m ³	v m ³ /kg	Enthalpy kJ/kg		Entropy kJ/(kg·K)		C_p kJ/(kg·K)	
				Liquid	Vapor	Liquid	Vapor	Liquid	Vapor
64	1.84640	1030.7	0.01026	294.08	427.84	1.3039	1.7007	1.712	1.426
66	1.93340	1019.4	0.00970	297.44	428.25	1.3136	1.6993	1.740	1.468
68	2.02340	1007.7	0.00917	300.84	428.61	1.3234	1.6979	1.772	1.515
70	2.11650	995.6	0.00867	304.29	428.89	1.3332	1.6963	1.806	1.567
72	2.21300	983.1	0.00818	307.79	429.10	1.3430	1.6945	1.846	1.626
74	2.31270	970.0	0.00772	311.34	429.23	1.353	1.6926	1.89	1.693
76	2.41590	956.5	0.00728	314.96	429.27	1.3631	1.6905	1.941	1.770
78	2.52270	942.3	0.00686	318.65	429.20	1.3733	1.6881	2.000	1.861
80	2.63310	927.4	0.00646	322.41	429.02	1.3837	1.6855	2.069	1.967
85	2.92590	886.2	0.00550	332.27	427.91	1.4105	1.6775	2.313	2.348
90	3.24450	836.9	0.00461	343.01	425.48	1.4392	1.6663	2.766	3.064
95	3.59160	771.6	0.00374	355.43	420.60	1.4720	1.649	3.961	4.942
100	3.97210	646.7	0.00265	374.02	407.08	1.5207	1.6093	-	-
101.03	4.05600	513.3	0.00195	389.79	389.79	1.5593	1.5593	∞	∞



ตัวอย่างการคำนวณ

1. การคำนวณหาค่าอัตราการถ่ายเทความร้อนที่แผงรับรังสีแสงอาทิตย์ได้รับ ทุกๆ 30 นาที ณ ช่วงเวลา 9:00 น. – 16:00 น.

$$\text{จาก } Q_{in} = I_c A_c$$

โดยที่ Q_{in} คือ พลังงานแสงอาทิตย์ที่แผงได้รับ (W)

I_c คือ ค่าความเข้มแสงอาทิตย์ (W/m^2)

A_c คือ แผงรับรังสีแสงอาทิตย์ $= 0.1934 \text{ m}^2$

วันที่ 24 กุมภาพันธ์ 2556 ที่เวลา 13:00 น. : $Q_{in} = 608.7 \times 0.237 = 144.3 \text{ W}$

2. การคำนวณค่าอัตราความร้อนที่ได้รับ ทุกๆ 30 นาที ณ ช่วงเวลา 9:00 น. – 16:00 น.

$$\text{จาก } Q_{out} = \dot{m} C_p \Delta T$$

โดยที่ Q_{out} คือ ความร้อนที่แผงรับรังสีแสงอาทิตย์ถ่ายเทให้น้ำในถังน้ำร้อน (W)

\dot{m} คือ อัตราการไหลเชิงมวลของน้ำ (kg/s)

C_p คือ ค่าความร้อนจำเพาะของน้ำ ($\text{kJ}/\text{kg}\cdot\text{K}$)

ΔT คือ ผลต่างของอุณหภูมิน้ำขาเข้าและขาออก

วันที่ 24 กุมภาพันธ์ 2556 ที่เวลา 13:00 น.

สำหรับท่อความร้อนแบบสันวงรอบ 15 ໂດ้งเลี้ยว ความยาวส่วนควบແນ่น 5 cm

$$Q_{st} = (0.00167 \times 4180 \times 15.85) = 110.6 \text{ W}$$

สำหรับท่อความร้อนแบบสันวงรอบ 15 ໂດ้งเลี้ยว ความยาวส่วนควบແນ่น 15 cm

$$Q_{st} = (0.00167 \times 4180 \times 14.65) = 102.3 \text{ W}$$

สำหรับท่อความร้อนแบบสันวงรอบ 15 ໂດ้งเลี้ยว ความยาวส่วนควบແນ่น 25 cm

$$Q_{st} = (0.00167 \times 4180 \times 14.1) = 98.43 \text{ W}$$

3. การคำนวณหาประสิทธิภาพเชิงความร้อน ทุกๆ 30 นาที ณ ช่วงเวลา 9:00 น.-16:00 น.

$$\text{จาก } \eta_C = (Q_{out} / Q_{in}) \times 100\%$$

โดยที่ η_C คือ ค่าประสิทธิภาพการทำงาน

วันที่ 24 กุมภาพันธ์ 2556 ที่เวลา 13:00 น.

สำหรับท่อความร้อนแบบสันวงรอบ 15 ໂດ้งเลี้ยว ความยาวส่วนควบແນ่น 5 cm

$$\eta_C = (110.6 / 144.3) \times 100\% = 76.7 \%$$

สำหรับท่อความร้อนแบบสันวงรอบ 15 ໂດ้งเลี้ยว ความยาวส่วนควบແນ่น 15 cm

$$\eta_C = (102.3 / 144.3) \times 100\% = 70.89 \%$$

สำหรับท่อความร้อนแบบสันวงรอบ 15 ໂດ้งเลี้ยว ความยาวส่วนควบແນ่น 25 cm

$$\eta_C = (98.43 / 144.3) \times 100\% = 68.23 \%$$

4. การคำนวณหาค่าความผิดพลาดของค่าอัตราความร้อนที่แผงรับรังสีแสงอาทิตย์ได้รับทุกๆ 30 นาที ณ ช่วงเวลา 9:00 น. – 16:00 น.

$$\text{จาก } dQ_{in} = (I_t A_c dI_t)$$

โดยที่ dQ_{in} คือ ค่าความผิดพลาดของค่าอัตราความร้อนที่แผงรับรังสีแสงอาทิตย์ได้รับ dI_t คือ ค่าความผิดพลาดของเครื่องมือวัดค่าความเข้มแสงอาทิตย์ ($\pm 2\%$)

$$A_c \text{ คือ พื้นที่แผงรับรังสีแสงอาทิตย์ } = 0.1934 \text{ m}^2$$

วันที่ 24 กุมภาพันธ์ 2556 ที่เวลา 13:00 น. : $dQ_{in} = (0.02 \times 608.7 \times 0.237) = 2.89 \text{ W}$

ดังนั้น ค่าความผิดพลาดของข้อมูล = $(2.89/144.3) \times 100\% = 2\%$

5. การคำนวณหาค่าความผิดพลาดของค่าอัตราความร้อนที่ได้รับ ทุกๆ 30 นาที ณ ช่วงเวลา 9:00 น. – 16:00 น.

$$\text{จาก } dQ = \sqrt{(c_p(T_{wo} - T_{wi})d\dot{m})^2 + (c_p\dot{m}_c dT_{wo})^2 + (-c_p\dot{m}_c dT_{wi})^2}$$

โดยที่ dQ คือ ค่าความผิดพลาดของค่าอัตราความร้อนที่ได้รับ (W)

$$d\dot{m} \text{ คือ ค่าความผิดพลาดของเครื่องมือวัดอัตราการไหลของน้ำ } (\pm 10\%)$$

$$dT_{wo} \text{ คือ ค่าความผิดพลาดของเครื่องมือวัดอุณหภูมิของน้ำขาออก } (\pm 1^\circ \text{C})$$

$$dT_{wi} \text{ คือ ค่าความผิดพลาดของเครื่องมือวัดอุณหภูมิของน้ำขาเข้า } (\pm 1^\circ \text{C})$$

วันที่ 24 กุมภาพันธ์ 2556 ที่เวลา 13:00 น.

สำหรับท่อความร้อนแบบสันวงรอบ 15 โค้งเลี้ยว ความยาวส่วนควบແน่น 5 cm

$$(c_p(T_{wo} - T_{wi})d\dot{m})^2 = (0.1 \times 0.00167 \times 4180 \times 15.85)^2 = 122.4 \text{ W}$$

$$(c_p\dot{m}_c dT_{wo})^2 = (4108 \times 0.00167 \times 1)^2 = 48.7 \text{ W}$$

$$(-c_p\dot{m}_c dT_{wi})^2 = (-4108 \times 0.00167 \times 1)^2 = 48.7 \text{ W}$$

$$dQ = \sqrt{(122.4 + 48.7 + 48.7)} = 14.83 \text{ W}$$

ดังนั้น ค่าความผิดพลาดของข้อมูล = $(14.83/110.6) \times 100\% = 13.4\%$

สำหรับท่อความร้อนแบบสันวงรอบ 15 โค้งเลี้ยว ความยาวส่วนควบແน่น 15 cm

$$(c_p(T_{wo} - T_{wi})d\dot{m})^2 = (0.1 \times 0.00167 \times 4180 \times 14.65)^2 = 104.6 \text{ W}$$

$$(c_p\dot{m}_c dT_{wo})^2 = (4108 \times 0.00167 \times 1)^2 = 48.7 \text{ W}$$

$$(-c_p\dot{m}_c dT_{wi})^2 = (-4108 \times 0.00167 \times 1)^2 = 48.7 \text{ W}$$

$$dQ = \sqrt{(104.6 + 48.7 + 48.7)} = 14.21 \text{ W}$$

ดังนั้น ค่าความผิดพลาดของข้อมูล = $(14.21/102.3) \times 100\% = 13.89\%$

สำหรับท่อความร้อนแบบสันวงรอบ 15 โค้งเลี้ยว ความยาวส่วนควบແน่น 25 cm

$$(c_p(T_{wo} - T_{wi})d\dot{m})^2 = (0.1 \times 0.00167 \times 4180 \times 14.1)^2 = 96.9 \text{ W}$$

$$(c_p\dot{m}_c dT_{wo})^2 = (4108 \times 0.00167 \times 1)^2 = 48.7 \text{ W}$$

$$(-c_p\dot{m}_c dT_{wi})^2 = (-4108 \times 0.00167 \times 1)^2 = 48.7 \text{ W}$$

$$dQ = \sqrt{(96.9 + 48.7 + 48.7)} = 13.94 \text{ W}$$

ดังนั้น ค่าความผิดพลาดของข้อมูล = $(13.94/98.43) \times 100\% = 14.16\%$

6. การคำนวณหาค่าความผิดพลาดของประสิทธิภาพเชิงความร้อน (η_c) ทุกๆ 30 นาที ณ ช่วงเวลา 9:00 น. – 16:00 น.

$$\text{จาก } d\eta = \sqrt{\left[\frac{dQ^2}{\left((\Lambda_c \partial I_t / \partial I_t) dI \right)^2} \right]}$$

วันที่ 24 กุมภาพันธ์ 2556 ที่เวลา 13:00 น.

สำหรับท่อความร้อนแบบสันวงรอบ 15 ໂດ้งเลี้ยว ความยาวส่วนควบแน่น 5 cm

$$d\eta = \frac{14.83}{2.89} = 5.13$$

สำหรับท่อความร้อนแบบสันวงรอบ 15 ໂດ้งเลี้ยว ความยาวส่วนควบแน่น 15 cm

$$d\eta = \frac{14.21}{2.89} = 4.92$$

สำหรับท่อความร้อนแบบสันวงรอบ 15 ໂດ้งเลี้ยว ความยาวส่วนควบแน่น 25 cm

$$d\eta = \frac{13.94}{2.89} = 4.82$$

ตาราง ง.1 การคำนวณของการทดสอบท่อความร้อนแบบสั่นง่วงอบที่มีจำนวนโค้งเลี้ยว 5, 10 และ 15

วันที่ 9 กุมภาพันธ์ 2556

เวลา	10.00	10.30	11.00	11.30	12.00	12.30	13.00	13.30	14.00	14.30	15.00
$A_c (m^2)$	0.237	0.237	0.237	0.237	0.237	0.237	0.237	0.237	0.237	0.237	0.237
$I_s (W/m^2)$	301	309	312	326	332	340	340	350	350	352	346
$\dot{m} (kg/s)$	0.00167	0.00167	0.00167	0.00167	0.00167	0.00167	0.00167	0.00167	0.00167	0.00167	0.00167
$C_p (kg/kg.s)$	4,180	4,180	4,180	4,180	4,180	4,180	4,180	4,180	4,180	4,180	4,180
$\Delta T_5 (^{\circ}C)$	0.7	2.85	3.5	3.9	3.9	4	4.2	4.2	4.25	4.3	4.2
$\Delta T_{10} (^{\circ}C)$	1.3	3.6	4.05	4.05	4.1	4.5	5.1	5.2	5	4.65	4.25
$\Delta T_{15} (^{\circ}C)$	3.25	4.2	4.3	4.8	5.65	6.45	6.15	5.8	6.15	5.9	3.25
$IA (W)$	52.97	94.97	102.4	111	114.5	123.8	118.4	112.3	103.9	93.09	80.49
$Q_5 (W)$	4.886	19.89	24.43	27.22	27.22	27.92	29.32	29.32	29.67	30.02	29.32
$Q_{10} (W)$	9.075	25.13	28.27	28.27	28.62	31.41	35.6	36.3	34.9	32.46	29.67
$Q_{15} (W)$	10.12	22.69	29.32	30.02	33.51	39.44	45.02	42.93	40.49	42.93	41.19
$\eta_5 (%)$	9.225	20.95	23.86	24.53	23.78	22.55	24.77	26.11	28.57	32.24	36.43
$\eta_{10} (%)$	17.13	26.46	27.61	25.47	25	25.37	30.07	32.33	33.61	34.87	36.86
$\eta_{15} (%)$	19.11	23.89	28.63	27.05	29.27	31.85	38.03	38.23	38.99	46.12	51.17
$dIA (W)$	1.059	1.899	2.048	2.22	2.29	2.477	2.368	2.246	2.077	1.862	1.61
$dQ_5 (W)$	1.102	2.221	2.635	2.896	2.896	2.962	3.094	3.094	3.127	3.16	3.094
$dQ_{10} (W)$	1.341	2.7	2.995	2.995	3.028	3.293	3.694	3.762	3.627	3.393	3.127
$dQ_{15} (W)$	1.414	2.474	3.094	3.16	3.493	4.066	4.609	4.405	4.167	4.405	4.235
$d\eta_5 (%)$	1.04	1.169	1.287	1.305	1.265	1.196	1.307	1.377	1.505	1.697	1.922
$d\eta_{10} (%)$	1.266	1.422	1.462	1.349	1.322	1.33	1.56	1.675	1.746	1.822	1.942
$d\eta_{15} (%)$	1.335	1.303	1.51	1.424	1.525	1.642	1.947	1.961	2.006	2.366	2.631

ตาราง 4.2 การคำนวณของการทดลองท่อความร้อนแบบสั่นง่วงรอบที่มีจำนวนเตียงเลี้ยว 5, 10 และ 15

วันที่ 10 กุมภาพันธ์ 2556

เวลา	10.00	10.30	11.00	11.30	12.00	12.30	13.00	13.30	14.00	14.30	15.00
$A_c (m^2)$	0.237	0.237	0.237	0.237	0.237	0.237	0.237	0.237	0.237	0.237	0.237
$I_a (W/m^2)$	312	320	323	329	335	339	344	347	348	356	354
$\dot{m} (kg/s)$	0.00167	0.00167	0.00167	0.00167	0.00167	0.00167	0.00167	0.00167	0.00167	0.00167	0.00167
$C_p (kg/kg.s)$	4,180	4,180	4,180	4,180	4,180	4,180	4,180	4,180	4,180	4,180	4,180
$\Delta T_5 (^{\circ}C)$	1.75	1.8	3.05	3.25	4.05	4.35	4.55	3.95	3.75	3.2	3.15
$\Delta T_{10} (^{\circ}C)$	2.5	3.7	3.8	4.15	4.45	5.05	5.45	4.25	4	3.65	3.5
$\Delta T_{15} (^{\circ}C)$	3.75	4.4	4.85	6	6	6.8	7.35	6.45	6.45	6.1	5.85
$IA (W)$	85.79	98	104.6	111.5	114.2	123.6	123.6	114.3	101.9	90.39	78.8
$Q_5 (W)$	12.22	12.57	21.29	22.69	28.27	30.37	31.76	27.57	26.18	22.34	21.99
$Q_{10} (W)$	17.45	25.83	26.53	28.97	31.06	35.25	38.04	29.67	27.92	25.48	24.43
$Q_{15} (W)$	26.18	30.71	33.86	41.88	41.88	47.47	51.31	45.02	45.02	42.58	40.84
$\eta_5 (%)$	14.24	12.82	20.36	20.35	24.75	24.56	25.7	24.12	25.7	24.71	27.9
$\eta_{10} (%)$	20.34	26.36	25.36	25.99	27.19	28.51	30.79	25.95	27.41	28.19	31
$\eta_{15} (%)$	30.51	31.34	32.37	37.58	36.66	38.39	41.52	39.39	44.2	47.11	51.82
$dIA (W)$	1.716	1.96	2.092	2.229	2.285	2.473	2.471	2.286	2.037	1.808	1.576
$dQ_5 (W)$	1.571	1.598	2.347	2.474	2.995	3.193	3.326	2.929	2.798	2.442	2.41
$dQ_{10} (W)$	2.005	2.765	2.83	3.061	3.259	3.661	3.93	3.127	2.962	2.732	2.635
$dQ_{15} (W)$	2.798	3.226	3.527	4.303	4.303	4.848	5.225	4.609	4.609	4.371	4.201
$d\eta_5 (%)$	0.915	0.815	1.122	1.11	1.311	1.291	1.346	1.281	1.373	1.351	1.529
$d\eta_{10} (%)$	1.169	1.411	1.353	1.373	1.427	1.48	1.59	1.368	1.454	1.511	1.672
$d\eta_{15} (%)$	1.63	1.646	1.686	1.93	1.883	1.961	2.114	2.016	2.263	2.418	2.666

ตาราง ๙.๓ การคำนวณของการทดลองท่อความร้อนแบบสั่นง่วงรอบ ๑๕ โถงเลี้ยว โดยมีความยาว
ส่วนควบแน่น ๐.๐๕, ๐.๑๕ และ ๐.๒๕ ม

วันที่ ๒๔ กุมภาพันธ์ ๒๕๕๖

เวลา	10.00	10.30	11.00	11.30	12.00	12.30	13.00	13.30	14.00	14.30	15.00
$A_c (m^2)$	0.237	0.237	0.237	0.237	0.237	0.237	0.237	0.237	0.237	0.237	0.237
$I_a (W/m^2)$	445.7	501.9	546	562.1	588.1	594.3	608.7	584.1	551.8	488.6	439.7
$\dot{m} (\text{kg/s})$	0.00167	0.00167	0.00167	0.00167	0.00167	0.00167	0.00167	0.00167	0.00167	0.00167	0.00167
$C_p (\text{kg/kg.s})$	4,180	4,180	4,180	4,180	4,180	4,180	4,180	4,180	4,180	4,180	4,180
$\Delta T_5 (^{\circ}\text{C})$	7.05	9.25	10.8	12.65	13.6	14.6	15.85	15.9	16.5	16.05	14.8
$\Delta T_{15} (^{\circ}\text{C})$	5.1	6.3	8.35	9.1	12	12.7	14.65	14.9	14.2	14.95	14.35
$\Delta T_{25} (^{\circ}\text{C})$	5	6.1	8.45	9.3	10.7	11.85	14.1	14.05	13.45	13.8	13.7
$\Delta A (\text{W})$	105.6	119	129.4	133.2	139.4	140.8	144.3	138.4	130.8	115.8	104.2
$\Delta Q_5 (\text{W})$	49.21	64.57	75.39	88.3	94.94	101.9	110.6	111	115.2	112	103.3
$\Delta Q_{15} (\text{W})$	35.6	43.98	58.29	63.52	83.77	88.65	102.3	104	99.12	104.4	100.2
$\Delta Q_{25} (\text{W})$	34.9	42.58	58.99	64.92	74.69	82.72	98.43	98.08	93.89	96.33	95.63
$\eta_5 (\%)$	46.59	54.28	58.26	66.29	68.11	72.36	76.7	80.18	88.07	96.75	99.14
$\eta_{15} (\%)$	33.7	36.97	45.04	47.68	60.1	62.94	70.89	75.14	75.8	90.12	96.13
$\eta_{25} (\%)$	33.04	35.8	45.58	48.73	53.59	58.73	68.23	70.85	71.79	83.19	91.77
$d\Delta A (\text{W})$	2.113	2.379	2.588	2.664	2.788	2.817	2.885	2.769	2.616	2.316	2.084
$d\Delta Q_5 (\text{W})$	11.03	11.8	12.42	13.25	13.7	14.19	14.83	14.85	15.17	14.93	14.29
$d\Delta Q_{15} (\text{W})$	10.49	10.81	11.46	11.74	12.95	13.27	14.21	14.34	13.99	14.37	14.06
$d\Delta Q_{25} (\text{W})$	10.47	10.75	11.5	11.82	12.38	12.88	13.94	13.92	13.62	13.79	13.74
$d\eta_5 (\%)$	5.221	4.958	4.8	4.971	4.913	5.037	5.139	5.365	5.8	6.448	6.856
$d\eta_{15} (\%)$	4.967	4.543	4.43	4.406	4.645	4.71	4.926	5.18	5.349	6.203	6.748
$d\eta_{25} (\%)$	4.956	4.519	4.444	4.435	4.441	4.572	4.832	5.026	5.209	5.956	6.595

ตาราง ๔.๔ การคำนวณของการทดลองท่อความร้อนแบบสั่นงอ ๑๕ โค้งเลี้ยว โดยมีความยาว
ส่วนควบแน่น ๐.๐๕, ๐.๑๕ และ ๐.๒๕ ม

วันที่ ๒๕ กุมภาพันธ์ ๒๕๕๖

เวลา	10.00	10.30	11.00	11.30	12.00	12.30	13.00	13.30	14.00	14.30	15.00
A_c (m^2)	0.237	0.237	0.237	0.237	0.237	0.237	0.237	0.237	0.237	0.237	0.237
I_a (W/m^2)	452.1	490.8	533.7	564.4	576.8	572.8	570.7	562.6	515.3	472.5	405
\dot{m} (kg/s)	0.00167	0.00167	0.00167	0.00167	0.00167	0.00167	0.00167	0.00167	0.00167	0.00167	0.00167
C_p (kg/kg.s)	4,180	4,180	4,180	4,180	4,180	4,180	4,180	4,180	4,180	4,180	4,180
ΔT_5 ($^\circ\text{C}$)	8.7	9.75	11.3	11.95	13.1	13.25	14.85	15.5	15.3	14.6	13.35
ΔT_{15} ($^\circ\text{C}$)	8.1	9.9	10.7	10.95	11.85	13.55	14.85	14.95	15	13.95	11.65
ΔT_{25} ($^\circ\text{C}$)	7.9	9.5	9.4	9.45	10.55	12.9	14.5	13.6	13.55	12	10.45
$\dot{I}\Delta$ (W)	107.1	116.3	126.5	133.8	136.7	135.8	135.3	133.3	122.1	112	95.99
Q_5 (W)	60.73	68.06	78.88	83.42	91.45	92.49	103.7	108.2	106.8	101.9	93.19
Q_{15} (W)	56.54	69.11	74.69	76.44	82.72	94.59	103.7	104.4	104.7	97.38	81.32
Q_{25} (W)	55.15	66.32	65.62	65.97	73.65	90.05	101.2	94.94	94.59	83.77	72.95
η_5 (%)	56.68	58.51	62.36	62.36	66.89	68.13	76.64	81.15	87.45	91.01	97.09
η_{15} (%)	52.77	59.41	59.05	57.14	60.51	69.68	76.64	78.27	85.74	86.96	84.73
η_{25} (%)	51.47	57.01	51.88	49.32	53.87	66.33	74.83	71.2	77.45	74.8	76
$d\dot{I}\Delta$ (W)	2.143	2.326	2.53	2.675	2.734	2.715	2.705	2.667	2.443	2.24	1.92
dQ_5 (W)	11.59	11.99	12.64	12.92	13.46	13.53	14.31	14.65	14.54	14.19	13.58
dQ_{15} (W)	11.38	12.05	12.38	12.49	12.88	13.67	14.31	14.37	14.39	13.87	12.79
dQ_{25} (W)	11.31	11.89	11.85	11.87	12.32	13.36	14.14	13.7	13.67	12.95	12.27
$d\eta_5$ (%)	5.409	5.154	4.995	4.831	4.922	4.983	5.292	5.492	5.954	6.335	7.072
$d\eta_{15}$ (%)	5.309	5.18	4.894	4.667	4.711	5.036	5.292	5.387	5.892	6.191	6.663
$d\eta_{25}$ (%)	5.277	5.112	4.686	4.438	4.505	4.921	5.227	5.136	5.598	5.781	6.394